# PROVINCIA DI BENEVENTO

PROGETTO:

S.P. N. 1 "CIARDELLI"
RICOSTRUZIONE MURO DI CONTENIMENTO ALLA LOCALITÀ PERILLO
DEL COMUNE DI ARPAISE

#### **RELAZIONE GEOLOGICA**

F

RELAZIONE SULLA MODELLAZIONE SISMICA DEL SITO DI COSTRUZIONE (NTC-2018; CIRC. N. 7/2019 C.S.LL.PP.)

## PER LO SVINCOLO IDROGEOLOGICO

COMMITTENTE: AMMINISTRAZIONE PROVINCIALE



Il Geologo d.ssa Irene Savino



Morcone, settembre 2020

Visti ed approvazioni:		

#### RELAZIONE GEOLOGICA PER IL PROGETTO:

## **INDICE**

1. Premessa	2
2. Inquadramento geografico, geologico, geomorfologico e idrogeologico	3
2.1 Inquadramento geologico	3
2.2 Inquadramento geomorfologico	9
2.3 Aspetti idrogeologici	13
3. CARATTERISTICHE STRATIGRAFICHE E GEOMECCANICHE DEI TERRENI	15
4. CORRELAZIONI MODELLO GEOLOGICO-IDROGEOLOGICO CON LE PROVE IN SITU E DI LABORATORIO	21
5. RELAZIONE SULLA MODELLAZIONE SISMICA DEL SITO	23
5.1 Classificazione sismica a scala comunale	24
5.2 Pericolosità sismica di base del sito di costruzione (NTC - D.M. 17 gennaio 2018)	25
5.3 Valutazione della risposta sismica locale	28
5.3.1 Effetti stratigrafici - Categoria del sottosuolo	28
5.3.2 Effetti topografici - Categoria topografica	31
5.3.3 Valutazione degli effetti cosismici	31
5.4 Coefficienti sismici tenendo conto della risposta sismica locale	32
6. CONSIDERAZIONI CONCLUSIVE	33

## Allegati

- CERTIFICATI DELLE INDAGINI GEOGNOSTICHE E DELLE PROVE DI LABORATORIO

#### 1. PREMESSA

L'Amministrazione Provinciale di Benevento, settore Tecnico – SERVIZIO VIABILITA' 2 E CONNESSE INFRASTRUTTURE, con determinazione n. 3147 del 31/12/2019, ha affidato alla sottoscritta geol. d.ssa Irene Savino, con studio in Morcone (BN) alla Via Dei Marsi n. 3, iscritta all'Ordine dei Geologi della Regione Campania al n. 1730, l'incarico di eseguire uno studio geologico, così come richiesto dalle norme vigenti, in merito al progetto: S.P. N. 1 "CIARDELLI" RICOSTRUZIONE MURO DI CONTENIMENTO ALLA LOCALITÀ PERILLO DEL COMUNE DI ARPAISE.

Lo studio è stato condotto secondo l'aggiornamento delle NTC del 2018 e la Circolare n. 7 C.S.L.L.P.P. del 21 gennaio 2019. I risultati vengono presentati in questa relazione che fornisce anche i parametri per la modellazione sismica, i quali dipendono anche dalle caratteristiche stratigrafiche e morfologiche del sito di progetto, e di verificare le problematiche di carattere geologico eventualmente esistenti,

Il muro che si intende ricostruire è localizzato su un tratto della S.P. n. 1, ricadente nel comune di Arpaise (BN). Si tratta di un manufatto in pietra calcarea interessato da un dissesto che ne ha compromesso la stabilità.

Per poter redigere lo studio geologico che ha permesso di redigere la presente relazione, è stata eseguita una campagna di indagini e studi così articolata:

- ricerca e studio dei dati bibliografici;
- interpretazione delle carte topografica e aerofotogrammetrica di riferimento;
- rilevamento geologico e geomorfologico di superficie;
- studio delle caratteristiche idrogeologiche dell'area;
- esecuzione di n. 2 sondaggi a carotaggio continuo con prelievo di n. 3 campioni indisturbati di terreno su cui sono state eseguite le prove di laboratorio, ed esecuzione di n. 5 prove SPT (Standard Penetration Test) in foro.
- Esecuzione di una indagine sismica (MASW), per l'acquisizione dei dati sismici dell'area che hanno consentito di redigere la RELAZIONE SULLA MODELLAZIONE SISMICA DEL SITO DI COSTRUZIONE secondo il par.C.10.1, Circ. Min. Infr. 617/09 e ss.mm.ii.

L'ubicazione delle suddette indagini, le relative stratimetrie e i risultati delle prove di laboratorio sono riportati in allegato alla presente.

I dati ricavati sono stati considerati sufficienti per ricostruire il modello geologico del sito in oggetto, illustrato nei paragrafi 3 e 4.

## 2. INQUADRAMENTO GEOGRAFICO, GEOLOGICO, GEOMORFOLOGICO E IDROGEOLOGICO

L'area in esame ricade, con riferimento alla cartografia ufficiale I.G.M., nel F. 173 *II* S.E. Benevento e rientra nel Comune di Arpaise.

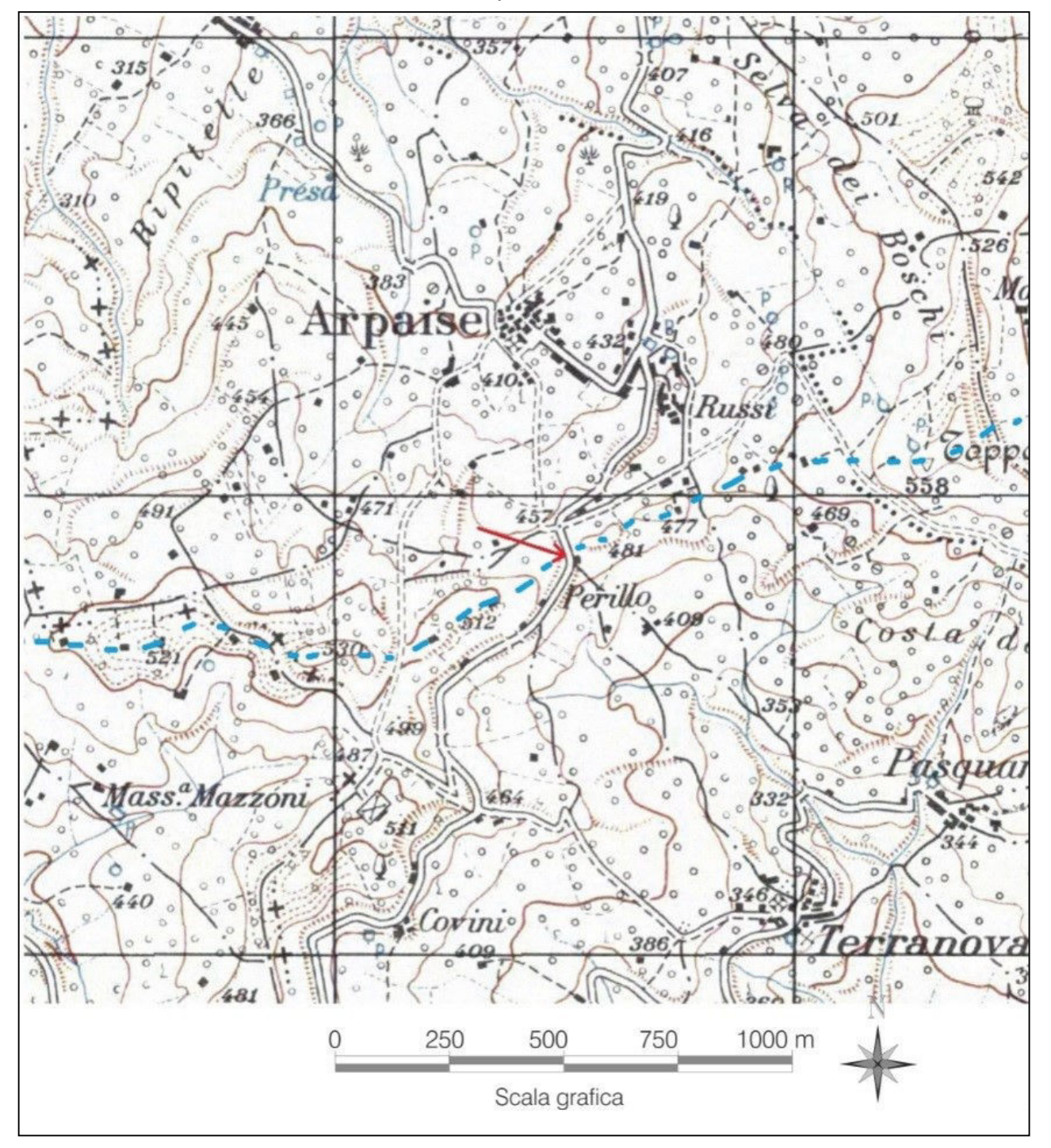


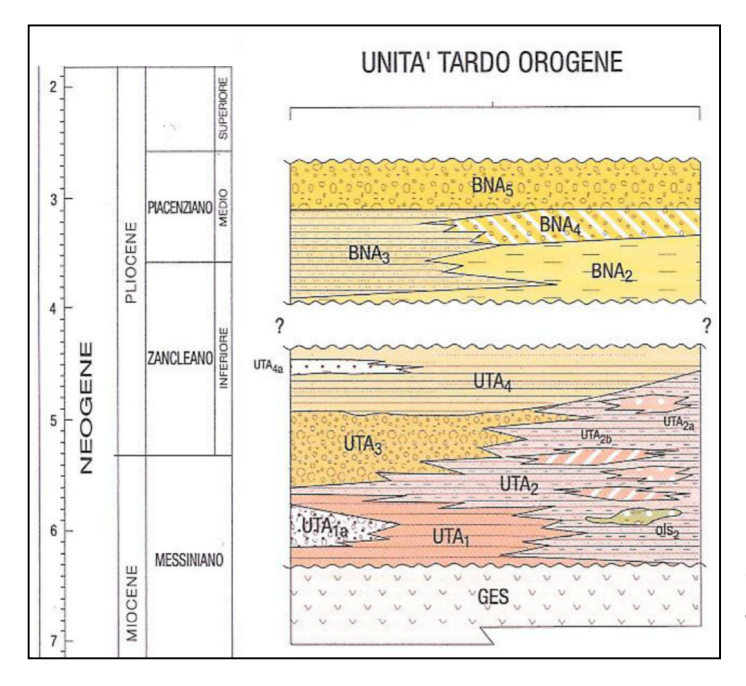
Fig. 1 – Contesto morfologico generale in cui è inserita l'area oggetto del presente studio. Il tratto di strada provinciale su cui è situato il muro da ricostruire è indicato con la freccia rossa ed è inserito in una zona di spartiacque (linea tratteggiata azzurra) allungata in direzione WSW-ENE e, in particolare la strada attraversa in trincea una sella che si sviluppa lungo lo stesso spartiacque. Stralcio della carta topografica IGM in scala 1:25.000; le maglie del reticolo UTM sono ampie 1 Km.

Il dissesto in oggetto riguarda un muro di contenimento che si trova lungo un tratto della strada provinciale n. 1 Ciardelli, in località Perillo nel comune di Arpaise ed è ubicato ad una quota altimetrica compresa all'incirca tra 459 e 460 m s.l.m..

#### 2.2 Inquadramento geologico

Il sito di progetto è ubicato nel settore occidentale e meridionale di una estesa zona di affioramento di sedimenti del Pliocene medio che dall'area beneventana (immediatamente ad E di Montesarchio) prosegue verso NE nell'arianese (Ariano Irpino) fino al margine orientale della catena appenninica (Bovino, Orsara di Puglia) nel foggiano. In particolare, nell'area di interesse, tali terreni costituiscono il bacino pliocenico silicoclastico di Benevento caratterizzato da facies marine (di mare basso e profondo) di transizione (facies costiere) e continentali di piana alluvionale) con successioni non continue e di età che, a luoghi, molto probabilmente raggiungono anche il Pleistocene inferiore.

Nel Foglio 432-Benevento della Carta Geologica d'Italia in scala 1:50.000 (2009) (fig. 2) i terreni del Pliocene medio (formazione della Baronia; BNA) poggiano in discontinuità stratigrafica (contatto stratigrafico inconforme; più precisamente in discordanza angolare) sulle unità del Messiniano superiore—Pliocene inferiore (Unità di Tufo-Altavilla; UTA) con analoghe facies di quelle del Pliocene medio oppure poggiano sempre in discordanza angolare su depositi più antichi sinorogeni (Formazione di S. Giorgio: successione torbiditica di conoide sottomarina di età Langhiano-Messiniano inferiore pp) e preorogeni associati al bacino lagonegrese Auct. (indicati come Formazione delle Argille Varicolori con, nella parte su-



periore, la formazione del Flysch Numidico; vedi Foglio 432-Benevento).

Fig. 2 – Stralcio dello schema cronostratigrafico delle UNITÀ LITOSTRATIGRAFICHE del Foglio 432-Benevento della Carta Geologica d'Italia.

Evitando di toccare temi relativi all'interpretazione di queste unità nell'ambito dei diversi modelli evolutivi di questo tratto di Appennino, si può affermare che l'assetto geologico dell'area è oggettivamente caratterizzato a W dall'accavallamento delle unità della piattaforma carbonatica (Partenio, Monte Taburno, ...) sulle unità del mesozoico fino al Pliocene inferiore.

Le deformazioni tettoniche risultano molto intense e vistose nelle unità preorogene bacinali con più di un sistema di pieghe e sovrascorrimenti associati a diversi eventi compressivi. Tali evidenze si osservano attenuate nelle successioni del Messiniano superiore-Pliocene inferiore (UTA). Mentre si riconoscono con difficoltà e solo localmente in quelle del Pliocene medio. Sicuramente sono presenti faglie normali di età diverse (da quelle sinsedimentarie a quelle legate alla tettonica recente ed attuale) ma le evidenze morfologiche non sono ben definite per l'erodibilità dei litotipi affioranti.

Il <u>sito di interesse</u> corrisponde ad una zona di spartiacque allungata in direzione WSW-ENE e, in particolare la strada attraversa in trincea una sella che si sviluppa lungo lo stesso spartiacque (fig. 1). La sella si è formata al passaggio tra due litofacies dell'Unità di Tufo Altavilla, UTA<sub>2</sub> e UTA<sub>2b</sub> (figg. 4 e 6): gli strati immergono verso i quadranti orientali e sul lato WSW affiorano sabbie limoso-argillose e limi sabbioso-argillosi (UTA<sub>2</sub>) con associazioni di spiaggia sommersa-piattaforma mentre sul lato ENE affiorano ghiaie sabbiose (UTA<sub>2b</sub>) con ciottoli da centimetrici a decimetrici costituiti da litotipi presenti nella formazione di San Giorgio (quelli arenacei) e in quella della Formazione delle Argille Varicolori (calcare, selce, marne più o meno silicizzate, ecc.). I sondaggi eseguiti mostrano la probabile presenza di un contatto latero-verticale tra la facies ghiaiosa (UTA<sub>2b</sub>) e quella limoso-sabbioso-argillosa (UTA<sub>2</sub>).

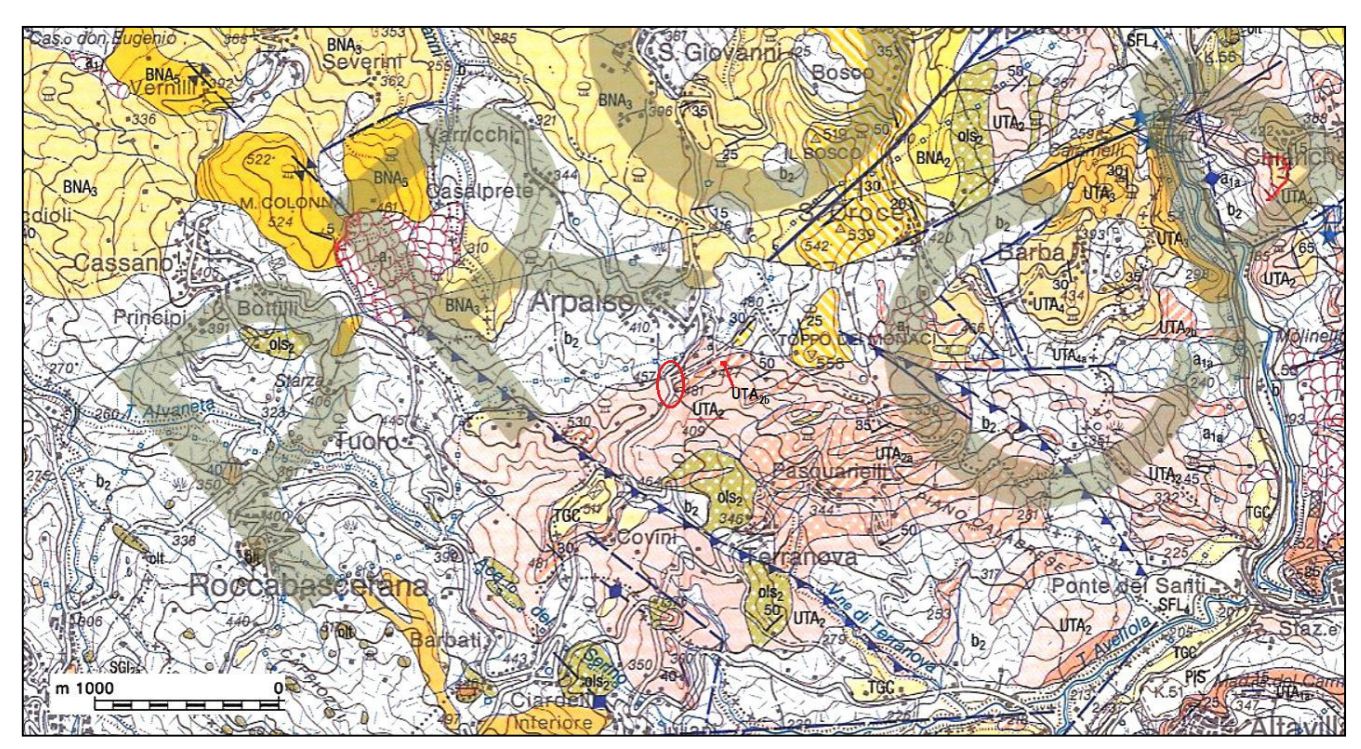


Fig. 3 – Stralcio del Foglio 432-Benevento della Carta Geologica d'Italia.

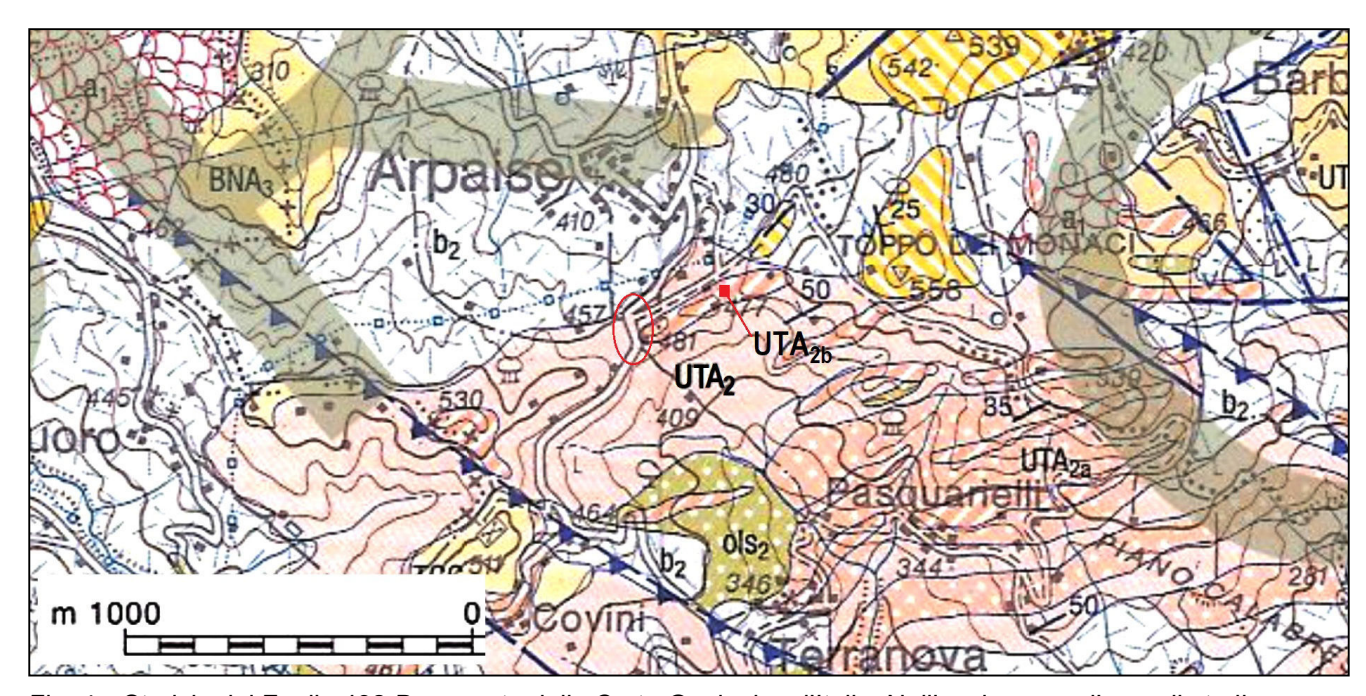


Fig. 4 – Stralcio del Foglio 432-Benevento della Carta Geologica d'Italia. Nell'ovale rosso, l'area di studio.

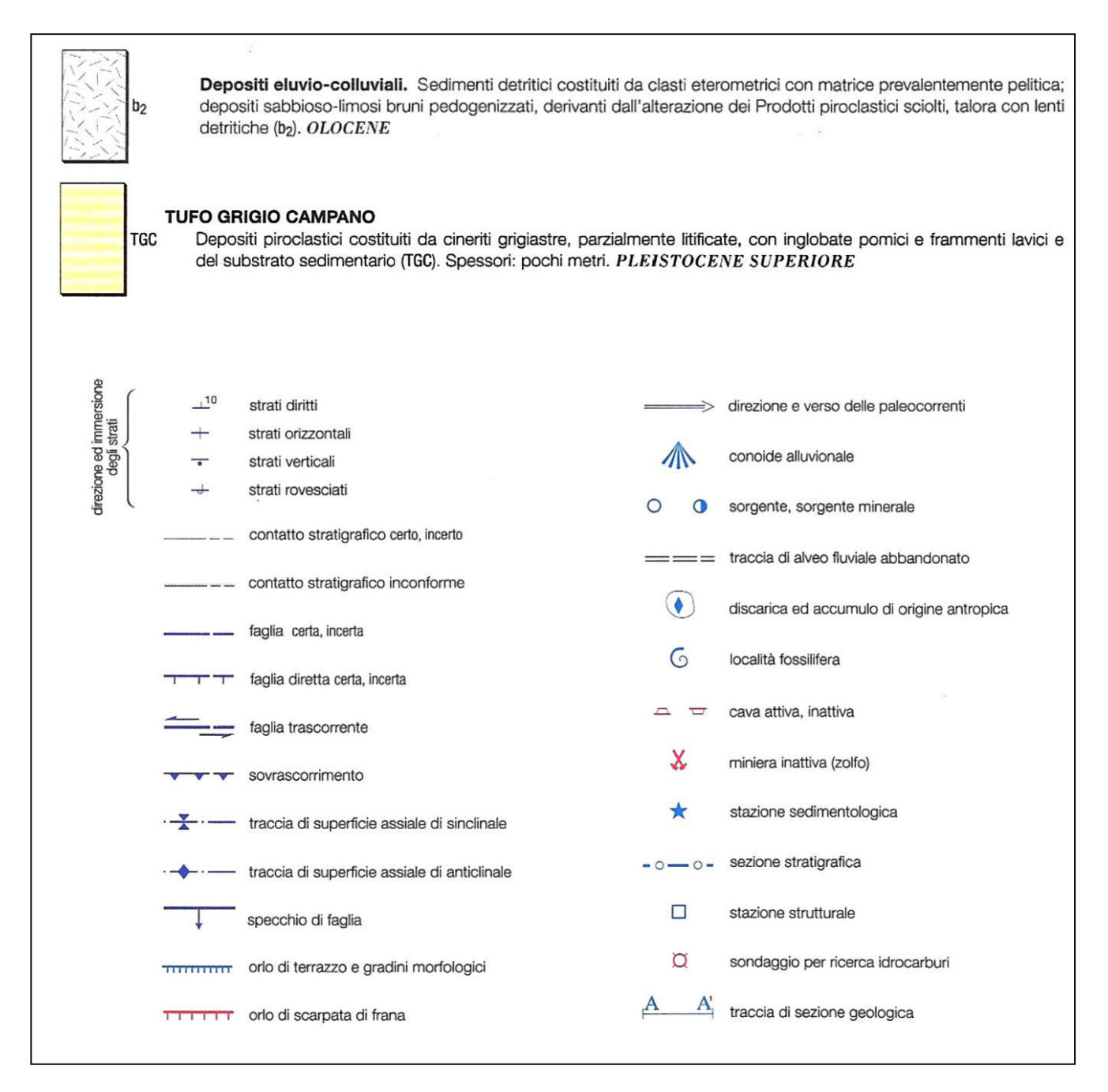


Fig. 5 – Stralcio del Foglio 432-Benevento della Carta Geologica d'Italia. Parte della legenda del Foglio, con la descrizione dei litotipi più recenti affioranti nell'intorno dell'area e dei simboli adottati.

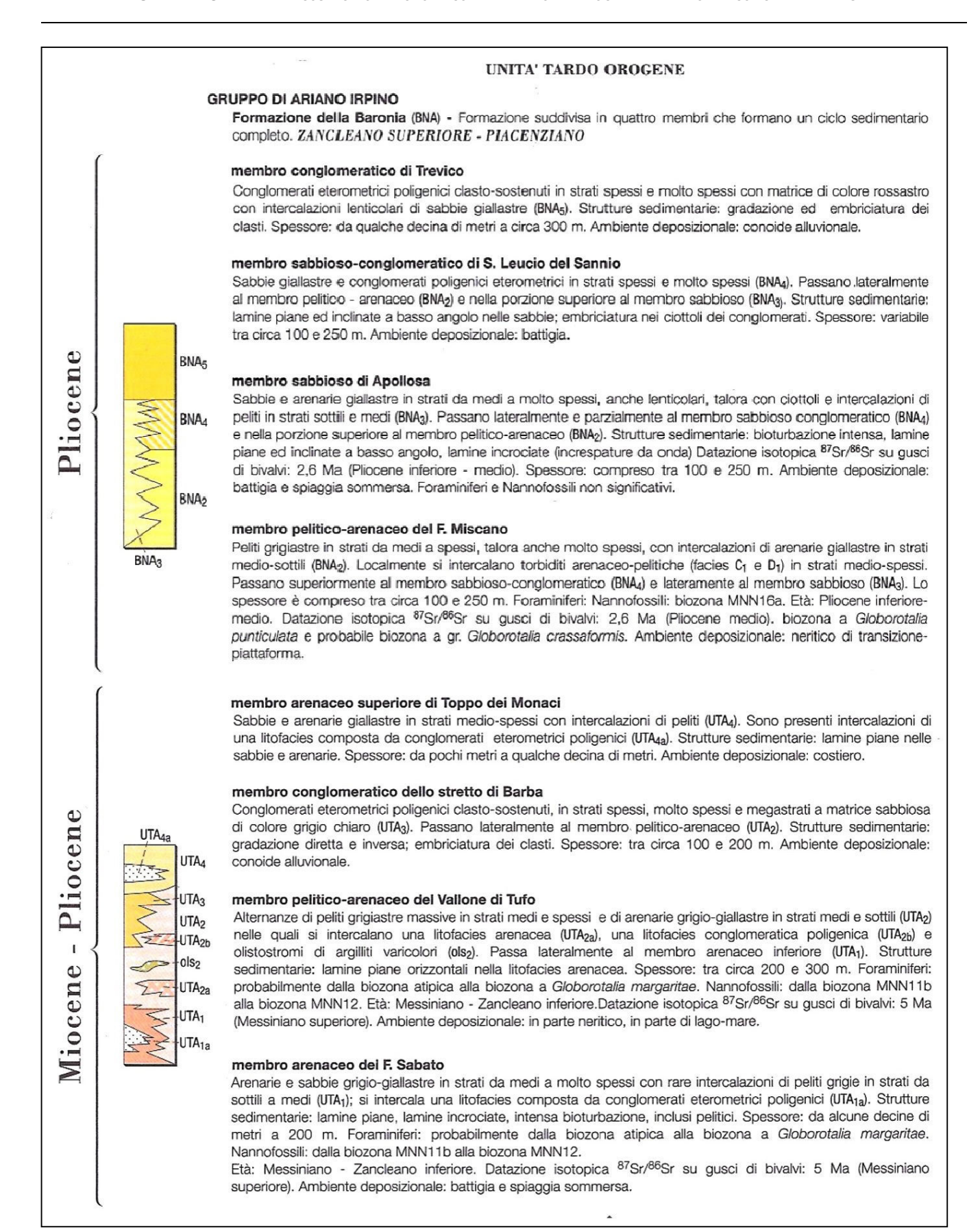


Fig. 6 – Stralcio del Foglio 432-Benevento della Carta Geologica d'Italia. Parte della legenda del Foglio con la descrizione dei litotipi affioranti nell'area di studio (UTA<sub>2</sub> e UTA<sub>2b</sub>).

#### 2.2 Inquadramento geomorfologico

Tutto quanto su esposto, unitamente alla diversa erodibilità dei sedimenti, legata alla natura degli stessi, ha determinato in tutto il territorio una morfologia collinare piuttosto varia, con quote che raggiungono al massimo i 607 m s.l.m. .

Geomorfologicamente quindi, l'intera area rientra in una zona collinare caratterizzata da versanti a debole pendenza, in corrispondenza dei sedimenti prevalentemente pelitici, e versanti a pendenza maggiore, in corrispondenza dei litotipi conglomeratici e arenacei, maggiormente resistenti ai processi morfoevolutivi. Tali versanti degradano in direzioni varie verso le numerose incisioni torrentizie presenti nel territorio.

Nel dettaglio, i rilievi condotti hanno evidenziato che l'area interessata dal progetto si trova in corrispondenza di una zona collinare di spartiacque (**cfr. fig. 1**) non interessata da processi morfodinamici erosivi significativi sia areali che puntuali. Ciò trova rispondenza anche nella carta degli scenari di rischio dell'Autorità di Bacino (**cfr. figg. 9 e 10**) che non vi riconosce alcun livello di rischio. Il danneggiamento al muro di contenimento in progetto, visibilmente inclinato (**cfr. fig. 7**), è imputabile allo scadimento delle caratteristiche tecniche del terreno di fondazione per assenza, o non efficienza, di opere di drenaggio o allontanamento delle acque superficiali, considerando che lo stesso muro è stato costruito su fondazioni dirette molto superficiali (0,50 m di profondità).



Fig. 7 – Tratto del muro in oggetto, puntellato in seguito a evidente inclinazione.

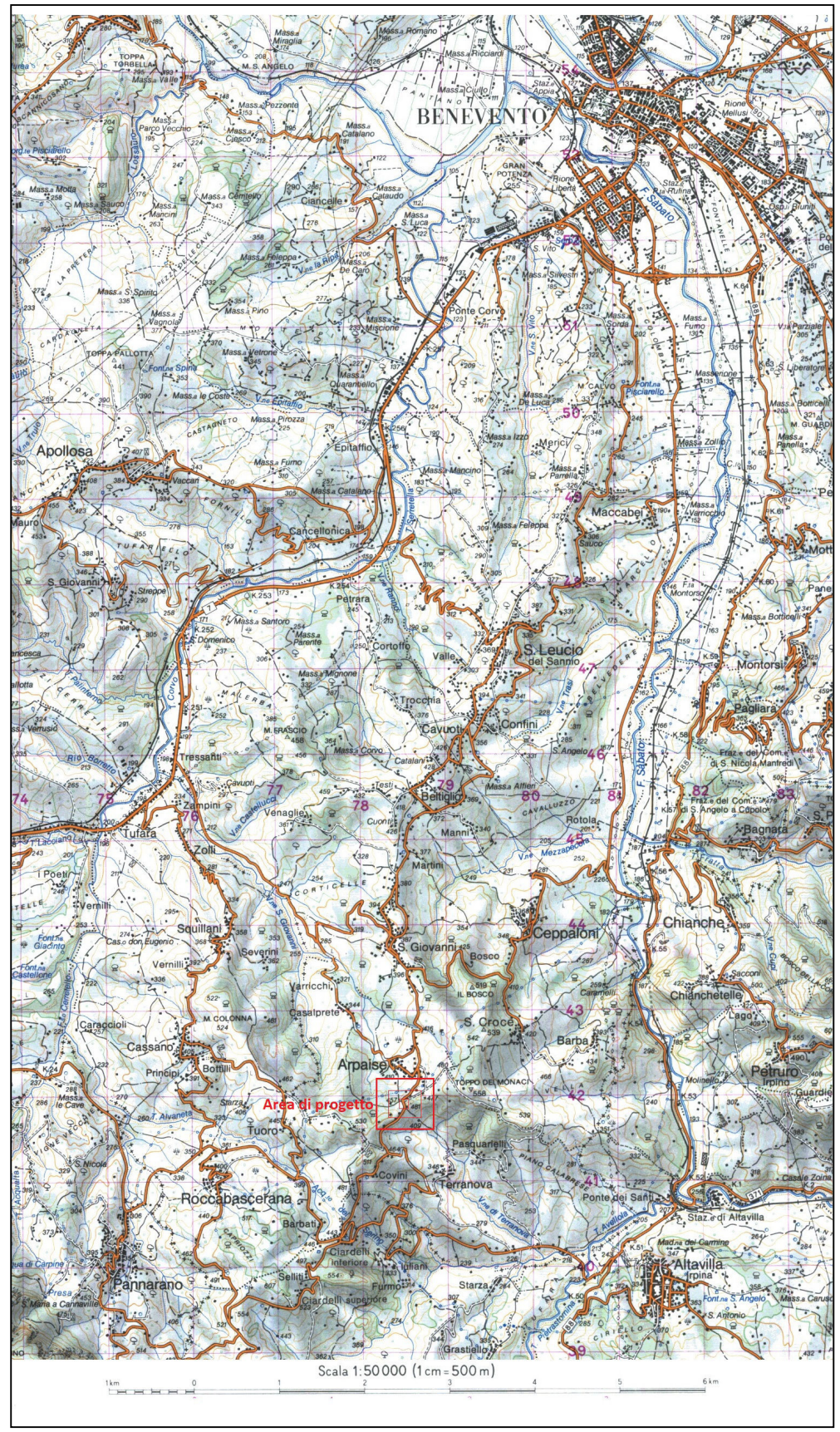
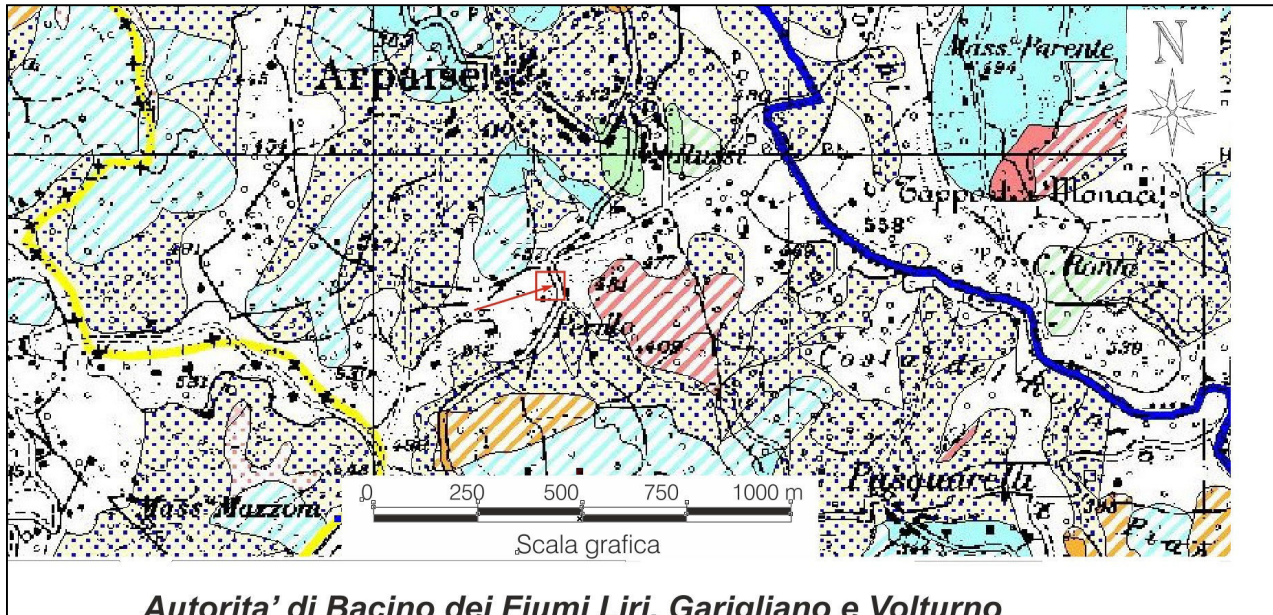


Fig. 8 – Contesto geografico generale in cui è inserita l'area oggetto del presente studio. E' evidente il reticolo dei corsi d'acqua che caratterizza il territorio. Stralcio della carta topografica IGM in scala 1:50.000; le maglie del reticolo UTM sono ampie 2 Km.



Autorita' di Bacino dei Fiumi Liri, Garigliano e Volturno PROGETTO DI PIANO STRALCIO PER L'ASSETTO IDROGEOLOGICO

#### Rischio di Frana

stralcio della Carta degli scenari di rischio Tavola 13.42 - Foglio 173 II - scala 1:25.000 mod.

Fig. 9 – Stralcio della Carta degli scenari di rischio dell'Autorità di Bacino Distrettuale dell'Appennino Meridionale (ex Autorità di Bacino Liri-Garigliano-Volturno).

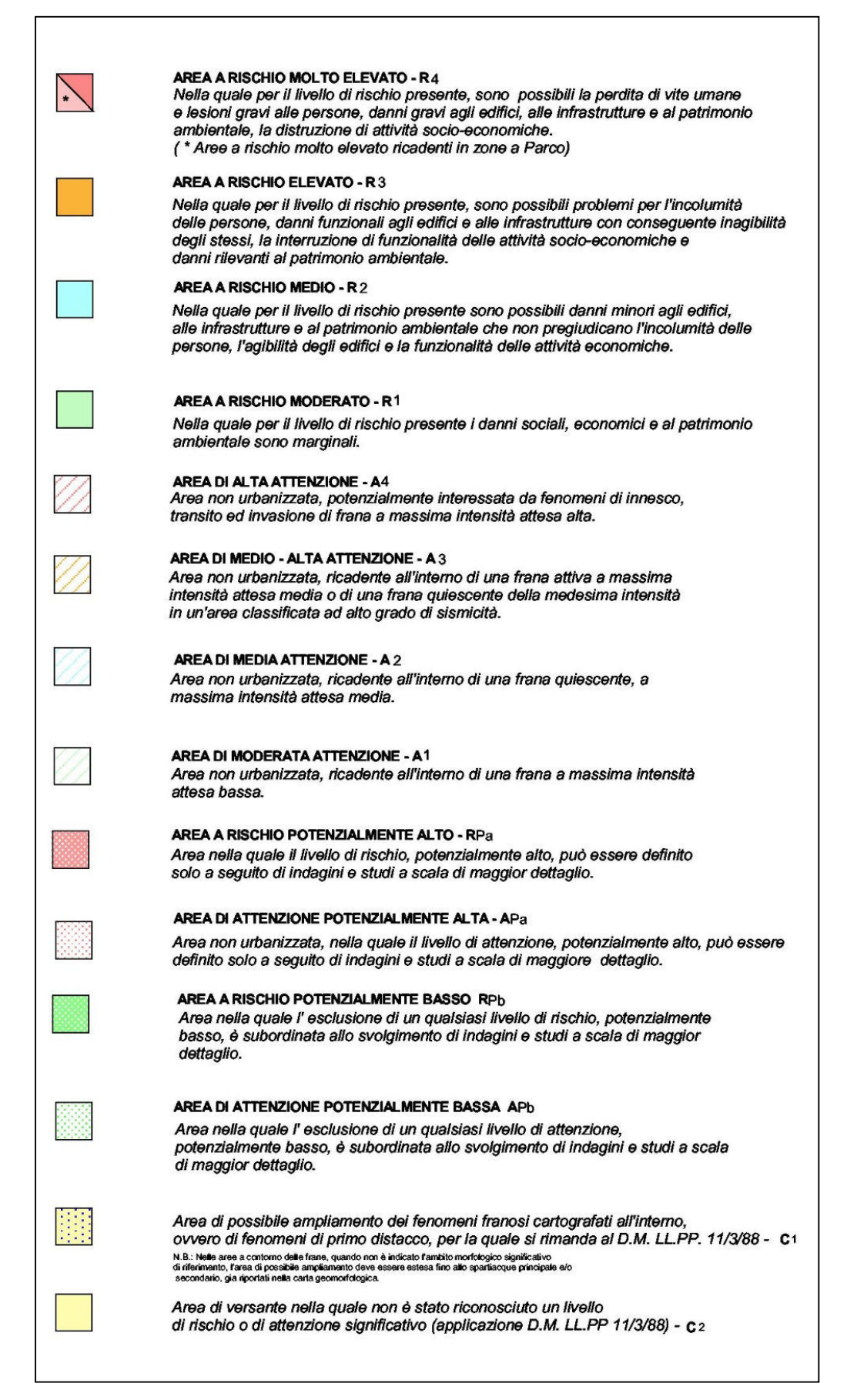


Fig. 10 – legenda della "carta degli scenari di rischio" dell'Autorità di Bacino.

#### 2.3 Aspetti idrogeologici

Da un punto di vista **idrologico** il territorio è attraversato da numerosi impluvi, anche in dipendenza della permeabilità media e bassa dei litotipi presenti che favoriscono il ruscellamento e non tanto l'infiltrazione. Questi impluvi raccolgono le acque superficiali e subsuperficiali derivanti dalle precipitazioni atmosferiche, concentrate in massima parte nel periodo ottobre-maggio, e formano un reticolo idrografico che si presenta a densità media e si sviluppa attraverso incisioni di tipo torrentizio, non molto ramificate, che alimentano le aste principali. In particolare, a Sud-Est del sito di progetto, il Torrente Avellola raccoglie le acque del Vallone Terranova e del Torrente Pietrastornina, confluendo nel fiume Sabato, importante affluente di sinistra idrografica del Fiume Calore a Ovest della città di Benevento; a Ovest del sito di progetto, il Torrente Alvaneta confluisce nel Fosso Cerretello, che a sua volta va ad alimentare le acque del Torrente Corvo che più a Nord diventa Torrente Serretella, anch'esso affluente di sinistra idrografica del Fiume Calore, a Sud-Ovest della città di Benevento (cfr. fig. 8); a Nord-Ovest invece, le acque superficiali e subsuperficiali alimentano il Vallone San Giovanni, anch'esso affluente del Torrente Corvo.

L'idrogeologia dell'area è dunque condizionata dalla presenza di materiale a litologia variabile (membro pelitico arenaceo del Vallone di Tufo, cfr. § 2.2 e figg. 4 e 6) che può dunque facilitare o impedire l'infiltrazione potenziale, oltre che la circolazione idrica superficiale e sotterranea.

In corrispondenza dei sedimenti prevalentemente pelitici, come nel caso delle peliti grigiastre massive affioranti nell'area di studio (**UTA**<sub>2</sub>) l'infiltrazione è scarsa o nulla; ciò è stato verificato mediante l'esecuzione del sondaggio S1 e l'installazione di un piezometro che ha potuto permettere la deduzione dell'assenza di una falda idrica.

In corrispondenza dei litotipi conglomeratico-sabbiosi invece (**UTA**<sub>2b</sub>), permeabili per porosità, è possibile rinvenire livelli idrici o vere e proprie falde, in dipendenza dello spessore del litotipo che li ospita. Nell'area di studio, attraverso l'esecuzione del sondaggio S2, eseguito a livello del piano stradale, a valle del muro in progetto, si è potuta constatare la presenza di un livello idrico, dello spessore di circa 4,2 metri, all'interno di un livello costituito da ciottoli, ghiaie e sabbie (cfr. fig. 11, 15 e 16).

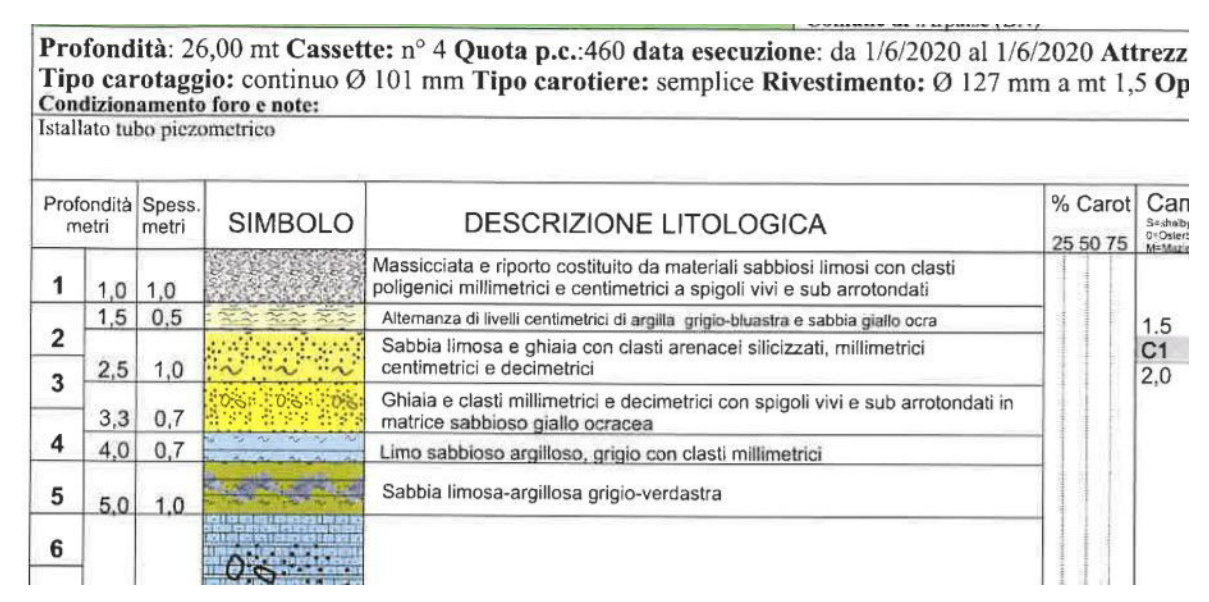


Fig. 11 – Sondaggio S2. Ritaglio della colonna stratigrafica allegata nei certificati delle indagini in sito.

#### 3. CARATTERISTICHE STRATIGRAFICHE E GEOMECCANICHE DEI TERRENI

La ricostruzione stratigrafica dell'area di studio in oggetto interessata dall'intervento di consolidamento, è stata effettuata dagli affioramenti presenti nell'intorno del sito, dal supporto dei dati contenuti nella bibliografia di base, nonché dalle informazioni acquisite mediante indagini in situ e di laboratorio. Sono stati infatti eseguiti n. 2 sondaggi a carotaggio continuo, denominati S1 ed S2, spinti rispettivamente fino alla profondità di 20 e 26 metri dal pianocampagna, (con installazione di piezometro nel solo sondaggio S1); durante l'esecuzione dei sondaggi sono state eseguite n. 5 prove SPT in foro (Standard Penetration Test), n. 2 SPT in S1 e n. 3 SPT in S2 e prelevati n. 3 campioni indisturbati di terreno (S1C1 ed S1C2 nel sondaggio S1 e S2C1 nel sondaggio S2). È stata inoltre eseguita una prova sismica del tipo MASW che ha permesso di ricavare informazioni sui sismostrati indagati. È stato pertanto possibile individuare, a partire dal piano-campagna (p.c.), in corrispondenza dei sondaggi S1 ed S2, le seguenti stratigrafie:

Sondaggio S1 Quota: 465.00 m s.l.m.					
profondità dal p.c. (m)	descrizione				
0.00 - 0.20	Conglomerato cementizio e massicciata.				
0.20 - 0.60	Materiale di riporto, sabbioso-limoso, debolmente argilloso.				
0.60 – 3.70	Argilla con limo sabbioso color marrone grigiastro con presenza di clasti (1-2 cm) calcarei e livelletti carboniosi e sabbiosi con forme di ossidazione.				
3.70 – 4.20	Argilla con limo debolmente sabbiosa, di colore marrone-grigiastro.				
4.20 – 7.50	Argilla grigia, debolmente limosa, molto compatta.				
7.50 – 20.00	Argilla grigia, molto compatta.				

La falda idrica è assente.

#### S.P. N. 1 "CIARDELLI" RICOSTRUZIONE MURO DI CONTENIMENTO ALLA LOCALITÀ PERILLO DEL COMUNE DI ARPAISE.

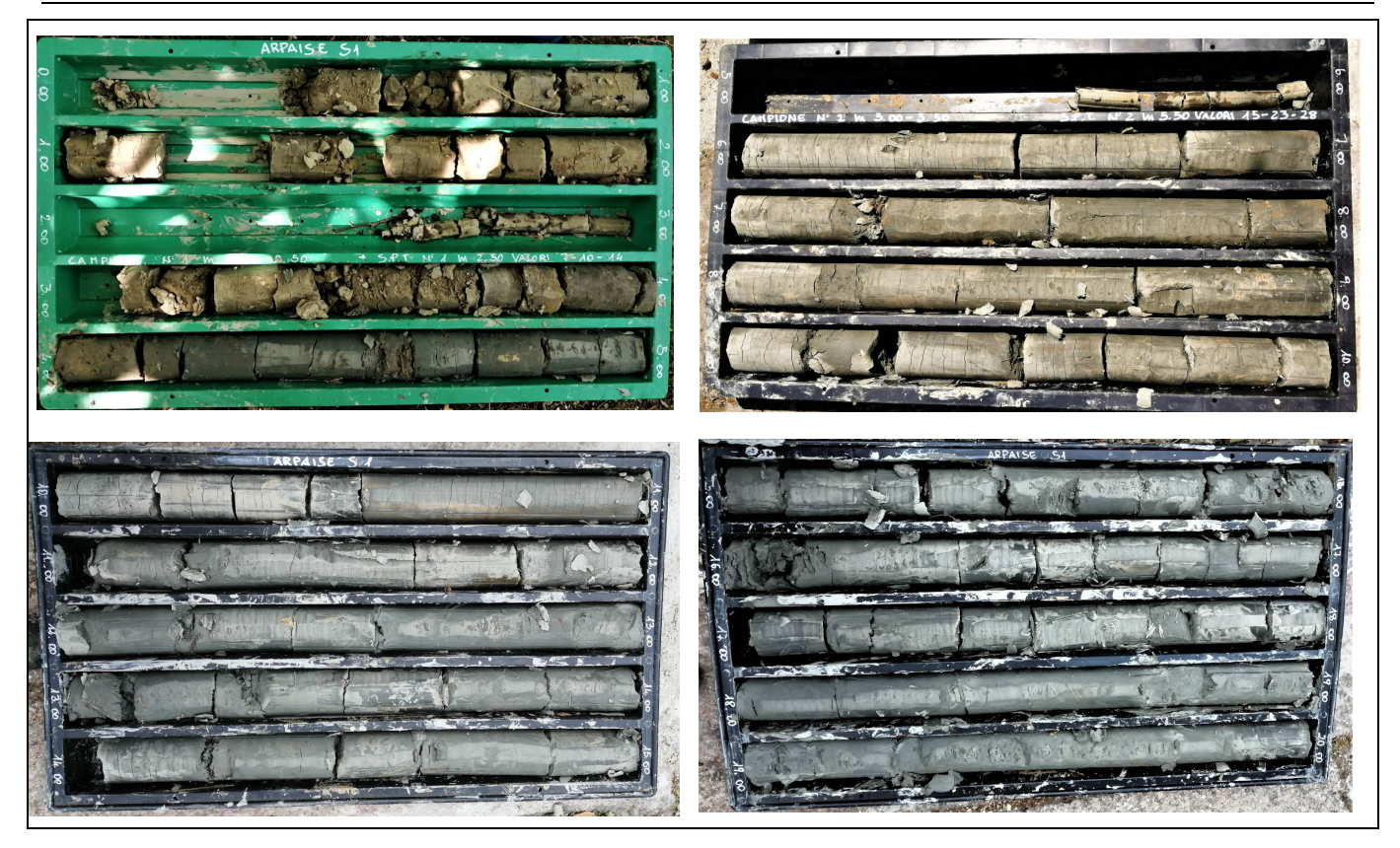


Fig. 12 – Sondaggio S1: cassette catalogatrici

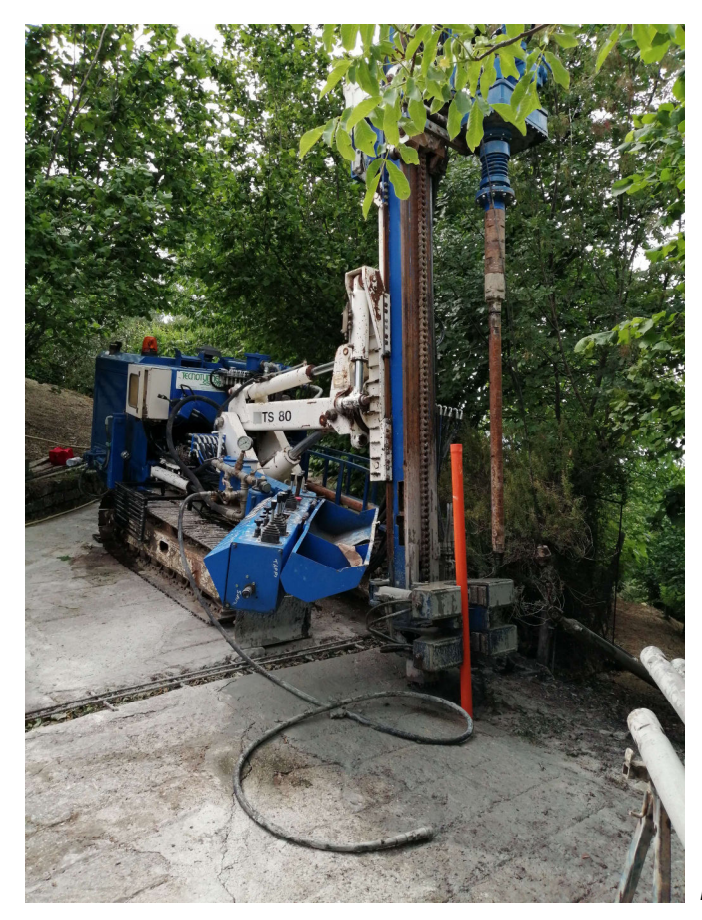


Fig. 13 – Sondaggio S1: installazione del piezometro.

Sondaggio S2					
	Quota: 457.00 m s.l.m.				
profondità dal p.c. (m)	descrizione				
0.00 – 1.00	Massicciata e riporto, costituito da materiali sabbioso-limosi, con clasti poligenici, millimetrici e centimetrici, a spigoli vivi e sub-arrotondati.				
1.00 – 1.50	Alternanza di livelli centimetrici di argilla grigio-bluastra e sabbia limosa giallo ocra.				
1.50 – 2.50	Sabbia limosa e ghiaia, con clasti arenacei silicizzati, millimetrici, centimetrici e decimetrici.				
2.50 - 3.30	Ghiaia e clasti millimetrici, centimetrici e decimetrici con spigoli vivi e sub-arrotondati in matrice sabbiosa giallo ocra.				
3.30 – 4.00	Limo sabbioso-argilloso, grigio, con clasti millimetrici.				
4.00 – 5.00	Sabbia limoso-argillosa, grigio-verdastra.				
5.00 – 9.20	Ciottoli arrotondati, sub-arrotondati e talvolta a spigoli vivi, eterometrici (da pochi cm a circa 10 cm), poligenici (calcarei, marnosi, ma prevalentemente arenacei, silicizzati (cfr. fig. 16), in matrice sabbiosa e sabbioso-ghiaiosa di colore grigio. In falda.				
9.20 – 12.50	Argilla marnosa, a luoghi debolmente limosa, grigia, molto compatta, con rari ciottoli arenacei, millimetrici e centimetrici, arrotondati, silicizzati.				
12.50 – 26.00	Argilla marnosa omogenea e molto compatta.				

È presente un livello idrico tra 5,00 e 9,20 m di profondità.



Fig. 14 – Sondaggio S2.



Fig. 15 – Sondaggio S2: cassette catalogatrici da 0,00 a 26,00 m.



Fig. 16 – Sondaggio S2: ciottolo arenaceo silicizzato nel livello "5.00 - 9.20".

I campioni dei sondaggi S1 ed S2, sono stati prelevati alle seguenti profondità:

denominazione	Profondità
campione	(metri)
S1C1	2,00-2,50
S1C2	5,00-5,50
S2C1	1,50-2,00

Dalle prove di laboratorio eseguite sui campioni **S1C1** ed **S1C2** sono stati dedotti i parametri fisici e geomeccanici dei litotipi che si trovano a monte del muro di contenimento da ricostruire (per la cui consultazione integrale si rimanda al certificato relativo, allegato alla presente); tali parametri sono riassunti nelle seguenti tabelle:

S1C1 – profondità 2,00-2,50 m				
Definizione granulometrica: Limo argilloso.				
Peso di volume naturale, Yn (kN/mc)	19,50			
Peso di volume saturo, Ysat (kN/mc)	20,08			
Coesione, c (kN/mq)	15,1			
Angolo di attrito, Φ (°DEG)	20,9			
Modulo Edometrico, Ed (kN/mq)	Prova edometrica non eseguita su questo campione			

S1C2 – profondità 5,00-5,50	m			
Definizione granulometrica: Limo argilloso.				
Peso di volume naturale, Yn (kN/mc)	19,70			
Peso di volume saturo, Ysat (kN/mc)	20,81			
Coesione, c (kN/mq)	21,8			
Angolo di attrito, Φ (°DEG)	19,1			
Modulo Edometrico, Ed, (kN/mq) tra 100 e 1000 kPa.	9293			
Per gli altri valori si veda la tabella che segue.	9293			

		433	477	477	470	291	290	295	294	293	
100	278	277	276	275	274	273	271	270	268	266	
25	221	220	219	218	217	216	215	214	213	212	
0	Pressioni A	Applicate			$\neg \neg$	kPa	0	25	50	100	20
RICO	Altezza Car	mpione			2H^	cm	2,000	1,997	1,981	1,958	1,
4	Altezza Vu	oti				cm	0,699	0,696	0,680	0,657	0,

Dalle prove di laboratorio eseguite sul campione **S2C1** sono stati dedotti i parametri fisici e geomeccanici del litotipo che si incontra al di sotto della massicciata stradale e del terreno di riporto, dopo aver attraversato anche un livello di 0.50 m di argilla grigio-bluastra e sabbia limosa giallo ocra, poco consistente.

Tali parametri sono riassunti nelle seguenti tabelle:

S2C1 – profondità 1,50-2,00 m					
Definizione granulometrica: Limo sabbioso ghiaioso debolmente argilloso.					
Peso di volume naturale, Yn (kN/mc)	19,04				
Peso di volume saturo, Ysat (kN/mc)	19,63				
Coesione, c (kN/mq)	8,4				
Angolo di attrito, Φ (°DEG)	20,1				
Modulo Edometrico, Ed, (kN/mq) tra 100 e 1000 kPa.  Per gli altri valori si veda la tabella che segue.	5603				

0	Pressioni Applicate		kPa	0	25	50	100	200	400	800	1600
RICO	Altezza Campione	2H^	cm	2,000	1,970	1,932	1,870	1,760	1,668	1.595	1,516
- C	Altezza Vuoti		cm	0,845	0,815	0,777	0,715	0,605	0,513	0,440	0,361
DIC	Indice Vuoti	e		0,731	0,705	0,672	0,618	0,523	0,444	0,381	0,312
	Indice di Compressibilità	Cc				0,109	0,178	0,316	0,265	0,209	0,228
ASE	Modulo Edometrico	Ed	kN/m²			1296	1558	1700	3825	9171	16121
E	Consolidazione		%	ſ	1,523	3,520	6,952	13,636	19,906	25,375	31,921

Nel corso della perforazione dei sondaggi geognostici S1 e S2, a diverse altezze stratigrafiche sono state eseguite n.° 5 prove geotecniche in sito del tipo S.P.T. (Standard Penetration Test).

La prova SPT si esegue nel corso della perforazione e consiste nel registrare il numero di colpi necessari per far penetrare di 45 cm nel terreno, a fondo foro, un tubo campionatore di dimensioni standard, collegato alla superficie mediante batteria di aste in testa alle quali agisce un maglio del peso di 63.5 kg che cade liberamente da un'altezza di 0.76 m.

#### Durante la prova si misura:

- N1 = numero di colpi di maglio necessari a provocare l'avanzamento del campionatore per i primi 15 cm, assunti come tratto di "avviamento";
- N2 = numero di colpi che provoca la penetrazione del campionatore nei successivi 15 cm;
- N3 = numero di colpi necessari per gli ultimi 15 cm di avanzamento.

Si assume come resistenza alla penetrazione il valore: NSPT = N2 + N3.

Nelle tabelle che seguono sono	riassunte le	profondità e i valori di l	NSPT per le 5 prove:

TABELLA RIASSUNTIVA PROVE S.P.T. (Standard Penetration Test) - Sondaggio S1								
Prof (m)	N1	N2	N3	Nspt=N <sub>2</sub> +N <sub>3</sub>				
2,50-2,95	7	10	14	24				
5,50-5,95	15	23	28	51				

TABELL	TABELLA RIASSUNTIVA PROVE S.P.T. (Standard Penetration Test) - Sondaggio S2					
Prof (m)	N1	N2	N3	Nspt=N <sub>2</sub> +N <sub>3</sub>		
2,00-2,45	7	5	6	11		
4,00-4,45	21	32	47	79		
11,50-11,95	17	28	44	72		

Vi sono numerose correlazioni tra la resistenza alla penetrazione (NSPT) e i parametri geotecnici dei terreni, sia granulari che coesivi. In allegato vengono riportate delle elaborazioni relative alle prove SPT suddette, da cui sono stati desunti alcuni parametri geotecnici. Questi sono stati integrati con i dati di laboratorio per caratterizzare tutti i litotipi indagati. I dati sono stati inseriti nell'elaborazione del modello geologico-geotecnico-sismico di seguito illustrato.

# 4. CORRELAZIONI MODELLO GEOLOGICO-IDROGEOLOGICO CON LE PROVE IN SITU E DI LABORATORIO.

L'insieme dei dati raccolti fornisce un modello geologico caratterizzato dalla successione pelitico-arenacea del vallone di Tufo, appartenente all'Unità di Tufo-Altavilla (UTA), costituito da alternanze di peliti grigiastre massive in strati medi e spessi e di arenarie grigiogiallastre in strati medi e sottili (UTA2) nelle quali si intercala una litofacies conglomeratica poligenica (UTA2b); successione osservabile fino alla massima profondità indagata, di circa 34 metri, a partire dalla quota di 465 m s.l.m. del sondaggio S1 e fino alla quota di 434 m s.l.m. alla fine del sondaggio S2. All'interno della litofacies conglomeratica rinvenuta nel sondaggio S2 (UTA2b), è stato individuato un livello idrico a partire dalla quota di 5,00 m di profondità dal p.c. fino a circa 9,20 m, ma probabilmente la falda interessa spessori maggiori, visto che la litofacies che la ospita caratterizza in buona parte il settore opposto al muro in oggetto (cfr. fig. 4) mentre è tamponata dai litotipi pelitici dell'unità UTA2 che caratterizza il settore a monte del muro in oggetto (cfr. fig. 17).

Considerando il tipo di fondazione che si intende realizzare (fondazione superficiale), l'esito delle indagini geognostiche e dell'indagine geofisica (MASW), è opportuno e cautelati-

vo adottare un modello geo-meccanico della porzione più superficiale di sottosuolo svincolato dalla stratificazione e che tenga conto, essenzialmente, del grado di degradazione dei livelli pelitici e arenacei. Infatti le prove in situ e i dati della MASW evidenziano la presenza di un fronte di alterazione che segue l'andamento della superficie topografica ad una profondità dal piano-campagna di circa 4.0 metri. Il modello ricostruito è rappresentato in fig. 17.

Di seguito viene schematizzato il modello di sottosuolo desunto dalle indagini eseguite:

Livello A: massicciata e riporto costituito da terreni sciolti;

**Livello B**: alternanza di peliti grigiastre e arenarie grigio-giallastre (**UTA₂**) − ALTERATE;

**Livello C**: litofacies conglomeratica poligenica (**UTA**<sub>2b</sub>);

Livello D: alternanza di peliti grigiastre e arenarie grigio-giallastre (UTA2)

Livelli	Profondità dal p.c. (m)	N <sub>SPT</sub>	Cu Kg/cm² (valore indica- tivo da lettera- tura)	Vs m/s	Descrizione
Livello A	0.00-1.00	-	-	169	Terreni sciolti
Livello B	1.00-5.00	11	0.95	279	Substrato assimilabile a terreno coesivo, duro
Livello C	5.00-9.20	79	-	379	Substrato assimilabile a terreno non coesivo, molto addensato
Livello D	9.20-25.40	72	2.15		Substrato assimilabile a terreno coesivo, du- rissimo

È da considerare inoltre che alla profondità compre.sa tra 1,00 m e 1,50 m si incontra uno strato piuttosto argilloso, di media consistenza, direttamente a contatto con i materiali permeabili del Livello A soprastante che vi trasferiscono facilmente le acque stagionali superficiali causandone il decadimento delle proprietà meccaniche. Pertanto si consiglia di attestare le fondazioni ad una profondità non inferiore ad 1,50 m.

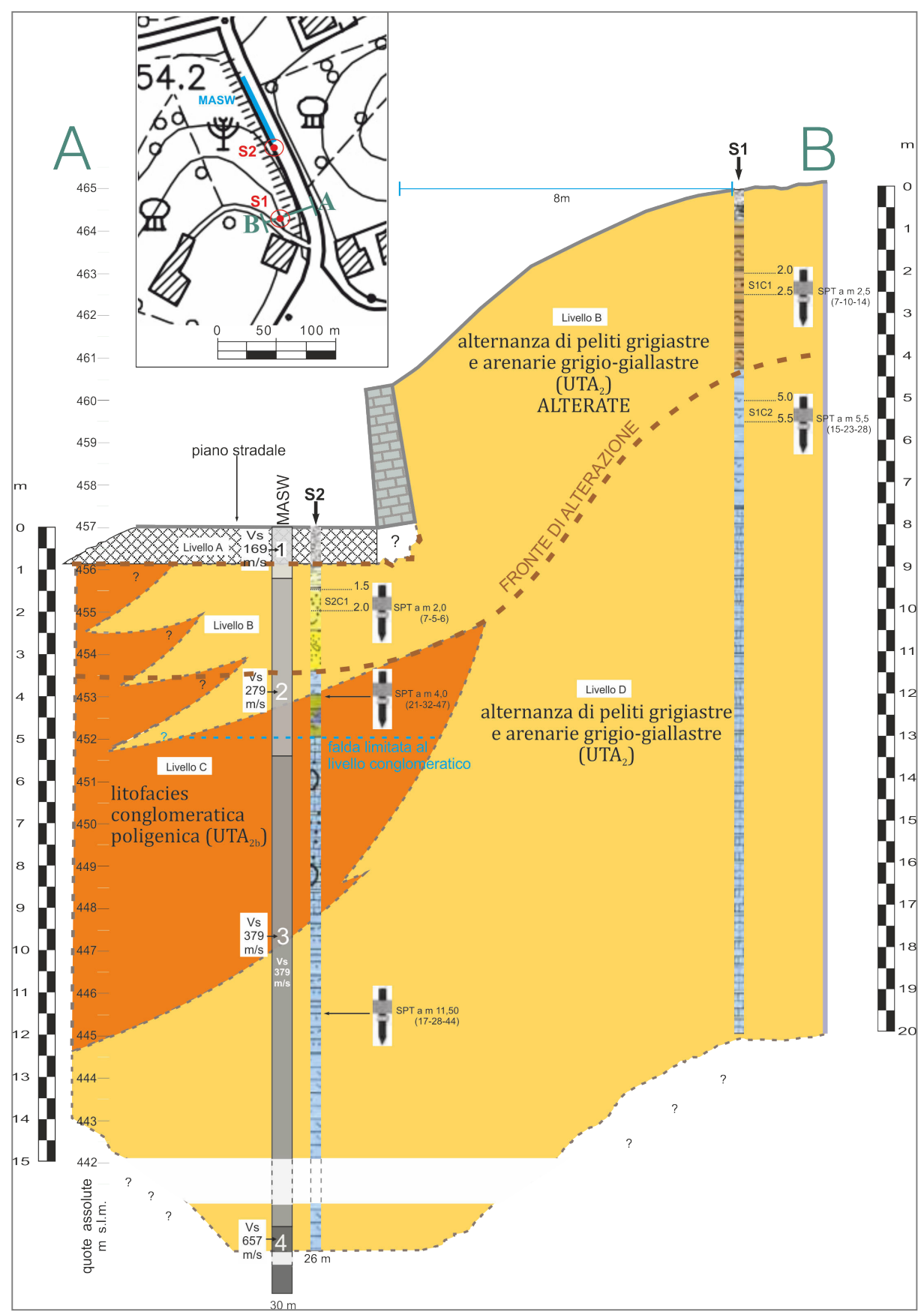


Fig. 17 – Modello geologico utile per la caratterizzazione e modellazione geotecnica del sottosuolo del sito di progetto. La sezione mostra il modello geologico del sottosuolo per la sezione AB indicata nello stralcio in alto a sinistra.

#### 5. RELAZIONE SULLA MODELLAZIONE SISMICA DEL SITO

#### 5.1 Classificazione sismica a scala comunale

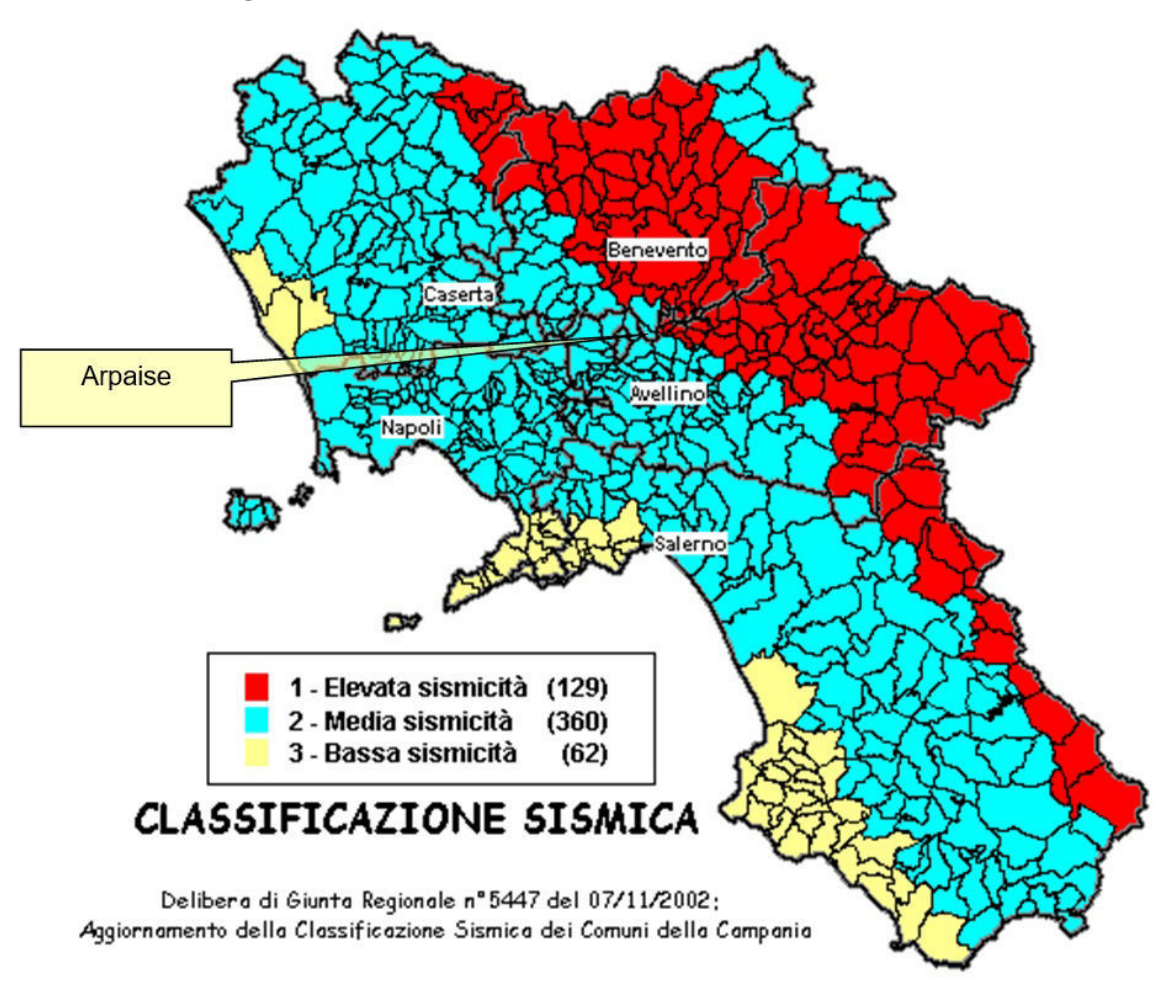
Secondo quanto disposto dalla Regione Campania con la D.G.R n. 5447 del 07/11/2002 e dall' l'O.P.C.M. n. 3274 del 20/03/2003, il Comune di Arpaise è classificato in zona 2 per la quale valgono i seguenti valori di accelerazione di picco orizzontale del suolo a<sub>g</sub>:

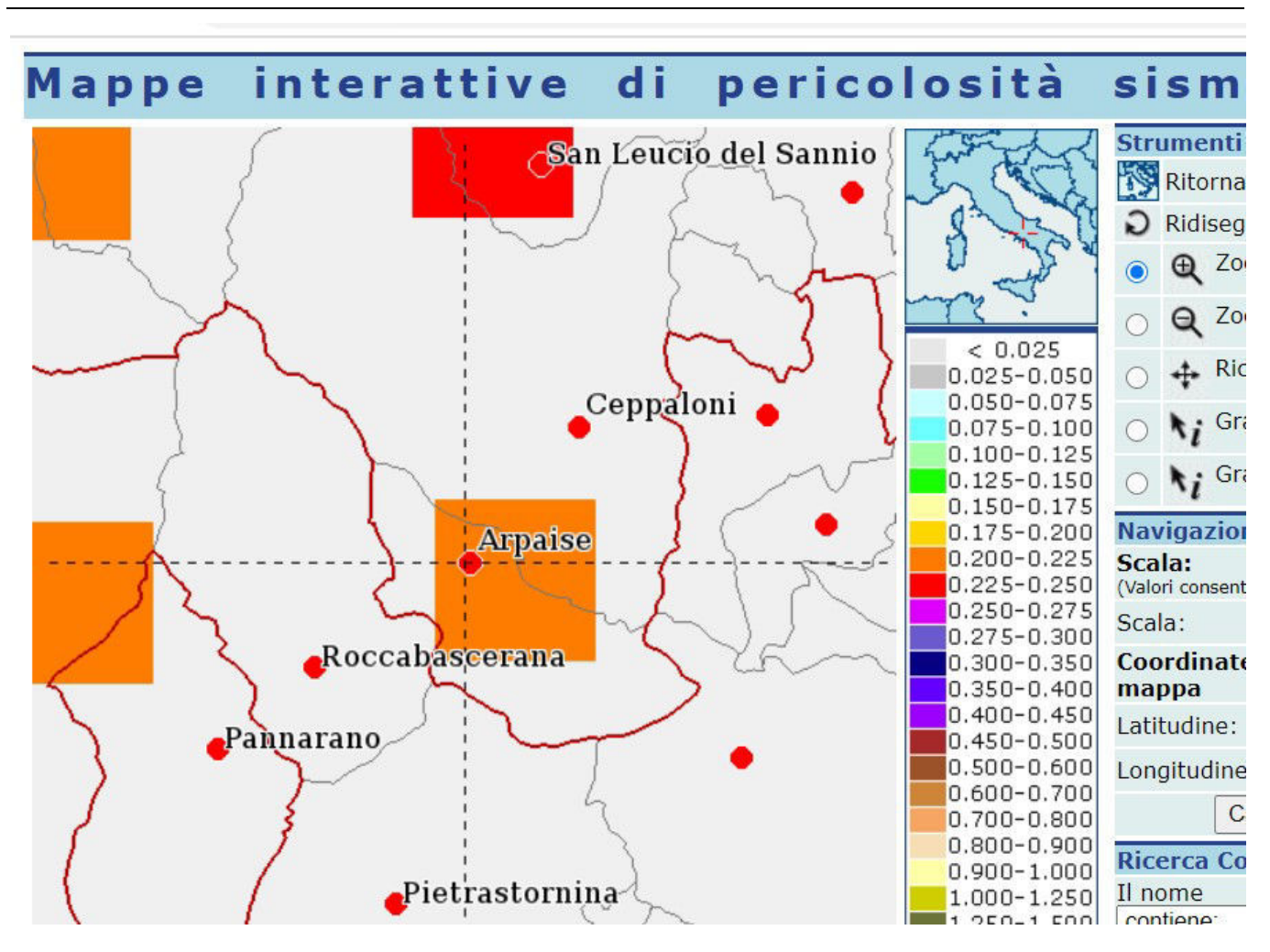
Tabella 1 – Valori di accelerazione di picco orizzontale per la Zona 2

accelerazione orizzontale con probabili-	accelerazione orizzontale di ancoraggio dello
tà di superamento pari al 10% in 50 anni	spettro di risposta elastico (norme tecniche)
[a <sub>9</sub> /g]	[a <sub>9</sub> /g]
0.15 <ag≤ 0.25<="" td=""><td>0.25</td></ag≤>	0.25

Tali indicazioni sono puramente indicative ai fini della "valutazione dell'azione sismica" nel sito di progetto e sull'opera da costruire (vedi NTC-2018; cfr. par. **6.2.**).

Figura 1 – Classificazione sismica della Regione Campania





**Figura 2 –** Classificazione sismica sul sito web <u>esse1-gis.mi.ingv.it</u> . I siti interessati dalle opere di consolidamento ricadono in un'area in cui i valori di a(g) sono compresi tra 0,200 e 0,225.

#### 5.2 Pericolosità sismica di base del sito di costruzione (NTC - D.M. 17 gennaio 2018)

L'azione sismica di progetto viene valutata, secondo la normativa vigente, sia in funzione del sito scelto che rispetto ai caratteri dell'opera. Cioè in funzione anche della la sua *vita nomina-le* ( $V_N$ , espressa in anni), della *classe d'uso* (a cui si associa il *coefficiente d'uso*  $C_U$ ) e del grado di protezione dell'opera dall'azione sismica. Questo ultimo viene "scelto", secondo le NTC, associando opportunamente ai diversi "stati limite" (SL) dell'opera due parametri legati alla definizione di pericolosità sismica di un sito: il *periodo di riferimento*  $V_R$  e la *probabilità di eccedenza nel periodo di riferimento*  $P_{VR}$  (entrambi rappresentano una valutazione probabilistica dell'<u>intervallo di tempo</u> che intercorre tra due terremoti di data magnitudo cioè del "*periodo di ritorno*"  $T_R$ ).

Le azioni sismiche di progetto, in base alle quali valutare il rispetto dei diversi stati limite (**SL**) considerati, si definiscono a partire dalla *pericolosità sismica di base* del sito di costruzione. Essa costituisce l'elemento di conoscenza primario per la determinazione delle azioni sismiche.

La pericolosità sismica di base è definita in termini:

- di accelerazione orizzontale massima attesa (ag, espressa in g, accelerazione di gravità) su sito di riferimento: cioè al sito di costruzione "assunto" con sottosuolo rigido (categoria di sottosuolo A), con superficie topografica orizzontale (categoria topografica T1) e in condizioni di campo libero (in assenza di manufatti);
- di valore delle *ordinate* dello *spettro di risposta elastico in accelerazione* S<sub>e</sub>(T) corrispondente ad a<sub>g</sub>, con riferimento a prefissate *probabilità di eccedenza* P<sub>VR</sub>, nel *periodo di riferimento* V<sub>R</sub>.

Il D.M. 17/01/2018 definisce le forme spettrali, per ciascuna delle *probabilità di eccedenza* nel periodo di riferimento PvR, a partire dai valori dei seguenti parametri su sito di riferimento (cioè per categoria di sottosuolo **A**, categoria topografica **T1** e in assenza di manufatti):

- **a**g = accelerazione orizzontale massima al sito;
- F<sub>o</sub> = valore massimo del fattore di amplificazione dello spettro in accelerazione orizzontale;
- T\*c = periodo di inizio del tratto a velocità costante dello spettro in accelerazione orizzontale.

Nella tabella 2, per il sito di progetto, sono forniti, seguendo i criteri previsti dalle NTC:

- i valori di ag, Fo e T\*c per i "periodi di ritorno" (TR) di riferimento;
- i valori dei parametri **a**<sub>g</sub>, **F**<sub>o</sub>, **T**\*<sub>c</sub> per il "periodo di ritorno" associato a ciascuno **SL** in base alla *strategia progettuale*;
- i coefficienti sismici di base (per sito di riferimento: assumendo per il sito di costruzione categoria di sottosuolo A, categoria topografica T1 e in assenza di manufatti) associati a ciascun SL.

La tabella riporta i parametri che definiscono la *pericolosità sismica di base* rispetto ai *nodi* della maglia del *reticolo di riferimento* **S1-INGV** in cui ricade il "sito di progetto". Le maglie del reticolo sono di ampiezza inferiore a 10km: 0,05° di **Lat** e intorno a 0,07° di **Lon**.

I dati forniti provengono: dalle tabelle dell'allegato **B** delle **NTC-**2008 (come previsto dalle NTC-2018: cfr. par. **3.2.**) e dall'uso di programmi specifici (*Azioni sismiche*–*Spettri di risposta* vers. 1.03 disponibile sul sito del C.S.LL.PP. e Geostru-PS Versione 2018, disponibile su <a href="http://geoapp.eu/parametrisismici2018">http://geoapp.eu/parametrisismici2018</a>).

Tabella 2 - Parametri sismici di base

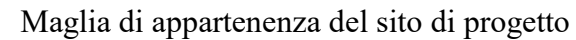
Coordinate	WGS84	ED50	WGS84	ED50
sito di progetto	UTM	UTM	hddd,ddddd°	hddd,ddddd°
Lat			41.025987	41.026979
Lon			14.743478	14.744342

**Siti di riferimento**: nodi della maglia del *reticolo di riferimento* (S1-INGV) in cui ricade il sito di progetto (coordinate espresse in ED50)

Sito 1	ID: 32319	Lat: 41,0288	Lon: 14,6831	Distanza: 5137,710
Sito 2	ID: 32320	Lat: 41,0280	Lon: 14,7494	Distanza: 442,003
Sito 3	ID: 32542	Lat: 40,9780	Lon: 14,7484	Distanza: 5452,518
Sito 4	ID: 32541	Lat: 40,9788	Lon: 14,6822	Distanza: 7478,217

Parametri sismici di base del sito di costruzione: su "sito di riferimento" rigido (categoria di sottosuolo A) con superficie topografica orizzontale (categoria topografica T1) in condizioni di campo libero (in assenza di manufatti).

SCHZa ai man	uiuttij.		
T <sub>R</sub> [anni]	<b>a</b> g [g]	Fo	<b>T</b> *c [s]
30	0,588	2,35	0,28
50	0,780	2,31	0,30
72	0,942	2,30	0,32
101	1,111	2,31	0,33
140	1,295	2,32	0,34
201	1,539	2,33	0,35
475	2,221	2,36	0,37
975	2,880	2,44	0,38
2475	3,900	2,54	0,41





Caratteristiche dell'opera						
Vita nominale <b>Vn</b>	Classe d'uso	Coefficiente d'uso Cu				
50 anni	II	1				

Valori dei parametri ag, Fo, T\*c per il periodo di ritorno associato a ciascun SL

Stato	Pvr	TR	ag	Fo	T*c
Limite	[%]	[anni]	[g]	Γο	[s]
SLO	81	30	0,058	2,348	0,280
SLD	63	50	0,077	2,306	0,299
SLV	10	475	0,219	2,359	0,366
SLC	5	975	0,284	2,435	0,366

Note:

Coefficienti sismici di base associati a ciascun SL:

per "sito di riferimento" (cfr. NTC) cioè per categoria di sottosuolo A, categoria topografica T1

	Ss:	Cc:	St:	Kh:	Kv:	Amax:	Beta:
SLO:	1,000	1,000	1,000	0,000	0,000	0,572	0,000
SLD:	1,000	1,000	1,000	0,036	0,018	0,758	0,470
SLV:	1,000	1,000	1,000	0,083	0,042	2,152	0,380
SLC:	1,000	1,000	1,000	0,000	0,000	2,787	0,000

La tabella mostra tutti i parametri di **base** riferiti a *strategia progettuale di norma* in termini di valutazione dell'azione sismica che la committenza può variare se desidera maggiori gradi di protezione.

Altri parametri riportati in tabella 2:

- Ss: coefficiente di amplificazione stratigrafica

- Cc: coefficiente funzione della categoria di sottosuolo

- St: coefficiente di amplificazione topografica

- Kh: coefficiente sismico orizzontale

- Kv: coefficiente sismico verticale

- Amax: accelerazione orizzontale massima attesa al sito

- Beta: coefficiente di riduzione dell'accel. massima attesa al sito

#### 5.3. Valutazione della risposta sismica locale

Consiste nel definire per il "sito di progetto":

- l'influenza delle caratteristiche stratigrafiche del sottosuolo e del contesto morfologico (condizioni topografiche) sul moto del suolo "trascurate" nella valutazione della pericolosità sismica di base; ciò permette di definire i coefficienti sismici, per ogni SL, da considerare per lo "spettro di risposta elastico in accelerazione" (componente orizzontale) S<sub>e</sub>(T) in cui si tiene conto dell'eventuale amplificazione stratigrafica e/o topografica legate alle condizioni stratigrafiche e topografiche del sito di progetto;
- condizioni morfologiche, stratigrafiche, strutturali e idrogeologiche che predispongano a fenomeni cosismici.

#### 5.3.1. Effetti stratigrafici - Categoria del sottosuolo

Dal par. **3.2.2.** delle NTC-2018: "Ai fini della definizione dell'azione sismica di progetto, l'effetto della risposta sismica locale si valuta mediante specifiche analisi, da eseguire con le modalità indicate nel § 7.11.3. In alternativa, qualora le condizioni stratigrafiche e le proprietà dei terreni siano chiaramente riconducibili alle categorie definite nella Tab. 3.2.II, si può fare riferimento a un <u>approccio semplificato</u> che si basa sulla classificazione del sottosuolo in funzione dei valori della velocità di propagazione delle onde di taglio, VS. I valori dei parametri meccanici necessari per le analisi di risposta sismica locale o delle velocità VS per l'approccio semplificato costituiscono parte integrante della caratterizzazione geotecnica dei terreni compresi nel volume significativo, di cui al § 6.2.2."... "La classificazione del sottosuolo si effettua in base alle condizioni stratigrafiche ed ai valori della **velocità equivalente** di propagazione delle onde di taglio, V<sub>S,eq</sub> (in m/s), definita dall'espressione:

$$V_{S,eq} = \frac{H}{\sum_{i=1}^{N} \frac{h_i}{V_{S,i}}}$$
 [3.2.1]

con:

h<sub>i</sub> spessore dell'i-esimo strato;

V<sub>S,i</sub> velocità delle onde di taglio nell'i-esimo strato;

N numero di strati;

H profondità del substrato, definito come quella formazione costituita da roccia o terreno molto rigido, caratterizzata da Vs non inferiore a 800 m/s."

Il terreno di fondazione dell'opera da realizzare è costituito da una successione peliticoarenacea del vallone di Tufo, appartenente all'**Unità di Tufo-Altavilla** (**UTA**), costituito da alternanze di peliti grigiastre massive in strati medi e spessi e di arenarie grigio-giallastre in strati medi e sottili (**UTA**<sub>2</sub>) nelle quali si intercala una litofacies conglomeratica poligenica (**UTA**<sub>2b</sub>).

Le caratteristiche meccaniche dell'unità dipendono dalla degradazione dei livelli pelitici e, quindi, dalla profondità alla quale il fronte di alterazione è penetrato nell'ammasso.

Sul sito di progetto è stata eseguita una *indagine sismica tipo MASW*, descritta nell'allegato attinente. Dall'elaborazione dei dati raccolti è scaturito un modello di velocità a 4 strati (fig. 3).

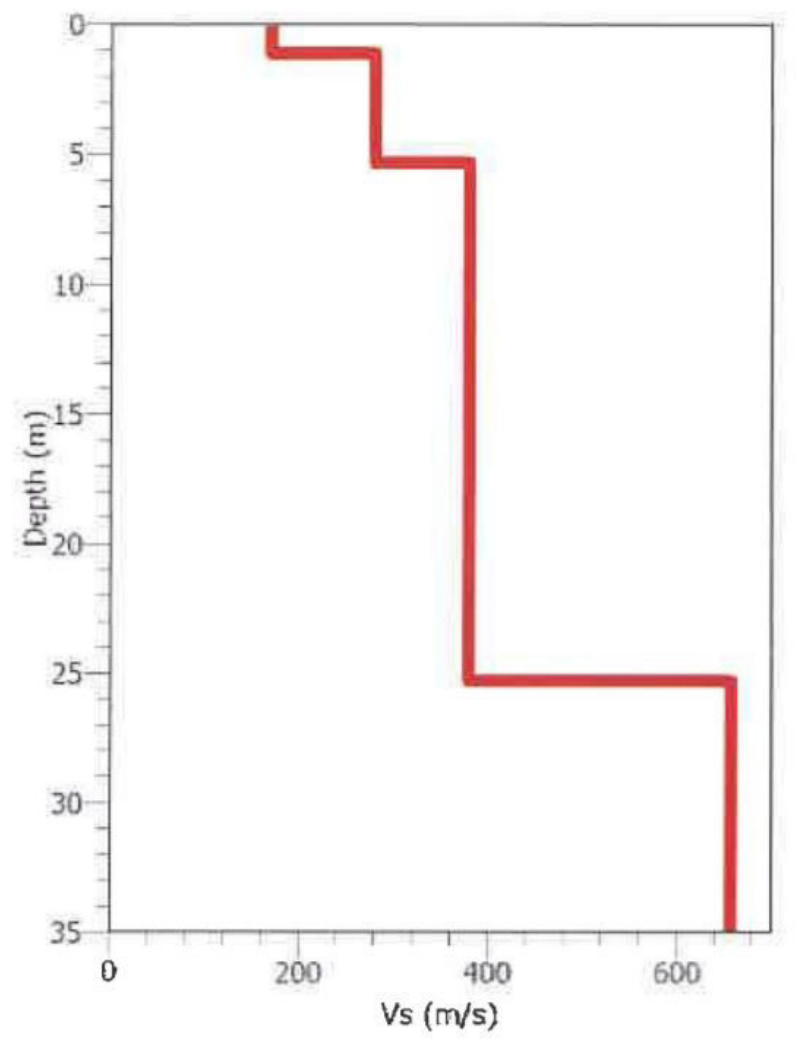


Fig. 3 - Modello delle velocita' delle onde di taglio (Vs) fornito dall'indagine sismica eseguita sul sito di progetto.

Tabella 3: schema dei parametri del sottosuolo calcolati fino a 30 m dal piano-campagna

Tabella 4: parametri dinamici del sottosuolo calcolati fino a 30 m dal p.c.

Strato	Spessore (m)	INCOME STATE	- XXXXXXXXXX	Densità p (kg/m³)	Poisson v	Modulo di taglio G (kPa)	Modulo di Young E (kPa)
1	1,20	497	169	1500	0,43	42842	122923
2	4.20	650	270	1600	0.30	124546	246420

Tale modello (fig. 3 e tab. 3) indica che il "substrato di riferimento" (vs > 800 m/s) è presente a profondità sicuramente maggiori di 30 metri, quindi il parametro VS,eq è calcolato per i primi 30 m di profondità (mediante l'equazione 3.2.1 del § 3.2.2. delle NTC-2018) ed ha un valore di 366 m/s.

Analizzando il modello delle velocità delle onde S, di fig. 3, si nota che tali valori aumentano con la profondità, coerentemente con l'aumento delle proprietà meccaniche dei terreni (come evidenziato nel paragrafo 4). Premesso ciò, è da considerare che il valore di **VS,eq = 366 m/s** è un valore leggermente superiore a 360 m/s, il che lo farebbe rientrare nei valori che caratterizzano la categoria di sottosuolo B, ma poiché l'indagine è stata eseguita lungo la strada, che si trova in una trincea, alla base del muro, e quindi non tiene conto dei terreni a monte di esso, che avrebbero contribuito alla riduzione di tale valore, è opportuno far rientrare i terreni nella **categoria C**.

Tabella 3.2.II delle NTC-2018 – Categorie di sottosuolo che permettono l'utilizzo dell'approccio semplificato

Categoria	Caratteristiche del sottosuolo*
A	Ammassi rocciosi affioranti o terreni molto rigidi caratterizzati da valori di velocità delle onde di taglio superiori a 800 m/s, eventualmente comprendenti in superficie terreni di caratteristiche meccaniche più scadenti con spessore massimo pari a 3 m.
В	Rocce tenere e depositi di terreni a grana grossa molto addensati o terreni a grana fina molto consistenti, caratterizzati da un miglioramento delle proprietà meccaniche con la profondità e da valori di velocità equivalente compresi tra 360 m/s e 800 m/s.
С	Depositi di terreni a grana grossa mediamente addensati o terreni a grana fina mediamente consistenti con profondità del substrato superiori a 30 m, caratterizzati da un miglioramento delle proprietà meccaniche con la profondità e da valori di velocità equivalente compresi tra 180 m/s e 360 m/s.
D	Depositi di terreni a grana grossa scarsamente addensati o di terreni a grana fina scarsamente consistenti, con profondità del substrato superiori a 30 m, caratterizzati da un miglioramento delle proprietà meccaniche con la profondità e da valori di velocità equivalente compresi tra 100 e 180 m/s.
E	Terreni con caratteristiche e valori di velocità equivalente riconducibili a quelle definite per le categorie C o D, con profondità del substrato non superiore a 30 m.

<sup>\*</sup>Modifica: Nella tabella originale delle NTC 2018, in questo campo è riportata la dicitura "caratteristiche della superficie topografica". Si tratta probabilmente di un errore passato inosservato alle correzioni.

# 5.3.2. Effetti topografici - Categoria topografica

Nel caso di configurazioni superficiali semplici è possibile adottare la classificazione riportata in tabella **3.2.III** delle NTC-2018 e determinare opportunamente la categoria topografica a cui appartiene il sito di progetto.

Il sito interessato dalle opere di consolidamento si trova su un tratto di versante con pendenza media di circa 27,6%, pari a circa **15,5° di inclinazione**.

Essendo l'inclinazione superiore a 15°, al sito di progetto va attribuita la

#### categoria topografica T2

(coefficiente di amplificazione topografica S<sub>T</sub>=1,2; cfr. tabella 3.2.V delle NTC-2018).

Tabella 3.2.III delle NTC-2018 - Categorie topografiche

Categoria	Caratteristiche della superficie topografica
T1	Superficie pianeggiante, pendii e rilievi isolati con inclinazione media i ≤ 15°
T2	Pendii con inclinazione media i > 15°
Т3	Rilievi con larghezza in cresta molto minore che alla base e inclinazione media $15^{\circ} \le i \le 30^{\circ}$
T4	Rilievi con larghezza in cresta molto minore che alla base e inclinazione media i > 30°

Tabella 3.2.V delle NTC-2018 – Valori massimi del coefficiente di amplificazione topografica  $S_T$ 

Categoria topografica	bicazione dell'opera o dell'intervent
-----------------------	---------------------------------------

#### 5.3.3. Valutazione degli effetti cosismici

Le condizioni morfologiche, stratigrafiche, strutturali e idrogeologiche osservate <u>non evidenziano</u> possibili sviluppi di fenomeni cosismici tipo frane, liquefazione, densificazione, ecc. che possano coinvolgere direttamente il sito di progetto.

# 5.4. Coefficienti sismici tenendo conto della risposta sismica locale

Sulla base delle valutazioni della risposta sismica locale del sito di progetto si riportano i coefficienti sismici, per ogni **SL**, da considerare per lo "spettro di risposta elastico in accelerazione" (componente orizzontale) **S**<sub>e</sub>(**T**) che tenga conto dell'eventuale amplificazione stratigrafica e/o topografica legate alle condizioni stratigrafiche e topografiche del sito di progetto: categoria sottosuolo **C**, categoria topografica **T2**. Tali coefficienti vengono riportati in **tabella 4**.

**Tabella 4** – Coefficienti sismici (in base alla valutazione della risposta sismica locale)

	Ss:	Cc:	St:	Kh:	Kv:	Amax:	Beta:
SLO:	1,500	1,600	1,200	0,000	0,000	1,029	0,000
SLD:	1,500	1,560	1,200	0,065	0,033	1,365	0,470
SLV:	1,390	1,460	1,200	0,139	0,070	3,589	0,380
SLC:	1,280	1,440	1,200	0,000	0,000	4,281	0,000

La tabella mostra tutti i coefficienti legati ai parametri sismici del sito di costruzione (cfr. **ta-bella 2**) e desunti, per la *risposta sismica locale*, con *approccio semplificato* definito dalla normativa (cfr. par. **3.2.2.** delle NTC). Dove:

- Ss: coefficiente di amplificazione stratigrafica
- Cc: coefficiente funzione della categoria di sottosuolo
- St: coefficiente di amplificazione topografica
- Kh: coefficiente sismico orizzontale
- Kv: coefficiente sismico verticale
- Amax: accelerazione orizzontale massima attesa al sito
- **Beta**: coefficiente di riduzione dell'accel, massima attesa al sito

#### 6. CONSIDERAZIONI CONCLUSIVE

Sulla base degli studi eseguiti, in relazione a quanto sin qui esposto, si può sinteticamente riassumere quanto segue:

- 1) dal punto di vista **geologico**, il terreno di fondazione dell'opera in progetto è costituito da una successione pelitico-arenacea del vallone di Tufo, appartenente all'**Unità di Tufo-Altavilla** (**UTA**), costituito da alternanze di peliti grigiastre massive in strati medi e spessi e di arenarie grigio-giallastre in strati medi e sottili (**UTA**<sub>2</sub>) nelle quali si intercala una litofacies conglomeratica poligenica (**UTA**<sub>2b</sub>), le cui caratteristiche meccaniche dipendono dalla degradazione dei livelli pelitici e, quindi, dalla profondità alla quale il fronte di alterazione è penetrato nell'ammasso.
- 2) dal punto di vista idrogeologico si può affermare che in corrispondenza dei sedimenti prevalentemente pelitici, massivi, affioranti nell'area di studio (UTA2) l'infiltrazione è scarsa o nulla (probabilmente durante le stagioni piovose essa permea all'interno della coltre più superficiale, alterata); ciò è stato verificato mediante l'esecuzione del sondaggio S1 e l'installazione di un piezometro che ha potuto permettere la deduzione dell'assenza di una falda idrica.
- 3) dal punto di vista **geomorfologico**, l'intera area rientra in una **zona collinare** caratterizzata da versanti a debole pendenza, in corrispondenza dei sedimenti prevalentemente pelitici, e versanti a pendenza maggiore, in corrispondenza dei litotipi conglomeratici e arenacei, maggiormente resistenti ai processi morfoevolutivi.
  - Nel dettaglio, i rilievi condotti hanno evidenziato che l'area interessata dal progetto si trova in corrispondenza di una zona collinare di spartiacque (**cfr. fig. 1**) non interessata da processi morfodinamici erosivi significativi sia areali che puntuali. Ciò trova rispondenza anche nella carta degli scenari di rischio dell'Autorità di Bacino (**cfr. figg. 9 e 10**) che non vi riconosce alcun livello di rischio. Il danneggiamento al muro di contenimento in progetto, visibilmente inclinato (**cfr. fig. 7**), è imputabile allo scadimento delle caratteristiche tecniche del terreno di fondazione per assenza, o non efficienza, di opere di drenaggio o allontanamento delle acque superficiali, considerando che lo stesso muro è stato costruito su fondazioni dirette molto superficiali (0,50 m di profondità).

Da quanto sin qui esposto la sottoscritta ritiene che l'opera in progetto sia fattibile in relazione alla stabilità d'insieme della zona e che la costruzione del manufatto in progetto non conduca a conseguenze dannose per il sito in questione né per le aree adiacenti, ma, anzi, sia necessaria ai fini della sicurezza dell'area.

Tanto si doveva ad espletamento dell'incarico ricevuto.

Morcone, settembre 2020

#### LA PROFESSIONISTA INCARICATA

Geol. d.ssa Irene Savino





Accettazione n°1234 del 25 maggio 2020

Rapporti di prova da nº146 e 147 anno 2020

Spett.le **Dott. Geol. Irene Savino** 

Committente: Amministrazione Provinciale di Benevento

SP 1 CIARDIELLI – RICOSTRUZIONE MURO DI CONTENIMENTO
Loc. Perrillo – Comune di Arpaise (BN)



GEO-TECNICA SRL -società con socio Unico - Zona Industriale PONTE VALENTINO 82100 BENEVENTO Www.geo-tecnica.it e-mail: informazioni@geo-tecnica.it

Laboratorio Autorizzato Ministero II e TT per prove su Terre e Rocce nº 99 del 19/3/2018

Accettazione n°1234 del 25 maggio 2020

Committente: Amministrazione Provinciale di Benevento

Richiedente:dott. Geol. Irene Savino

Progetto: SP 1 Ciardielli Ricostruzione muro di contenimento

Località: Perrillo

Comune: Arpaise (BN)

# INDAGINI IN SITO

#### **PROVE ESEGUITE**

- •Sondaggio geognostico S1 a mt 30,0 rapp. di prova 149/2020
- Sondaggio geognostico S2 a mt 20,0 rapp. di prova 150/2020
- •Prova sismica superficiale Masw rapp. di prova 151/2020

#### STRALCI PLANIMETRICI CON UBICAZIONE DELLE PROVE



#### **DESCRIZIONE DELLA METODOLOGIA**

#### CAROTAGGIO CONTINUO

Tutte le indagini eseguite sono state effettuate a carotaggio continuo con il prelievo della carota disposta in apposite cassette catalogatrici. Il carotaggio è stato eseguito a secco, nei terreni più sciolti e con circolazione di fluido in quelli di natura litoide. L'espulsione della carota è stata effettuata o con spinta idraulica (acqua) o in caso di materiale litoide tramite martellamento del carotiere, il tutto raccolto in contenitore adatto e riposto, secondo la profondità, nelle apposite cassette.La strumentazione utilizzata per le indagini è la seguente: Sonda perforatrice a rotazione di marca Trivel Mec modello TM 10FG, anno di produzione 2014, peso circa 10000 kg, coppia massima di rotazione 1000 kgm, velocità di rotazione massima 450 g/min; corsa di 3300 mm, Aste lunghezza 1500 mm diametro 76 mm spessore 6,6 mm, Carotiere di tipo semplice diametro 101 lunghezza 3000 mm e corona con denti in widia, **Pompa fanghi** del tipo a vite con pressione massima di esercizio 30 bar. <u>PRELIEVO DEI CAMPIONI INDISTURBATI</u>

Raggiunta la profondità desiderata con la perforazione si è proceduti alla manovra di pulizia del foro mediante lavaggio con acqua pulita tale da rimuovere dal fondo del foro eventuale fango e detriti lasciati dalla manovra precedente. Il prelievo dei campioni è stato eseguito, a seconda del grado di consistenza del terreno, con un campionatore a pressione di tipo shelby con fustella a pareti sottili, nei terreni meno consistenti e con un campionatore rotativo denominato "Drill" nei terreni consistenti, litoidi e semilitoidi. Tale campionatore, che viene usato con circolazione di fluido, è costituito da una parte esterna con corona sottile al widia che esegue il taglio del terreno e da una fustella interna in acciaio collegata tramite una testa libera che permette alla fustella di inserirsi nel terreno senza ruotare. Il campione indisturbato, prelevato nella fustella, è stato regolarmente paraffinato e contrassegnato con i dati relativi al sondaggio, alla profondità e alla data di prelievo.

STANDARD PENETRATION TEST La prova SPT si esegue durante la perforazione. Consiste nel registrare il numero di colpi necessari per far penetrare di 45 cm nel terreno a fondo foro un tubo campionatore di dimensioni standard, collegato alla superficie mediante batteria di aste in testa sulle quali agisce un maglio del peso di 63.5 kg che cade liberamente da un'altezza di 0,75 m.

Durante la prova si misura : N 1= numero di colpi di maglio necessari a provocare l'avanzamento del campionatore per i primi 15 cm

N 2= numero di colpi che provoca la penetrazione del campionatore nei successivi 15 cm;

N 3= numero di colpi necessari per gli ultimi 15 cm di avanzamento.

Si assume come resistenza alla penetrazione il valore:  $N_{SPT} = N_2 + N_3$ 

Si utilizzano le seguenti attrezzature standard:

Aste d'infissione del diametro esterno 50 mm e peso di 7 kg/m; Testa di battuta di acciaio avvitata sulle aste; Maglio di acciaio di 63,5 kg; Dispositivo automatico che consente la caduta del maglio da un'altezza di 0,76 m; Centratore di guida per le aste fra la testa di battuta e il piano campagna; Campionatore standard (detto Raymond dalla società che lo ha introdotto per prima). Si tratta di un tubo carotiere avente diametro esterno di 51 mm, spessore 16 mm e lunghezza complessiva comprendente scarpa e raccordo alle aste di 813 mm. Nei terreni ghiaiosi la scarpa del carotiere viene sostituita da una punta conica di diametro 51 mm e angolo 60°. Il campionatore Raymond consta di un tubo diviso longitudinalmente a metà, i due semitubi sono tenuti insieme, durante l'infissione, da una scarpa tagliente avvitata alla base e da un anello in testa. Alla fine della prova si svita la scarpa, il carotiere si apre in due permettendo di estrarre il campione di terreno.

Il direttore del laboratorio

Z.I. Ponte Valentino - 82100 BENEVENTO www.geo-tecnica.it

FIDACIMI GEOGNOSTICHE - GEOTECNICA

Dott. Geol. Umberto Lonardo



Lab. Autorizzato Min. II e TT Prove su Terre e Rocce nº 99 del 19/3/18

Sondaggio geognostico S 1

Accettazione: nº 1234 del 25/5/2020 Rapporto di prova: nº149 del 17/6/2020

Committente: Amministrazione Provinciale di Benevento

GEO-TECNICA srl socità con socio unico – Z.Industriale Ponte Valentino Richiedente: dott. Geol.Irene Savino

82100 Benevento tel. 0824 313705 www.geo-tecnica.it informazioni@geo-tecnica.it Progetto: SP1 ricostruzione muro di contenimento

Località:Perrillo

Comune di :Arpaise (BN)

Profondità: 20,00 mt Cassette: n° 4 Quota p.c.:465 data esecuzione: da 28/5/20 al 29/5/20 Attrezzatura: Trivel Mac TM10FG Tipo carotaggio: continuo Ø 101 mm Tipo carotiere: semplice Rivestimento: Ø 127 mm a mt 3,0 Operatore: Giglio Giuseppe

Condizionamento foro e note:
Istallato tubo piezometrico

rofo	ndità	Spess.	SIMBOLO	DESCRIZIONE LITOLOGICA	%	Car	oŧ	Camp.	Poket	H,O	SPT A= punta roerta	
me	etri 0,2		SIIVIDULU		25	5 50 7	75	O=Osserberg Administra	Kg/cmq	-	Select carrid	-
2	0,6	0,4	4.22.22	Argilla con limo sabbioso di colore marrone-grigiastro con presenza di clasti (1-2 cm) calcarei e livelletti carboniosi e sabbiosi con forme				2.0 C1 S			A mt 2,5	
3	3,7	3,1	2.4.4.4.4	di ossidazione	40.44.0			2,5			(7-10-14)	)
1	4,2	0.5	~~ ~ ~ ~ ~ ~	Argilla con limo debolmente sabbiosa di colore marrone grigiastra	and black			5,0				
5				Argilla grigia, debolmente limosa, molto compatta	of Pururul phina.			C2 S 5,5			A mt 5,5 (15-23-28)	5
	7,5	3,2	~ ~ ~ ~ ~ ~ ~ ~ ~ ~ ~ ~ ~ ~ ~ ~ ~ ~ ~			1					(13-23-20)	1
						1						l
										0 2020		
1					and the second				i j	Misura del 4 giugno 2020		
2										Misura		
3				Argilla grigio molto compatta						11.7		
4												
5					er (() 444) = 1 cm in (i) 4							
3												
,												
3												
9												
	20,0	Fine Foro			and the same of th							
3											54	
1			c		Total Control of the	111100						
5					on all humanisms similarly							
6					HIRI COURSE W							
7												
3												
9				GEO-TECNICA								
)				2   Ponte Valentine - 32100 BENEVENTO www.geo-tecnica.it								
				уууу. 920-азстра. и	Securitation of the Contract o							
2					41-1-41-4				1			



# Sondaggio geognostico S 2

Accettazione: nº 1234 del 25/5/2020 Rapporto di prova: nº150del 17/6/2020

Committente: Amministrazione Provinciale di Benevento

Richiedente: dott. Geol.Irene Savino

GEO-TECNICA srl socità con socio unico – Z.Industriale Ponte Valentino Progetto: SP1 ricostruzione muro di contenimento 82100 Benevento tel. 0824 313705 www.geo-tecnica.it informazioni@geo-tecnica.it

Località:Perrillo

Comune di :Arpaise (BN)

Lab. Autorizzato Min. II e TT Prove su Terre e Rocce nº 99 del 19/3/18

Profondità: 26,00 mt Cassette: n° 4 Quota p.c.:457 data esecuzione: da 1/6/2020 al 1/6/2020 Attrezzatura: Trivel Mac TM10FG Tipo carotaggio: continuo Ø 101 mm Tipo carotiere: semplice Rivestimento: Ø 127 mm a mt 1,5 Operatore: Giglio Giuseppe Condizionamento foro e note:

ndità	_									
tri	Spess. metri	SIMBOLO	DESCRIZIONE LITOLOGICA	549.6	Carot	Sashelby	Poket Kg/cmq Misurata=1/2	H <sub>2</sub> O	SPT An ponta aperta Cepunta chiusa	
4.0	4.0		Massicciata e riporto costituito da materiali sabbiosi limosi con clasti poligenici millimetrici e centimetrici a spigoli vivi e sub arrotondati							
			Line in the second seco			1.5				
		erritarritarri	Sabbia limosa e ghiaia con clasti arenacei silicizzati, millimetrici	11					A	
		0.6 0.6 0.6	Ghiaia e clasti millimetrici e decimetrici con spigoli vivi e sub arrotondati in			2,0			Mt 2,0 (7-5-6)	
		~ ~ ~ ~ ~		11					1.	
									A mt 4.0	
5.0	1.0						76	5,0	(21-32-47)	
		08:								
			Ciottoli arrotondati, sub-arrotondati e talvolta a spigoli vivi, eterometrici (da		П					
		· ::::::::::::0	subordine calcarei e marnosi in matrice sabbiosa e sabbiosa ghiaiosa di							
		o's	colore grigio	li						
9,2	4,2				1					
		~~~~~~								
		0.000.000.000.000.000.000.000.000.000.	Argilla marnosa a luoghi debolmente limosa, grigia, molto compatta con rari ciottoli arenacei millimetrici e centimetrici arrotondati e sliticizzati	Ħ	1				<b>3.</b>	
		2-0-2-0							T A	
12,5	3,3	L ~ ~ ~ ~ ~ ~ ~ ~ ~ ~ ~ ~ ~ ~ ~ ~ ~ ~ ~		Н					mt 11,5	
		3 2 2 2 2 3 5							(17-20-44)	
		20000								
		S		1						
		* * * * * * * * * * * * * * * * * * *								
		20000	Argilla mamosa grigia omogenea compatta						11	
		~ ~ ~ ~ ~ ~ ~								
		~ ~ ~ ~ ~ ~ ~								
		0000000								
26.0	Fine	0 2 3 2 3 3								
	Foro									
				- 70						
			TCEO-TECNICA							
			INDAGEN OF CHOSTICHE - CEOTECHEN SHOWS							
			A Material Por De 1997		Control of the Contro					
							Q.			
					1,000		1	1.		
	1,5 2,5 3,3 4,0 5,0	1,5 0,5 2,5 1,0 3,3 0,7 4,0 0,7 5,0 1,0  9,2 4,2  12,5 3,3	1,5 0,5 2,5 1,0 3,3 0,7 4,0 0,7 5,0 1,0 9,2 4,2 12,5 3,3	Atgilla mamosa grigia omogenea compatta  Argilla mamosa grigia omogenea compatta  Argilla mamosa grigia omogenea compatta  Argilla mamosa grigia omogenea compatta	1,5 0.5   Alemanza di ivedii centimetrici di argilla gigio-biusatra e sabbia giatro ocra Sabbia liminosa e giniai son ciasti arrenacei siliozzati, millimetrici centimetrici de decimetrici con spigoli vivi e sub arrotondati in martice sabbioso giallo oracea   1,0 0,7   Chiaia e clasti millimetrici e decimetrici con spigoli vivi e sub arrotondati in martice sabbioso giallo oracea   1,0 0,7   Chiaia e clasti millimetrici e decimetrici con spigoli vivi e sub arrotondati in martice sabbioso argillosa grigio-verdastra   1,0 0,7   Chiaia e clasti millimetrici e decimetrici con spigoli vivi, elerometrici (da pochi cm a circa 10 cm) poligenici prevalentemente arenacei siliozzati in subordine calcarei e marnosi in matrice sabbiosa e sabbiosa ghialosa di colore grigio   1,2 1,3 3,3   Argilla marnosa a luoghi debolmente limosa, grigia, molto compatta con rari ciottoli arenacei millimetrici e centimetrici arrotondati e siticizzati   1,2 1,5 3,3   Argilla marnosa grigia omogenea compatta   1,2 1,5 3,3   Argilla marnosa grigia omogenea compatta   1,3 1,5 1,5 1,5 1,5 1,5 1,5 1,5 1,5 1,5 1,5	Algulia mamosa a luoghi debolmente limosa, grigia, molto compatta con rari ciottoli arenacei millimetrici e centimetrici e centimetrici e sabbiosa gialio corta.  Argilia mamosa a grigia omogenea compatta  Argilia mamosa a grigia omogenea compatta	Argilla mamosa grigia omogenea compatta  Argilla mamosa grigia omogenea compatta  Argilla mamosa grigia omogenea compatta	1,5 0,5   Alternaza di vetti centimettici di aggille gigipi-bianatica e sababa giuto occi 2,5 1,0   Sobbia limica e pitali soni catali arrenacei silicizzati, milimetrici centimetrici e decimetrici o decimetrici occi pitali si solici si	Argilla mamosa a luoghi debolmente ilmosa, grigia, molto compatta con rari ciottoli arenacei millimetrici e continertici a continertici a describetti di continerti di contine	Agilla mamosa grigia omogenea compatra  Argilla mamosa grigia omogenea compatra  Argilla mamosa grigia omogenea compatra

Il direttore del laboratorio dott. Umberto Lonardo\_



GEO-TECNICA SRL - società con socio Unico- Zona Industriale, Ponte Valentino 82100 Benevento www.geo-tecnica.it e-mail: informazionia geo-tecnica it

Accettazione nº 1234 del 25.05.2020 Richiedente: Dott. Geol. Irene Savino

Committente: Amministrazione Provinciale di Benevento Progetto: SP 1 Ciardielli-Ricostruzione muro

contenimento

Località: Perrillo-Comune di Arpaise (BN)

Data esecuzione: 03.06.2020

Rapporto di prova: n° 147 del 17.06.2020

# INDAGINE SISMICA **MASW**

#### Ubicazione



#### Normativa di riferimento

I disastrosi terremoti che negli ultimi anni hanno interessato l'Italia hanno determinato una riclassificazione sismica del territorio nazionale e una rivisitazione della normativa sismica che regola le costruzioni ricadenti in zone sismiche. Le Nuove Norme Tecniche sulle Costruzioni (NTC 17 gennaio 20181), la normativa tecnica europea (Eurocodici EC72 e EC83) e le più avanzate normative internazionali<sup>4</sup> disciplinano la progettazione e la costruzione di nuovi edifici soggetti ad azioni sismiche e la valutazione della sicurezza e degli interventi di adeguamento su edifici soggetti al medesimo tipo di azioni. Tali norme hanno lo scopo di assicurare che in caso di evento sismico sia protetta la vita umana, siano limitati i danni e rimangano funzionanti le strutture essenziali agli interventi di protezione civile. Fra le novità più importanti della nuova normativa tecnica in materia di progettazione antisismica vi è l'estensione della zonazione sismica a tutto il territorio nazionale,

La necessità di investigare il sottosuolo ha indirizzato i ricercatori a studiare tecniche non invasive, e quindi economiche, veloci e pratiche, per effettuare caratterizzazioni sismostratigrafiche del sottosuolo. Per ottemperare a quanto prescritto dalla normativa vigente è necessario determinare le azioni sismiche previste su nuove costruzioni, ampliamenti e ristrutturazioni importanti che ricadono in zona sismica, attraverso la determinazione della Vs,eq in m/s (velocità equivalente di propagazione delle onde di taglio). A tale parametro vengono attribuiti intervalli di variazione a cui corrispondono differenti categorie di sottosuolo (§ 3.2.2 NTC 2018). Il parametro Vs,eq è calcolato mediante la seguente espressione:

$$Vs, eq = \frac{H}{\sum_{i=1}^{N} \frac{hi}{Vs, i}} [m/s]$$

Vs,i: velocità delle onde di taglio nell' i-esimo strato

Devreto del Ministra delle Infrastrutture 17 gennaio 2018, pubblicato sul supplemento ordinazio n. 42 del 20 febbraio 2018
EN 1994, Gestes baix di Design. General Rules. European Committee fur Standardistion (CEN), Eurocode 7 Part 1.
EN 2003, Design of strutture for cartibuguda ensistance - Pat 1: General rules, seissina siturios and melle for buildings. Final Draft, prEN 1998-1, Brussels;
EN 2004, Design of struttures for cartibuguda ensistance - Pat 3: Assessment and retrofitting for buildings. Draft No. 7, prEN 1998-3, Brussels;
EN 2004, Design of struttures for cartibuguda ensistance - Pat 3: Assessment and retrofitting for buildings. Draft No. 7, prEN 1998-3, Brussels;
Papiled Technology Council, 1996. Seismic Estatution and Retrofit of Cource to Buildings, Volume 1, California;
ACI 318, Building Code Requirements for Retrofoca Concrete and Commentary, American Concrete Institute, Michigan, 2000;
Standards New Acidand, The design of concrete structures, CSA-A232-0M, Canada, 2005.



GEO-TECNICA SRL – società con socio Unico- Zona Industriale Ponte Valentino 82100 Benevento www.geo-tecnica.it e-mail: informazioniu geo-tecnica.it

Accettazione nº 1234 del 25.05.2020 Richiedente: Dott. Geol. Irene Savino

Committente: Amministrazione Provinciale di Benevento Progetto: SP 1 Ciardielli-Ricostruzione muro di

contenimento

Località: Perrillo-Comune di Arpaise (BN)

Data esecuzione: 03.06.2020

Rapporto di prova: n° 147 del 17.06.2020

hi: spessore in metri dello strato i-esimo

N: numero di strati

H: profondità del substrato, definito come quella formazione costituita da roccia o terreno molto rigido, caratterizzata da Vs non inferiore a 800 m/s.

Per le fondazioni superficiali, la profondità del substrato è riferita al piano di imposta delle stesse, mentre per le fondazioni su pali è riferita alla testa dei pali. Nel caso di opere di sostegno di terreni naturali, la profondità è riferita alla testa dell'opera. Per muri di sostegno di terrapieni, la profondità è riferita al piano di imposta della fondazione. Per depositi con profondità H del substrato superiore a 30 m, la velocità equivalente delle onde di taglio Vs,eq è definita dal parametro Vs,30, ottenuto ponendo H=30 m nella precedente espressione e considerando le proprietà degli strati di terreno fino a tale profondità.

La determinazione della Vs,eq avviene attraverso specifiche indagini geofisiche che si basano sulla propagazione delle onde sismiche nel sottosuolo.

In generale, le indagini sismiche si dividono in attive e passive. Le prime consistono nella generazione di onde sismiche che si propagano nel sottosuolo in seguito ad una energizzazione, che avviene tramite massa battente o scoppio, in un punto sorgente. Le onde generate vengono successivamente registrate da geofoni, rilevatori del moto del suolo, disposti lungo una linea sismica. Le indagini sismiche passive, invece, sono caratterizzate dalla registrazione del rumore sismico generato da sorgenti naturali e/o artificiali (rumore antropico).

#### Indagine sismica con tecnica "MASW"

L'indagine sismica di tipo MASW (Multichannel Analysis of Surface Waves) è un'indagine di recente sviluppo (Park et al. 1999') e consente di ricavare il valore della velocità delle onde di taglio (Vs) in maniera indiretta. I vantaggi di questa tecnica risiedono nella sua velocità di esecuzione e nel fatto che si tratta di una indagine non invasiva (poiché non necessita di perforazioni per l'esecuzione della prova stessa). A seguito della facile trattazione analitica delle onde P, in passato i ricercatori hanno preferito concentrarsi sulle onde di volume, finendo per considerare le onde superficiali solo come un inutile disturbo. Recenti studi (Miller et al. 19996, Xia et al., 1999b7) hanno consentito di creare un modello matematico anche per trattare le onde di Rayleigh, cercando di godere del vantaggio della elevata energia associata a questo tipo di propagazione. L'analisi di questo tipo di onde sismiche attraverso la tecnica MASW viene eseguita mediante la trattazione spettrale del sismogramma, cioè a seguito di una trasformata di Fourier, che restituisce lo spettro del segnale nel dominio delle frequenze. L'osservazione dello spettro consente di notare che le onde superficiali si propagano a velocità variabile a seconda della frequenza dell'onda stessa: questo fenomeno è detto dispersione ed è caratteristico di questo tipo di onde. Poiché generalmente la velocità di propagazione delle onde sismiche aumenta con la profondità, alle frequenze più basse delle onde di superficie (lunghezze d'onda maggiori) corrispondono velocità maggiori, caratteristiche degli strati più profondi, mentre le frequenze più alte (lunghezze d'onda minori) saranno caratterizzate da una velocità di propagazione più bassa, che dipende dalle caratteristiche degli strati più superficiali. La teoria sviluppata suggerisce di caratterizzare tale fenomeno mediante una funzione detta curva di dispersione, che associa ad ogni frequenza una velocità di propagazione dell'onda.

La curva di dispersione, in realtà, può non essere così facile da estrarre, questo perché dipende molto dalla qualità dei dati e da quanto disturbano gli altri segnali presenti nel sismogramma. La curva di dispersione sperimentale deve essere confrontata con una curva di dispersione teorica relativa ad un modello di sottosuolo che dipende dai parametri Vp, Vs, Poisson e densità (profilo 1D). La variazione dei parametri che individuano il modello teorico di sottosuolo porterà all'individuazione di diverse curve di dispersione teoriche che verranno confrontate con quella sperimentale. Il miglior modello teorico di sottosuolo che meglio interpreta i dati è quello che produce la curva teorica che mostra la minima differenza con la curva sperimentale (best fit-minimo misfit). La procedura MASW può sintetizzarsi, quindi, in tre stadi distinti: acquisizione dei dati sperimentali, estrazione della curva di dispersione; inversione della curva di dispersione per ottenere il profilo verticale delle Vs (profilo 1D), che descrive la variazione di Vs con la profondità.

#### Strumentazione utilizzata per tecnica MASW

L'indagine viene condotta mediante l'utilizzo del sismografo 12524P della PASI srl (via Galliari 5/E TORINO) a 24 bit a 24 canali. Il sismografo 24 bit per prospezione sismica si distingue per la piattaforma di acquisizione dati di ultima generazione unita al sistema operativo di uso intuitivo e organizzato in menu navigabili con funzioni differenti in base al tipo di sondaggio sismico selezionato mediante un semplice tocco sul monitor touch screen a colori di grandi dimensioni. Caratteristica principale di questa serie di sismografi è la risoluzione di 24 bit effettivi per ogni singolo canale. L'adozione di tale architettura rende ideale il 12524P per tutte le tipologie di prospezione sismica attiva e passiva. Grazie alla grande versatilità ed alle numerose procedure automatiche di verifica preacquisizione dalla corretta connessione dei geofoni fino all'analisi della rumorosità di fondo del sito investigato, l'acquisizione dati risulta sempre particolarmente agevole ed alla portata di tutti, inoltre è possibile effettuare una prima analisi dei dati acquisiti, anche per singola onda, direttamente in campagna, visualizzando con poche e semplici operazioni i dati relativi alle velocità in ogni singolo punto dell'onda esaminata. Il salvataggio dei dati avviene su hard disk interno a stato solido, per una maggiore sicurezza dei dati, oppure su memoria USB esterna.

Tale strumento, compatto e versatile, è stato progettato e realizzato appositamente per eseguire indagini di prospezione



GEO-TECNICA SRL – società con socio Unico- Zona Industriale, Ponte Valentino 82100 Benevento www.geo-tecnica.it e-mail: informazioniu/geo-tecnica.it

Accettazione nº 1234 del 25.05.2020 Richiedente: Dott, Geol. Irene Savino

Committente: Amministrazione Provinciale di Benevento Progetto: SP 1 Ciardielli-Ricostruzione muro di

contenimento

Località: Perrillo-Comune di Arpaise (BN)

Data esecuzione: 03.06.2020

Rapporto di prova: n° 147 del 17.06.2020

sismica convenzionali (rifrazione, riflessione) e non convenzionali [Re.Mi. (Refraction Microtremor) - M.A.S.W. (Multichannel Analysis of Surface Waves) - S.A.S.W. (Spectral Analysis of Surface Waves)].

Tali indagini risultano particolarmente adatte in aree fortemente antropizzate (aree urbane e industriali) con notevole presenza di rumore di fondo (noise). La sorgente sismica è costituita da una mazza battente (peso di 8kg che batte su una piastra in alluminio). Come trigger/starter è stato utilizzato un geofono verticale a 10 Hz, posto in prossimità della piastra posizionata a diverse distanze dal primo geofono. Le oscillazioni del suolo sono state rilevate da geofoni verticali (Geospace-4.5Hz) posizionati lungo il profilo di indagine

I segnali sismici acquisiti sono stati successivamente elaborati con appositi programmi (Geopsy-Dinver) per la determinazione della sismostratigrafia del sottosuolo.



Il direttore del laboratorio

Dott. Geol. Umberto Lonardo



GEO-TECNICA SRL – società con socio Unico- Zona Industriale. Ponte Valentino 82100 Benevento www.go-tecnica.it e-mail: informazioniu geo-tecnica.it Accettazione nº 1234 del 25.05.2020

Richiedente: Dott. Geol. Irene Savino

**Committente:** Amministrazione Provinciale di Benevento **Progetto:** SP I Ciardielli-Ricostruzione muro d

contenimento

Località: Perrillo-Comune di Arpaise (BN)

Data esecuzione: 03.06.2020

Rapporto di prova: n° 147 del 17.06.2020

#### Premessa

Il sottoscritto dott. geol. Giuseppe Pasquale, iscritto all'Ordine dei Geologi della Regione Campania al n. 2319, veniva incaricato dalla GEO-TECNICA srl con sede alla Z.I. Ponte Valentino-Benevento di eseguire la caratterizzazione sismica nel comune di Arpaise (BN), in Loc. Perrillo, per i lavori relativi a SP1 Ciardielli-Ricostruzione muro di contenimento. La ditta committente è rappresentata dall'Amministrazione Provinciale di Benevento.

Obiettivo della presente relazione geofisica è quello di definire secondo quanto previsto dalla normativa vigente in materia il parametro Vs,eq attraverso la stima delle velocità dei terreni con l'esecuzione di n. 1 prova sismica di tipo MASW mediante la caratterizzazione dinamica del sottosuolo con l'individuazione delle principali unità sismostratigrafiche e delle relative proprietà elastiche.

Di seguito vengono riportati i risultati delle elaborazioni dell'indagine eseguita.

- Prova sismica superficiale MASW: rapporto di prova n. 147 del 17/06/20



GEO-TECNICA SRL – società con socio Unico- Zona Industriale, Ponte Valentino 82100 Benevento www.goo-tecnica.jt e-mail: informazionis/geo-tecnica.jt

Accettazione nº 1234 del 25.05.2020

Richiedente: Dott. Geol. Irene Savino
Committente: Amministrazione Provinciale di Benevento

Progetto: SP 1 Ciardielli-Ricostruzione muro di

contenimento

Località: Perrillo-Comune di Arpaise (BN)

Data esecuzione: 03.06.2020

Rapporto di prova: n° 147 del 17.06.2020

## Acquisizione ed elaborazione dei dati MASW

La geometria (Figura 1) e la modalità di acquisizione dei dati (Tabella 1) sono riportate di seguito:

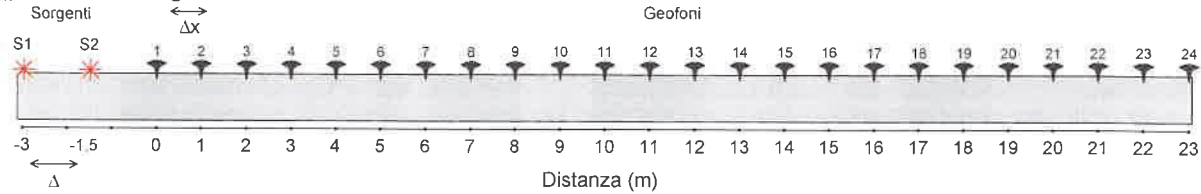


Figura 1: schema della geometria di acquisizione. Tabella 1: caratteristiche di acquisizione dei dati

Numero geofoni	24
Tipo di geofono	Verticale
Frequenza propria dei geofoni (Hz)	4,5
Distanza intergeofonica Δx (m)	1,0
Lunghezza stendimento sismico (m)	23
Frequenza di campionamento (Hz)-MASW	1000
Intervallo di acquisizione (ms)-MASW	0.001
Tipo di starter	Meccanico
Tipo di energizzazione	Meccanico

Durante la fase di acquisizione sono stati eseguiti due shots con diversi offstes (vedi Tabella 2) per valutare la stabilità della curva di dispersione sperimentale apparente, necessaria per verificare l'assenza di variazioni laterali, fondamentale prima di eseguire la fase di inversione 1D.

Tabella 2: schema energizzazione.

Numero di energizzazioni	2*
Scoppio S1	$S_1 = -3,0 \text{ (m)}$
Scoppio S2	$S_2 = -1.5$ (m)

<sup>\*</sup>la posizione dei punti sorgente è riportata in Figura 1.

L'analisi è stata condotta nel dominio delle frequenze attraverso la determinazione dello spettro f-k (Figura 2), piccando con una procedura manuale i massimi all'interno dello spettro. La curva di dispersione presenta la migliore definizione nell'intervallo 4,5-90 Hz.



GEO-TECNICA SRL – società con socio Unico- Zona Industriale, Ponte Valentino 82100 Benevento www.geo-tecnica.it e-mail: informazionis/geo-tecnica.it

Accettazione nº 1234 del 25.05.2020

Richiedente: Dott. Geol. Irene Savino

Committente: Amministrazione Provinciale di Benevento

Progetto: SP 1 Ciardielli-Ricostruzione muro di

contenimento

Località: Perrillo-Comune di Arpaise (BN)

Data esecuzione: 03.06.2020

Rapporto di prova: n° 147 del 17.06.2020

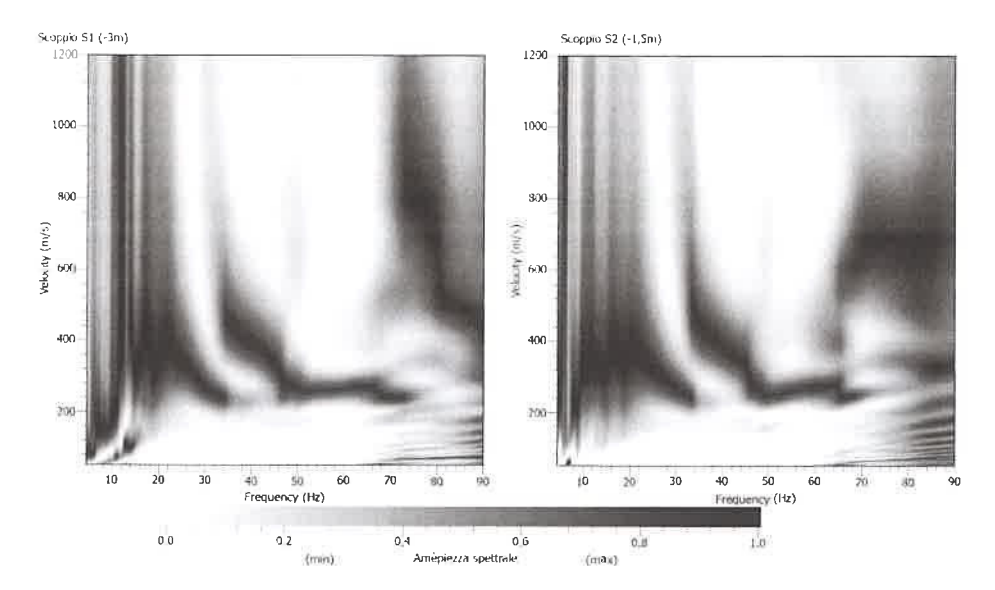


Figura 2: curve di dispersione ottenute per i due scoppi realizzati.

Attraverso una procedura manuale sono stati piccati i massimi (punti in rosso in Figura 3) all'interno dello spettro relativo allo scoppio S2 (in quanto la relativa curva di dispersione risulta essere meglio definita all'interno del range di frequenza considerato) e la curva di dispersione così ottenuta è stata utilizzata successivamente per il processo di inversione.

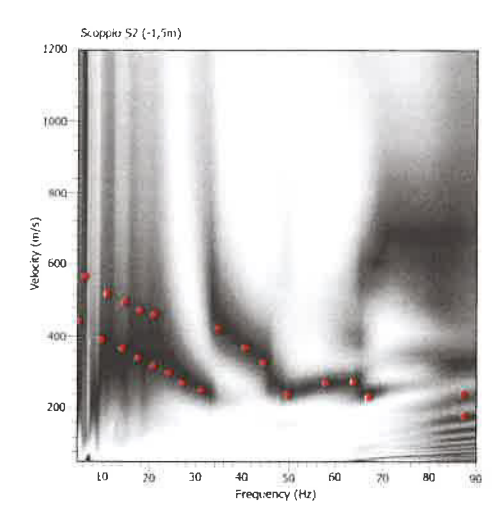


Figura 3. Picking della curva di dispersione relativa allo scoppio S2. I punti in rosso rappresentano i massimi relativi al modo di vibrazione riconosciuto.

La procedura di inversione, effettuata utilizzando il software "Dinver", prevede che



GEO-TECNICA SRL – società con socio Unico- Zona Industriale. Ponte Valentino 82100 Benevento www.geo-tecnica.it e-mail: informazioni@geo-tecnica.it Accettazione nº 1234 del 25.05.2020

Richiedente: Dott. Geol. Irene Savino

Committente: Amministrazione Provinciale di Benevento Progetto: SP 1 Ciardielli-Ricostruzione muro di

contenimento

Località: Perrillo-Comune di Arpaise (BN)

Data esecuzione: 03.06.2020

Rapporto di prova: nº 147 del 17.06,2020

il modello teorico sia costituito da una sequenza di n strati, poggianti su un semispazio, ognuno dei quali caratterizzato da un intervallo dei parametri Vp, Vs, Poisson, densità e spessore. Nell'inversione a ciascun run corrispondono 100 iterazioni, ognuna delle quali costituita da 50 modelli generati in modo random. Per ogni modello viene calcolato il minimo misfit associato alla curva di dispersione teorica confrontata con quella sperimentale. L'errore accettabile deve essere inferiore al 10%, a cui corrisponde un misfit minore di 1. Nella Tabella 3 si riportano i parametri utilizzati nella procedura di inversione.

Tabella 3

Parametri di inversione	
Numero di run	4
Iterazione per ciascun run	100
Modelli generati per ciascun run	5050
Modelli totali generati	20200
Minimo misfit	0,0883

In Figura 4 sono riportate le curve di dispersione teoriche e i corrispondenti modelli di velocità delle onde P ed S. In rosso sono indicati la curva e il modello che presentano il minor misfit, unitamente agli intervalli minimo e massimo di variabilità dei parametri dei modelli.

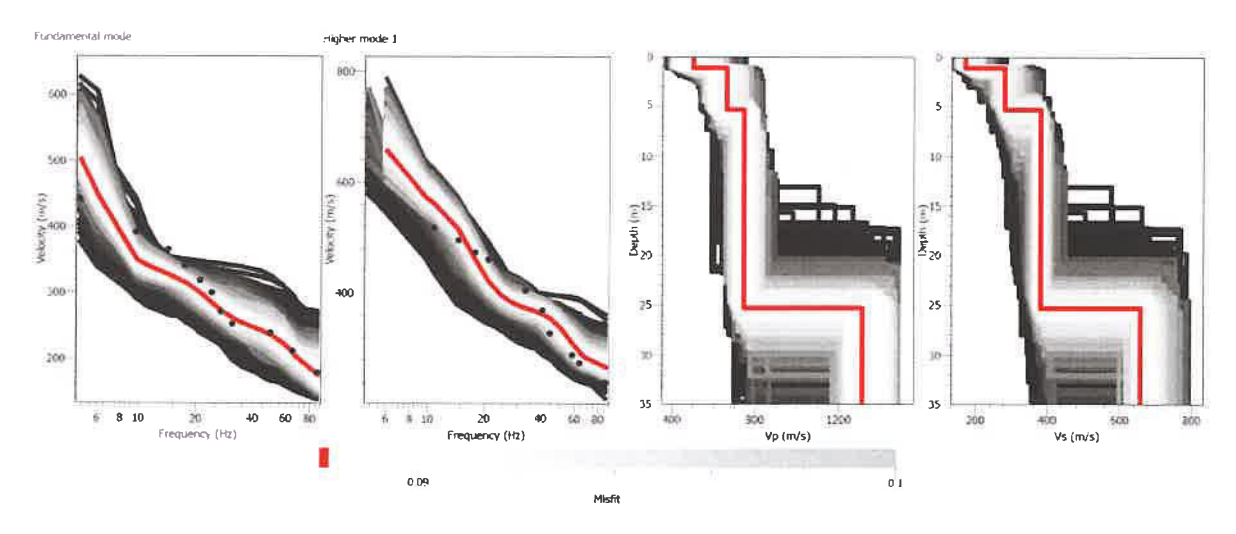


Figura 4: curve di dispersione e modelli di velocità ottenuti dalla procedura d'inversione.



GEO-TECNICA SRL – società con socio Unico- Zona Industriale, Ponte Valentino 82100 Benevento www.geo-tecnica.it e-mail: informazioni@geo-tecnica.it

Accettazione nº 1234 del 25.05.2020

Richiedente: Dott. Geol. Irene Savino

Committente: Amministrazione Provinciale di Benevento Progetto: SP 1 Ciardielli-Ricostruzione muro di

contenimento

Località: Perrillo-Comune di Arpaise (BN)

Data esecuzione: 03.06.2020

Rapporto di prova: n° 147 del 17.06.2020

Inoltre, per ottemperare a quanto previsto dalla vigente normativa sismica (NTC 2018), si riporta il profilo di velocità delle onde S (con minimo misfit) fino alla profondità di 35 m dall'attuale piano campagna.

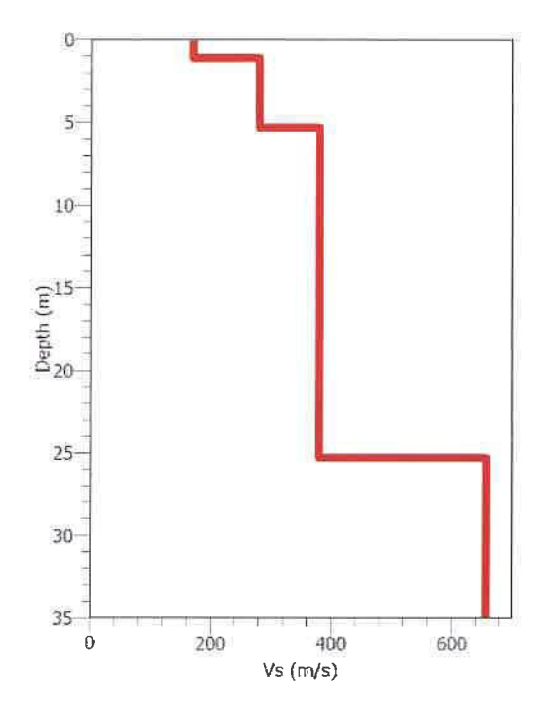


Figura 5: modello di velocità delle onde S (con minimo misfit) utilizzato per il calcolo della Vs,eq.

A partire dalle velocità delle onde di volume, è possibile dedurre, attraverso l'uso di semplici relazioni<sup>8</sup>, i parametri dinamici del sottosuolo riportati in Tabella 4.

Carrara E., Rapolla A., Roberti N. "Le indagini geofisiche per lo studio del sottosuolo: metodi geoelettrici e sismici". Liguori Editore. 1992

<sup>&</sup>lt;sup>8</sup>  $G = V_s^2 * \rho$   $K = \rho * (V_p^2 - \frac{1}{3}V_s^2)$   $E = V_s^2 * \rho \left[ (3V_p^2 - 4V_s^2)/(V_p^2 - V_s^2) \right]$  $V = \left[ \frac{1}{2} (V_p / V_s)^2 - 1 \right] * \left[ (V_p / V_s)^2 - 1 \right]^{-1}$ 



GEO-TECNICA SRL – società con socio Unico- Zona Industriale. Ponte Valentino 82100 Benevento www.geo-tecnica.it e-mail: informazioni@geo-tecnica.it

Accettazione nº 1234 del 25.05.2020 Richiedente: Dott. Geol. Irene Savino

Committente: Amministrazione Provinciale di Benevento Progetto: SP 1 Ciardielli-Ricostruzione muro di

contenimento

Località: Perrillo-Comune di Arpaise (BN)

Data esecuzione: 03.06.2020

Rapporto di prova: nº 147 del 17.06.2020

Tabella 4: parametri dinamici del sottosuolo calcolati fino a 30 m dal p.c.

Strato	Spessore (m)	Vp (m/s)	Vs (m/s)	Densità p (kg/m³)	Poisson v	Modulo di taglio G (kPa)	Modulo di Young E (kPa)	Modulo di incompressibilità K (kPa)
1	1,20	497	169	1500	0,43	42842	122923	313392
2	4,20	659	279	1600	0,39	124546	346438	528789
3	20,00	742	379	1700	0,32	244190	646372	610373
4	4,60	1305	657	1900	0,33	820133	2181953	2142237

Ai sensi del DM 17 gennaio 2018, si riporta il valore della Vs,eq (con H=30m) riferito a diverse profondità rispetto all' attuale piano campagna.

Profondità (m)	Vs,eq (m/s)
0-30	366



GEO-TECNICA SRL – società con socio Unico- Zona Industriale, Ponte Valentino 82100 Benevento www.geo-tecnica,it e-mail: informazioni/i.geo-tecnica,it

Accettazione nº 1234 del 25.05.2020

Richiedente: Dott. Geol. Irene Savino

Committente: Amministrazione Provinciale di Benevento Progetto: SP I Ciardielli-Ricostruzione muro di

contenimento

Località: Perrillo-Comune di Arpaise (BN)

**Data esecuzione**: 03.06.2020

Rapporto di prova: n° 147 del 17.06.2020

#### Conclusioni

L'analisi della dispersione delle onde di Rayleigh a partire da dati di sismica attiva (MASW) ha consentito di determinare il profilo verticale della Vs e, di conseguenza, del parametro Vs,eq risultato essere pari a 366 m/s.

In riferimento alla Nuove Norme Tecniche per le Costruzioni si riportano le categorie di sottosuolo di riferimento distinte in funzione del parametro Vs,eq\* (Tabella 5).

Tabella 5: Categorie di sottosuolo (Tabella 3.2.II NTC 2018)

Categoria	Caratteristiche della superficie topografica
A	Ammassi rocciosi affioranti o terreni molto rigidi caratterizzati da valori di velocità delle onde di taglio superiori a 800 m/s, eventualmente comprendenti in superficie terreni di caratteristiche meccaniche più scadenti con spessore massimo pari a 3 m.
В	Rocce tenere e depositi di terreni a grana grossa molto addensati o terreni a grana fina molto consistenti, caratterizzati da un miglioramento delle proprietà meccaniche con la profondità e da valori di velocità equivalente compresi tra 300 m/s e 800 m/s.
C	Depositi di terreni a grana grossa mediamente addensati o terreni a grana fina mediamente consistenti con profondità del substrato superiori a 30 m, caratterizzati da un miglioramento delle proprietà meccaniche con la profondità e da valori di velocità equivalente compresi tra 180 m/s e 360 m/s.
D	Depositi di terreni a grana grossa scarsamente addensati o di terreni a grana fina scarsamente consistenti, con profondità del substrato superiori a 30 m. caratterizzati da un miglioramento del le proprietà meccaniche con la profondità e da valori di velocità equivalente compresi tra 100 e 180 m/s.
E	Terreni con caratteristiche e valori di velocità equivalente riconducibili a quelle definite per le catego rie C o D, con profondità del substrato non superiore a 30 m.

<sup>\*</sup> La classificazione del terreno è di pertinenza dell'utente che ne deve valutare la tipologia sulla base della normativa vigente (NTC 2018) tenendo conto della locale successione stratigrafica. Si ricorda che per depositi con profondità H del substrato superiore a 30 m, la velocità equivalente delle onde di taglio Vs,eq è definita dal parametro Vs,30, ottenuto ponendo H=30 m nella espressione [3.2.1] del § 3.2.2 NTC 2018 e considerando le proprietà degli strati di terreno fino a tale profondità.



GEO-TECNICA SRL – società con socio Unico- Zona Industriale, Ponte Valentino 82100 Benevento www.geo-tecnica.it e-mail: informazioniu geo-tecnica.it

Accettazione nº 1234 del 25.05.2020 Richiedente: Dott. Geol. Irene Savino

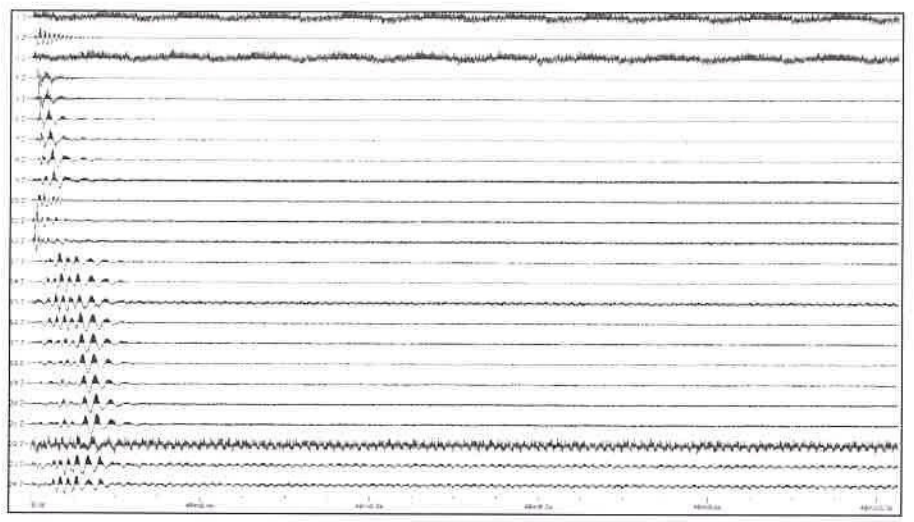
Committente: Amministrazione Provinciale di Benevento Progetto: SP 1 Ciardielli-Ricostruzione muro di

contenimento

Località: Perrillo-Comune di Arpaise (BN)

Data esecuzione: 03.06.2020

Rapporto di prova: nº 147 del 17.06.2020



Tracce MASW



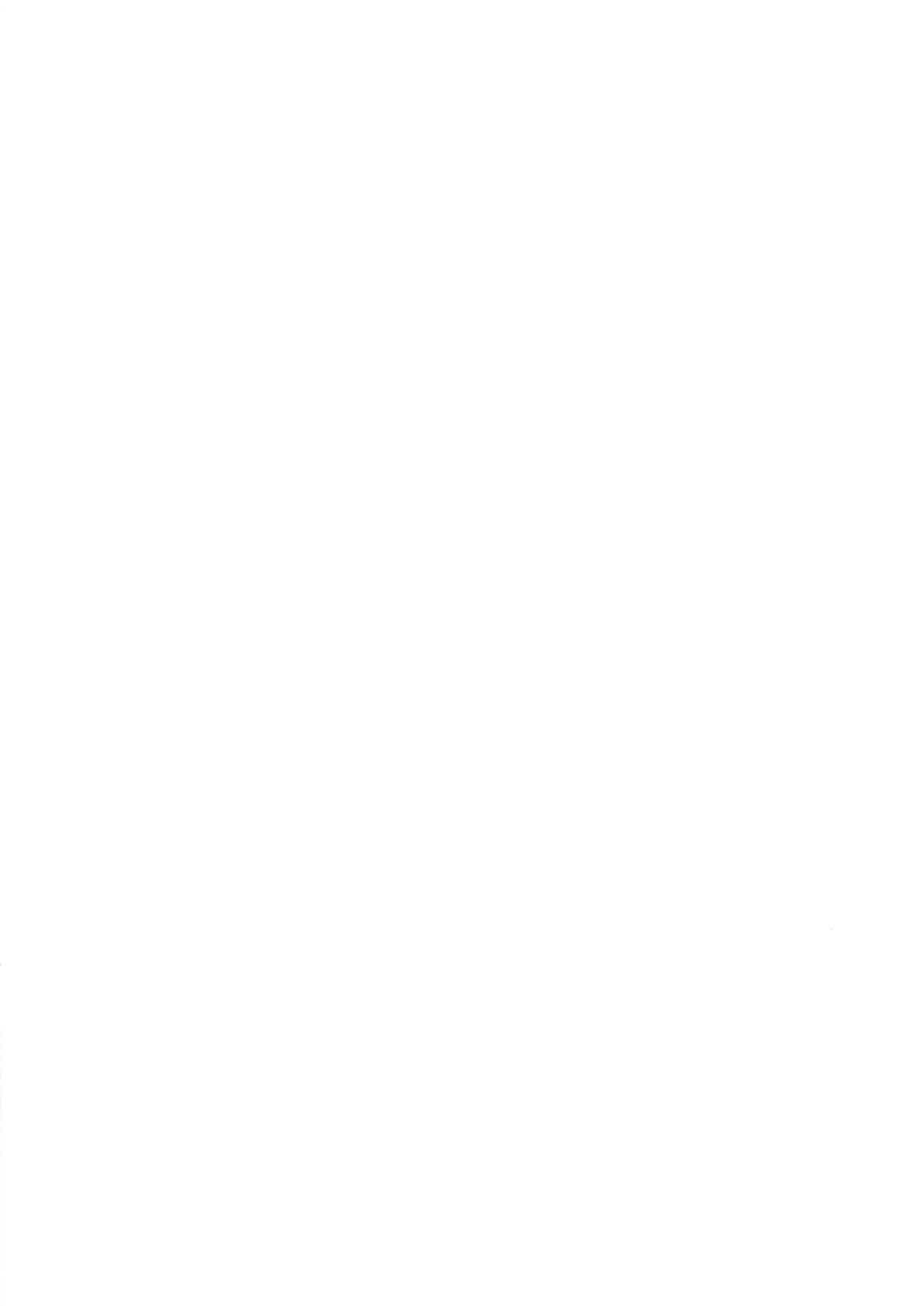
Il direttore del laboratorio Dott. Geol. Umberto Lonardo

Lo sperimentatore incaricato

Dott. Geoi. Giuseppe Pasquale

Z.I. Ponte Valentino - 82100 BENEVENTO
www.geo-tecnica.it

**P**ag. 7 di 7







Accettazione Prove Terre n. 216 del 01 Giugno 2020

Certificati di Prova da nº 408 a nº 418.

Spett.le
DOTT.SSA GEOL. IRENE SAVINO

Committente: AMMINISTRAZIONE PROVINCIALE

# -S.P. N°1 "CIARDELLI" RICOSTRUZIONE MURO DI CONTENIMENTO-

Loc: Perrillo

Comune di Arpaise (BN)

LABORATORIO PROVE SU TERRE E ROCCE





Questo LABORATORIO PROVE SU TERRE e ROCCE, attrezzato con apparecchiature normalizzate ASTM÷AASHTO, ha esaminato i campioni indisturbati di terreno prelevati in data 28-29/05/2020 e 01/06/2020 dai nostri tecnici settore geognostica nel sito di cui i lavori ne sono oggetto.

Su di essi sono state eseguite, come richiesto, complessivamente:

- n° 3 Apertura del Campione Indisturbato e relativa Identificazione Visiva;
- n° 3 Determinazione delle Costanti Fisiche Generali;
- n° 3 Analisi Granulometrica con vagli ASTM e Densitometria;
- nº 3 Prova di Taglio Diretto drenato consolidato;
- n° 2 Prova di Compressione Edometrica con 7 gradini di carico e 3 di scarico.

Gli esiti sono riportati nei Certificati di prova allegati, da nº 408 a nº 418.

Tanto dovevasi.

Benevento, 24 Giugno 2020.

Il Direttore del Laboratorio:

Dott. Geol. Umberto Lonardo





## APERTURA CAMPIONE - IDENTIFICAZIONE VISIVA (ASTM D 2488) E RIEPILOGO PROVE ESEGUITE

ACCETTAZIONE nº 216

del 1-giu-2020

pag. 1/1

			DATI GE	NERALI			el 11/01/2018
Committente:	Amministrazion	ne Provinciale	Progetto: S.P. nº	° 1 " Ciardelli" Ricostri	uzione muro di c	ontenimento	
Richiedente:	Dott.ssa Geol.	Irene Savino	Località: Perrillo	o_Arpaise (BN)			
Identificativo ca			DATI DEL C				
Data ricevimen		81C1 Indisturbato 28-mag-2020		o del: 28-mag-20		Profondità, m:	2,00-2,50
Data reconnect	tto campione.			pertura campione:	3-giu-2020	Prelevato da:	Geo-Tecnica
		APERTURA CA	MPIONE - IDENTIF	ICAZIONE VISIVA (A	STM D 2488)		
		Grani	FINI				
		(Ø max e min - Forma - Distribuzione %)	Ø <4,75 mm				
		Umidità	MEDIA				
	_45	Consistenza	2,1 kg/cm <sup>2</sup> (poc	ket penetrometer)*			
		Colore da tavola di Munsell	HUE 2,5Y - 4/3	olive brown			
		Colore	MARRONE VARI	IEGATO	A		
		Denominazione	LIMO ARGILLOS	30			
10		OSSERVAZIONI					
1			* Valore medio su .	10 determinazioni			
		con: 50+25 %Pass.	oso; 25+15	%Pass.		debolmenteoso; 15+5 % Pass.	
			RIEPILOGO PRO	OVE ESEGUITE			
		COSTANTI DISIOLE CENEDAL				CERTIFICATI N.	
		- COSTANTI FISICHE GENERAL	I			408	
		- LIMITI di ATTERBERG					
		- ANALISI GRANULOMETRICA o	on SOLI VAGLI AST	M			
	><	- ANALISI GRANULOMETRICA d	on VAGLI ASTM e D	ENSITOMETRIA		409	
		- TAGLIO DIRETTO, CONSOLID					
						410	
8		- TAGLIO DIRETTO + TAGLIO R	SSIDUO				
		- PROVA EDOMETRICA					
		- PROVA EDOMETRICA + PROV	A DI PERMEABILITA	A'			
		- PROVA ad ESPANSIONE LATE	RALE LIBERA				
		- PROVA di PERMEABILITA' a C	ARICO COSTANTE				
		- PROVA di PERMEABILITA' a C	ARICO VARIABILE				
j		- PROVA TRIASSIALE CONSOLI	DATA DRENATA (CD	))			
1		- PROVA TRIASSIALE CONSOLI	OATA NON DRENAT	A (CU)			
		- PROVA TRIASSIALE NON CON	SOLIDATA NON DRI	ENATA (UU)			
		- DETERMINAZIONE della DENS	ITA' RELATIVA				
		- DETERMINAZIONE del CONTE	NUTO di SOSTANZA	ORGANICA			
Ī		- DETERMINAZIONE del CONTE	NUTO di SOLFATI				
i		- DETERMINAZIONE del CONTE	NUTO di CARBONAT	ľI			
İ		- PROVA di COMPATTAZIONE PI	ROCTOR O - TE	0	.3		
	\$0555555555	- PROVA CBR	State Bonne	W C			

Il Direttore del Laboratorio:

Dott. Geol. Umberto Lonardo





#### **DETERMINAZIONE** delle COSTANTI FISICHE GENERALI

(ASTM D 2216 - BS 1377 T15 - ASTM D 854)

ACCETTAZIONE n° 216

Dott Geol. Umberto Lonardo

del 1-glu-2020

**CERTIFICATI N. 408** 

del 24-giu-2020

	DATI GEN	VERALI		Mod. G.T - 7.5.1,1.c/d/e
Committente: Amministrazione Provinciale	Progetto:	S.P. n° 1 " Ciardel	li" Ricostruzione mur	o di contenimento
Richiedente: Dott.ssa Geol. Irene Savino	Località:	Perrillo _ Arpaise	(BN)	
	DATI DEL C			
Identificativo campione: S1C1 Indisturbato	Prelievo del:	28-mag-20	All the second s	Profondità, m: 2,00-2,50
Data ricevimento campione: 28-mag-2020	Data apertura	_	3-giu-2020	Data di prova: 3-giu-2020
				2 to a provide o gra 2020
CONTENU	TO D'ACQUA NATU	RALE (Wa) (ASTN	I D 2216)	
DETERMINAZIONE, N	1	2	3	
Contenitore, n	P1	2	С	
Massa Contenitore, g	20,87	15,83	15,99	
Massa Cont + Terra Umida, g	65,79	55,28	62,99	
Massa Cont + Terra Secca, g	58,11	48,50	54,89	
CONTENUTO D'ACQUA NATURALE (Wa), %	20,62%	20,75%	20,82%	20,73%
		20,7070	20,0276	alo, to a
PESO d	ii volume natur	ALE (γ <sub>z</sub> ) (BS 1377	7 T15)	
DETI	ERMINAZIONE, N	1	2	
	Volumometro, n	В		
Manag	Volumometro, n		4 E0 E1	
	olumometro, cm <sup>3</sup>	55,13	58,51	
Massa Volumometro	· I	133,62	40,22	
		133,02	136,85	Martin Commenced
PESO di VOLUME NATURAI	LE (γ <sub>n</sub> ), kN/m <sup>3</sup>	19,52	19,48	19,50
	PE	so di volume s	ECCO (γ <sub>d</sub> ), kN/m <sup>3</sup>	16,15
PESC	O SPECIFICO DEI G	RANI (ASTM D 8	54)	
DETE	ERMINAZIONE, N		2	
Vaglio ASTM	#10, % Passante	100	100	
	Picnometro, n	408	357	
Massa C	ampione Secco, g	15,08	15,05	Temperatura, °C
Massa Picnometro + Cam		90,01	90,39	23
	ometro + Acqua, g	80,58	80,98	
	e di Correzione, k	0,9976		
PESO SPECIFICO dei GRANI :	a 20°C, kN/m <sup>3</sup>	26,63	26,62	26,62
Carlotte Control Contr				LANGE MARCING
	GRANDEZZI	E INDICI		
• INDICE dei VU	OTI (e°)		0,649	
• POROSITA' (n),	, %		39,34	
	URAZIONE (S,)		85,10%	
• GRADO di SAT		_	20.00	
	ME SATURO, (γ <sub>sat</sub> ),	kN/m³	20,08	
	ME SATURO, (γ <sub>sat</sub> ),	kN/m³	20,08	





# ANALISI GRANULOMETRICA con VAGLI ASTM e DENSITOMETRIA (ASTM D 422)

ACCETTAZIONE nº 216

del 1-giu-2020

CERTIFICATI N. 409

del 24-glu-2020

WWW.OOM.OOM.OOM.OOM.OOM.OOM.OOM.OOM.OOM.	Mod. G.T- 7.5.1.1.b
DATI GENERALI  Dimmittente: Amministrazione Provinciale Progetto: S.P. nº 1 " Ciardelli" Ricostruzione muro di contenimento	
chiedente: Dott.ssa Geol. Irene Savino Località: Perrillo Arpaise (BN)	
DATI DEL CAMPIONE	QUINTER STORES
entificativo campione: S1C1 Indisturbato Prelievo del: 28-mag-20 Profondità,	m: 2,00-2,50
ta ricevimento campione: 28-mag-20 Data apertura campione: 03-giu-20 Data di pro	ova: 05-giu-20
ANALISI MECCANICA del TRATTENUTO al VAGLIO ASTM # 10 (Ø=2	2,0 mm)
DETERMINAZIONI DI PROVA VAGLI ASTM 3" 2" 1" 3/4" 3/8"	#4 # 10
Apertura in mm 75,0 50,0 25,0 19,0 9,5	4,75 2,00
Massa Contenitore, g 106,14 Ritenuto, g 0,00 0,00 0,00 0,00 0,00	0,00 0,19
Massa Cont. + Campione secco, g 558,70 % Ritenuto 0,0 0,0 0,0 0,0 0,0 0,0	
Massa Campione secco, g 452,56 % Passante 100,0 100,0 100,0 100,0 100,0	
100,0 100,0 100,0	100,0 100,0
ANALISI DENSITOMETRICA e MECCANICA del PASSANTE al VAGLIO ASTM # 10 (Ø=2,0 mm)	
ANALISI DENSITOMETRICA	
	240 T
Marrie Cart L Carrellan as	240 1440
7,555 2,555	1,0110 1,009
7	4 april 1
The second secon	1,0071 1,0051
Marce Velocity Assure 700 of 1	181,85 185,85
Coeff Viscogità dinamica nel liquida e (19 Principale)	0,0029 0,0012
Coeff. Viscosita dinamica nel liquido a T <sup>a</sup> , Poise 0,0094 % Passante 32,1 29,0 28,0 24,9 20,7	19,7 15,5
ANALISI MECCANICA	
VAGLI ASTM # 20 # 40 # 80 # 200 PAN Fattore riduzione	
Apertura in mm 0,850 0,425 0,175 0,075 massa campione, FR	1,000
massa campione, rx	2,000
Passante, g 49,94 49,79 49,53 47,84 = Riscontro, g	0,00
% Passante 99,6 99,3 98,8 95,4 =	
% Passante 99,6 99,3 98,8 95,4 =	
## Passante   99,6   99,3   98,8   95,4   =	
32,0 30,0 30,7 2	
ESITI GHIAIE/PIETRISCO % 0,0 SABBIA % 4,5 SILT o LIMI % 78,1 ARGILLE E COLLOID	DI % 17,
Company   Comp	DI % 17,
ESITI GHIAIE/PIETRISCO % 0,0 SABBIA % 4,5 SILT o LIMI % 78,1 ARGILLE E COLLOII  Grossa Media Fine Grossa Fine 0,0 0,0 0,0 0,0 0,7 3,9 DENOMINAZIONE: LIMO ARGII  ELABORAZIONE GRAFICA : Curva Granulometrica	DI % 17,
ESITI GHIAIE/PIETRISCO % 0,0 SABBIA % 4,5 SILT o LIMI % 78,1 ARGILLE E COLLOII  Grossa Media Fine Grossa Fine 0,0 0,0 0,0 0,0 0,7 3,9 DENOMINAZIONE: LIMO ARGII  ELABORAZIONE GRAFICA : Carva Granulometrica  REGILLE e OLLOIII SABBIA GHIAIA o PIETRISCO	DI % 17,
Comparison	DI % 17,
ESITI GHIAIE/PIETRISCO % 0,0 SABBIA % 4,5 SILT o LIMI % 78,1 ARGILLE E COLLOII  Grossa Media Fine Grossa Fine 0,0 0,0 0,0 0,0 0,7 3,9 DENOMINAZIONE: LIMO ARGII  ELABORAZIONE GRAFICA: Curve Granulometrica  RGILLE e OLLOIDI 0,002 SILT o LIMI SABBIA GHIAIA o PIETRISCO  98 SABBIA GHIAIA o PIETRISCO	DI % 17,
ESITI GHIAIE/PIETRISCO % 0,0 SABBIA % 4,5 SILT o LIMI % 78,1 ARGILLE E COLLOII  Grossa Media Fine Grossa Fine 0,0 0,0 0,0 0,0 0,7 3,9 DENOMINAZIONE: LIMO ARGII  ELABORAZIONE GRAFICA: Curve Granulometrica  RGILLE e OLLOIDI 0,002 SILT o LIMI SABBIA GHIAIA o PIETRISCO  98 SABBIA GHIAIA o PIETRISCO	DI % 17,
ESITI GHIAIE/PIETRISCO % 0,0 SABBIA % 4,5 SILT o LIMI % 78,1 ARGILLE E COLLOII  Grossa Media Fine Grossa Fine 0,0 0,0 0,0 0,0 0,7 3,9 DENOMINAZIONE: LIMO ARGILLE E  ELABORAZIONE GRAFICA : Curve Granulometrica  RGILLE e OLLOIDI 0,002 GHIAIA o PIETRISCO  0,06 2,00 X X X X	DI % 17,
ESITI GHIAIE/PIETRISCO % 0,0 SABBIA % 4,5 SILT o LIMI % 78,1 ARGILLE E COLLOII  Grossa Media Fine Grossa Fine 0,0 0,0 0,0 0,0 0,7 3,9 DENOMINAZIONE: LIMO ARGII  ELABORAZIONE GRAFICA : Curva Granulometrica  RGILLE e OLLOII 0,002  GRAFICA : Curva Granulometrica  GHIAIA o PIETRISCO  A SABBIA GHIAIA o PIETRISCO	DI % 17,
ESITI GHIAIE/PIETRISCO % 0,0 SABBIA % 4,5 SILT o LIMI % 78,1 ARGILLE E COLLOII  Grossa Media Fine Grossa Fine 0,0 0,0 0,0 0,0 0,7 3,9 DENOMINAZIONE: LIMO ARGII  ELABORAZIONE GRAFICA : Curva Granulometrica  RGILLE e OLLOII 0,002  GRAFICA : Curva Granulometrica  GHIAIA o PIETRISCO  A SABBIA GHIAIA o PIETRISCO	DI % 17,
ESITI GHIAIE/PIETRISCO % 0,0 SABBIA % 4,5 SILT o LIMI % 78,1 ARGILLE E COLLOII  Grossa Media Fine Grossa Fine 0,0 0,0 0,0 0,0 0,7 3,9 DENOMINAZIONE: LIMO ARGII  ELABORAZIONE GRAFICA - Curva Granulometrica  RGILLE e OLLOIDI 0,002 GHIAIA o PIETRISCO 0,06 2,00 X X X	DI % 17,
ESITI GHIAIE/PIETRISCO % 0,0 SABBIA % 4,5 SILT o LIMI % 78,1 ARGILLE E COLLOII  Grossa Media Fine Grossa Fine 0,0 0,0 0,0 0,0 0,7 3,9 DENOMINAZIONE: LIMO ARGII  ELABORAZIONE GRAFICA - Curva Granulometrica  RGILLE e OLLOIDI 0,002 GHIAIA o PIETRISCO 0,06 2,00 X X X	DI % 17,
ESITI GHIAIE/PIETRISCO % 0,0 SABBIA % 4,5 SILT o LIMI % 78,1 ARGILLE E COLLOII  Grossa Media Fine Grossa Fine 0,0 0,0 0,0 0,0 0,7 3,9 DENOMINAZIONE: LIMO ARGII  ELABORAZIONE GRAFICA - Curva Granulometrica  RGILLE e OLLOIDI 0,002 GHIAIA o PIETRISCO 0,06 2,00 X X X	DI % 17,
ESITI GHIAIE/PIETRISCO % 0,0 SABBIA % 4,5 SILT o LIMI % 78,1 ARGILLE E COLLOII  Grossa Media Fine Grossa Fine 0,0 0,0 0,0 0,0 0,7 3,9 DENOMINAZIONE: LIMO ARGII  ELABORAZIONE GRAFICA : Curva Granulometrica  RGILLE e OLLOII 0,002  GRAFICA : Curva Granulometrica  GHIAIA o PIETRISCO  A SABBIA GHIAIA o PIETRISCO	DI % 17,
ESITI GHIAIE/PIETRISCO % 0,0 SABBIA % 4,5 SILT o LIMI % 78,1 ARGILLE E COLLOII  Grossa Media Fine Grossa Fine 0,0 0,0 0,0 0,0 0,7 3,9 DENOMINAZIONE: LIMO ARGII  ELABORAZIONE GRAFICA : Curva Granulometrica  RGILLE e OLLOII 0,002  GRAFICA : Curva Granulometrica  GHIAIA o PIETRISCO  A SABBIA GHIAIA o PIETRISCO	DI % 17, LLOSO  60,0 100 90 80 70 60 50 40
ESITI GHIAIE/PIETRISCO % 0,0 SABBIA % 4,5 SILT o LIMI % 78,1 ARGILLE E COLLOII  Grossa Media Fine Grossa Fine 0,0 0,0 0,0 0,0 0,7 3,9 DENOMINAZIONE: LIMO ARGII  ELABORAZIONE GRAFICA : Curva Granulometrica  RGILLE e OLLOII 0,002  GRAFICA : Curva Granulometrica  GHIAIA o PIETRISCO  A SABBIA GHIAIA o PIETRISCO	DI % 17,
ESITI GHIAIE/PIETRISCO % 0,0 SABBIA % 4,5 SILT o LIMI % 78,1 ARGILLE E COLLOII  Grossa Media Fine Grossa Fine 0,0 0,0 0,0 0,0 0,7 3,9 DENOMINAZIONE: LIMO ARGII  ELABORAZIONE GRAFICA : Curva Granulometrica  RGILLE e OLLOIII 0,002  GRAFICA : Curva Granulometrica  GHIAIA o PIETRISCO  386 398	DI % 17, LLOSO  60,0 100 90 80 70 60 50 40
ESITI  GHIAIE/PIETRISCO %  O,O  Grossa Media Fine  O,O  O,O  O,O  O,O  O,O  O,O  O,O  O	DI % 17, LLOSO  60,0 100 90 80 70 60 50 40 30 20
ESITI  GHIAIE/FIETRISCO %  O,O  Grossa Media Fine  O,O  O,7  O,7  O,7  O,0  DENOMINAZIONE:  LIMO ARGILLE E  COLLOIL  GRILLE e  O,0  O,0  O,0  O,0  O,0  O,0  O,0  O,	DI % 17,
ESITI GHIAIE/PIETRISCO % 0,0 SABBIA % 4,5 SILT o LIMI % 78,1 ARGILLE E COLLOIR  Grossa Media Fine Grossa Fine  0,0 0,0 0,0 0,0 0,7 3,9 DENOMINAZIONE: LIMO ARGII  ELABORAZIONE GRAFICA - Curve Granulometrica  RGILLE e OLLOIDI 0,002 SILT o LIMI SABBIA GHIAIA o PIETRISCO  388	DI % 17, LLOSO  60.0 100  90  80  70  60  40  30  20  10  0
ESITI  GHIAIE/PIETRISCO %  O,O  Grossa Media Fine  O,O  O,O  O,O  O,O  O,O  O,O  O,O  O	DI % 17, LLOSO  60.0 100  90  80  70  60  40  30  20  10  0
ESITI  GHIAIE/PIETRISCO %  O,O  Grossa Media Fine  O,O  O,O  O,O  O,O  O,O  O,O  O,O  O	DI % 17, LLOSO  60.0 100  90  80  70  60  40  30  20  10  0
ESITI GHIAIE/PIETRISCO % 0,0 SABBIA % 4,5 SILT o LIMI % 78,1 ARGILLE E COLLOIR GROSSA Media Fine 0,0 0,0 0,0 0,0 0,7 3,9 DENOMINAZIONE: LIMO ARGII  ELABORAZIONE GRAFICA · Curve Granulometrica  RGILLE e OLLOIDI 0,002 SILT o LIMI SABBIA GHIAIA o PIETRISCO  SELABORAZIONE GRAFICA · Curve Granulometrica  RGILLE e OLLOIDI 0,002 SILT o LIMI SABBIA GHIAIA o PIETRISCO	DI % 17, LLOSO  60.0 100  90  80  70  60  40  30  20  10  0
ESITI GHIAIE/PIETRISCO % 0,0 SABBIA % 4,5 SILT OLIMI % 78,1 ARGILLE E COLLOII  Grossa Media Fine 0,0 0,7 3,9 DENOMINAZIONE: LIMO ARGILLE E COLLOII  ELABORAZIONE GRAFICA - CRIVE Granulometrica  REGILLE e SILT OLIMI SABBIA GHIAIA O PIETRISCO  2,00 GHIAIA O PIETRISCO  3,00 GHIAIA O PIETRISCO  4,5 SABBIA 1,000 10,000 Aperture Vogit, mm	DI % 17, LLOSO  60.0 100  90  80  70  60  40  30  20  10  0
BEITI GHIALE/PIETRISCO % 0,0 SABBIA % 4,5 SILT o LIMI % 78,1 ARGILLE E COLLOII  Grossa Media Fine 0,0 0,7 3,9 DENOMINAZIONE: LIMO ARGILLE E COLLOII  ELABORAZIONE GRAFICA - Chivre Granulometrica  REGILLE e COLLOII  SABBIA GHIALA O PIETRISCO  3,00 GHIALA O PIETRISCO  3,00 GHIALA O PIETRISCO  3,00 GHIALA O PIETRISCO  3,00 GHIALA O PIETRISCO  4,5 SABBIA GHIALA O PIETRISCO  1,000 10,000 Aperture Vogit, mm	DI % 17, LLOSO  60.0 100  90  80  70  60  40  30  20  10  0
ESITI GHIAIE/PIETRISCO % O,O SABBIA % 4,5 SILT o LIMI % 78,1 ARGILLE E COLLOII  Grossa Media Fine O,O O,O O,O O,O O,O O,O O,O O,O O,O O,	DI % 17, LLOSO  60.0 100 90 80 70 60 40 30 20 100 100,000



Il Direttore del Laboratorio:

Dott. Geol. Umberto Lonardo

Ministero delle Infrastrutture e dei Trasporti Concessione nº 99 del 19 Marzo 2018 D.P.R. n°380/2001-art.59 Laboratorio Prove su Terre e Rocce



#### PROVA di TAGLIO DIRETTO (ASTM D 3080)

ACCETTAZIONE nº 216

del 01-giu-20

CERTIFICATI N. 410

del 24-mm-20

	01-giu-2								_	Mod. G.T-	pag. 1
			No. of the Part of		STATE ALTERNATION						
							uzione mı	ıro di co	ntenimente	0	
			DATI D	EL CAMP	IONE						
Indisturb	ato		Prelievo d	el:	28-mag-2	:0			Pro	fondità, m:	2,00-2,
28-mag-2	20		Data aper	tura camp	ione:	03-giu-20			Data is	nizio prova:	04-giu-
SI	Cons	solidata: Sl		ATTREZZ	ATURA:	Controls -	Cella Din	amometri	ca REP TCI	E 350 Matr.	N° 1223
								Fatt	ore di conve	ersione:	1
MPIONE I	N PROVA			Personal Property Control	3		SC	TOLA DI	TAGLIO		
		LAT/_3	26.62		Lata Front	alla		Mary Washington	- Pandavaniana	11	
Y					1						3,05
F15 F15 F15	Mark Const.			District Co.	T Carocatan V	in cagao, i	iaiyiiqi.	0,007	Scalone r	ustena,cm	30,24
Managar				Mark					CORRE		
									3		
U. J.		2020				-					
kN/m°				-							Δ
kN/m³					-	45					0,47
				1		-					0,39
cm			MANAGES AND ADDRESS OF THE PARTY OF THE PART			0,020	-0,02	1		0,003	-0,04
			Paramatan and		1 2,201	RESIDEN					
10000000	10000000	120333333				10/10/10		SFOR	O NORMA	LE, kN/m":	50
20			400			141 (1)					0
								270	300	330	360
				_							
3,0	10,3	20,4	30,2	32,4	33,2	33,0	32,1				
								SFORZ	O NORMAI	LE, kN/m <sup>2</sup> :	100
				Altezza	Finale, cm	3,008			Consolio	dazione, %	1,
30	60	90	120	150	180	210	240	270	300	330	360
	0,4	0,6	0,8	1,1	1,3	1,5	1,7	1,9			
			169	191	200	201	200	195			
				0,42	0,42	0,42	0,41	0,41			
5,2	23,7	37,0	46,0	52,0	54,5	54,8	54,5	53,1			
						diam'n'		SFORZ	O NORMAI	LE, kN/m <sup>2</sup> :	200
				Altezza	Finale, cm	2,978			Consolio	lazione %	2,
30	60	90	120	150	180	210	240	270	300		360
0,2	0,4	0,6	0,8	1,1	1,3	1,5	1,7	1,9	2,1	2,3	200
25	117	194	254	300	319	329	333	334	332	328	
0,72	0,72	0,72	0,72	0,72	0,72	0,72	0,72	0,72	0,71	0,71	
6,8	31,9	52,8	69,2	81,7	86,9	89,6	90,7	91,0	90,4	89,3	
					PIEDILOGO						
					Ida ibode			***			
	104										
		Pro	vini	Nor	mali	đi Ti	aglio				
			3	20	0,0	91	.,0				
		-	2	10	0,0	54	,8				
				E4	0.0	2.0					
			ı	50	0,0	33	3,2	15			
	### Annotation of the image of	Indisturbato 28-mag-20  SI Constitution  In I I I I I I I I I I I I I I I I I	Indisturbato   28-mag-20   SI	Projection   Projection   Projection	Projectic   Projectic   Projectic   Projectic   Perrillo	Consolidata: SI	Project   Proj	Projectic   Proj	Projection   Projection   S. P. n. * 1 * Ciardelli* Ricostruzione muro di controla	DATI GENERAL:   Iniciale   Progetto:   S.P. n° 1 " Ciardelli" Ricostruzione muro di contenimento   Località:   Perrillo   Arpaise (BN)	Projectic   Progettic   Progettic   S.P. n. 1 n. Clardelli* Ricostruzione muro di contenimento   Localitat: Perrillo_Arpaise (BN)





#### PROVA di TAGLIO DIRETTO (ASTM D 3080)

ACCETTAZIONE nº 216

del 01-glu-20

CERTIFICATI N. 410

del 24-glu-20

Dott.ssa Geol. Michela Di Franza

pag. 2/2

Mod. G.T- 7.5.1.2.b C DATI GENERALI Committente: Amministrazione Provinciale S.P. nº 1 " Ciardelli" Ricostruzione muro di contenimento Richiedente: Dott.ssa Geol, Irene Savino Località: Perrillo \_ Arpaise (BN) DATI DEL CAMPIONE Identificativo campione: 81C1 Indisturbato Prelievo del: 28-mag-20 Profondità, m: Data ricevimento campione: 28-mag-20 Data apertura campione: 03-giu-20 Data inizio prova: 04-giu-20 ELABORAZIONE GRAFICA Diagramma Sforzi di Taglio - Deformazioni 140,0 120,0 Sforzi di Taglio, kN/m2 100,0 80,0 60,0 40,0 20,0 0,0 0,0 0,5 1,0 2.0 4,0 Deformazioni, mm Diagramma Sforzi Normali - Sforzi di Taglio 250,0 Sforzi di Taglio, kN/m2 200,0 150,0 100,0 50,0 0,0 0,0 50,0 100,0 150,0 200,0 250,0 Sforzi Normali, kN/m2





## APERTURA CAMPIONE - IDENTIFICAZIONE VISIVA (ASTM D 2488) E RIEPILOGO PROVE ESEGUITE

ACCETTAZIONE n° 216

del 1-glu-2020

pag. 1/1

			DATI GENERALI		tev. 1 del 11/01/20
Committente:	Amministrazio	ne Provinciale	Progetto: S.P. nº 1 " Ciardelli" Ric	costruzione muro di conteni	imento
Richiedente:	Dott.ssa Geol.	Irene Savino	Località: Perrillo _ Arpaise (BN)		
			DATI DEL CAMPIONE		
Identificativo c		81C2 Indisturbato	Prelievo del: 29-mag	:-20	Profondità, m: 5,50-6,00
Data ricevimer	ito campione:	29-mag-2020	Data apertura campion	ie: 4-giu-2020	Prelevato da: Geo-Tecnic
		APERTURA CA	MPIONE - IDENTIFICAZIONE VISIV	'A (ASTM D 2488)	
		Grani	FINI		
		(Ø max e min - Forma - Distribuzione %)	Ø <2,00 mm		
	70	Umidità:	MEDIA		
		Consistenza	4,3 kg/cm <sup>2</sup> (pocket penetromet	er)*	
		Colore da tavola di Munsell:	HUE 2,5Y - 2,5/1 black		
		Colore:	GRIGIO		
	1	Denominazione:	LIMO ARGILLOSO		
		OSSERVAZIONI:			
1			* Valore medio su 10 determinazion	i	
		con: 50+25 %Pass.	oso; 25+15 %Pass.	debol	menteoso: 15+5 % Pass.
			RIEPILOGO PROVE ESEGUITE		
		- COSTANTI FISICHE GENERAL	r		CERTIFICATI N.
			•		411
		- LIMITI di ATTERBERG			
		- ANALISI GRANULOMETRICA c	on SOLI VAGLI ASTM		
	><	- ANALISI GRANULOMETRICA c	on VAGLI ASTM e DENSITOMETRIA		412
	><	- TAGLIO DIRETTO, CONSOLIDA	ATO LENTO		413
		- TAGLIO DIRETTO + TAGLIO RI	ESIDUO		
	><	- PROVA EDOMETRICA			414
		- PROVA EDOMETRICA + PROV.	A DI PERMEABILITA'		
9		- PROVA ad ESPANSIONE LATE	RALE LIBERA		
		- PROVA di PERMEABILITA' a Ca	ARICO COSTANTE		
		- PROVA di PERMEABILITA' a Ca	ARICO VARIABILE		
		- PROVA TRIASSIALE CONSOLII	DATA DRENATA (CD)		
		- PROVA TRIASSIALE CONSOLI	DATA NON DRENATA (CU)		
		- PROVA TRIASSIALE NON CON	SOLIDATA NON DRENATA (UU)		
		- DETERMINAZIONE della DENS	ITA' RELATIVA		
		- DETERMINAZIONE del CONTE	NUTO di SOSTANZA ORGANICA		
		- DETERMINAZIONE del CONTE	NUTO di SOLFATI		
		- DETERMINAZIONE del CONTE	NUTO di CARBONATI		
		- PROVA di COMPATTAZIONE PI	ROCTOR	1	
		- PROVA CBR	EO-TEC		

Il Direttore del Laboratorio:

Dott. Geol. Umberto Lonardo





#### **DETERMINAZIONE delle COSTANTI FISICHE GENERALI**

(ASTM D 2216 - BS 1377 T15 - ASTM D 854)

ACCETTAZIONE n° 216

del 1-giu-2020

CERTIFICATI N. 411

del 24-giu-2020

MANAGER AND ASSESSMENT OF THE STREET OF THE				Mod. G.T - 7.5.1.1.c/d/e
	DATI GE	MATORIO DO LA CALCADA		
Committente: Amministrazione Provinciale	Progetto:	S.P. n° 1 " Ciardell	i" Ricostruzione m	ıro di contenimento
Richiedente: Dott.ssa Geol. Irene Savino	Località:	Perrillo _ Arpaise (	BN)	
	DATI DEL	CAMPIONE		
dentificativo campione: S1C2 Indisturbato	Prelievo del:	29-mag-20		Profondità, m: 5,50-6,00
Data ricevimento campione: 29-mag-2020	Data apertura	a campione:	4-giu-2020	Data di prova: 4-giu-2020
CONTENUT	O D'ACQUA NAT	URALE (W.) (ASTM	D 2216)	TO COMPANY POR CONTRACTOR OF THE CONTRACTOR OF T
DETERMINAZIONE, N	[100 to 100 to 1	2	3	
Contenitore, n	E			
Massa Contenitore, g		B1	10.07	
Massa Cont + Terra Umida, g	15,87	20,85	18,27	
	54,04	57,02	50,61	
Massa Cont + Terra Secca, g	49,40	52,64	46,71	
CONTENUTO D'ACQUA NATURALE (Wa), %	13,84%	13,78%	13,71%	13,78%
PESO di	VOLUME NATU	RALE (Y <sub>n</sub> ) (BS 1377	Ť15)	
	RMINAZIONE, N		20002	
	-		(Caramorarian)	
	/olumometro, n	D	P	
	Volumometro, g	55,02	64,92	
	lumometro, cm <sup>3</sup>	40,22	40,22	
Massa Volumometro +	Terra Umida, g	134,20	144,20	
Peso di Volume naturali	S (γ <sub>n</sub> ), kN/m <sup>3</sup>	19,69	19,71	19,70
	PI	eso di volume se	CCO (Yd), kN/m <sup>3</sup>	17,31
PESO	SPECIFICO DEI	GRANI (ASTM D 85	54)	
DETE	RMINAZIONE, N		2	
Vaglio ASTM #	10, % Passante	100		
W INTER OUBS	Picnometro, n		100	
Marca Co		VII	391	
Massa Picnometro + Camp	mpione Secco, g	15,06	15,02	Temperatura, °C
		87,19	90,29	23
	netro + Acqua, g	77,78	80,90	
	di Correzione, k	0,9976	0,9976	
PESO SPECIFICO dei GRANI a	20°C, kN/m <sup>3</sup>	26,59	26,61	26,60
	GRANDEZZ	e indici		
• INDICE dei VUO	TI (e°)		0,536	The control of the co
• POROSITA' (n),			34,92	
• GRADO di SATU			68,32%	
• PESO di VOLUM		, kN/m³	20,81	
	60-1E	67	10-1-1-1-1-1-1-1-1-1-1-1-1-1-1-1-1-1-1-	
	9 63/2 Par	135	Λ	
Il Direttore del Laboratorio:	1 2000	7	// Lo S	perimentatore:
MM (#	then 6	00 00		
10.00	190 To .	1000	AVI INTERIOR	11/1 1/10/10





# ANALISI GRANULOMETRICA con VAGLI ASTM e DENSITOMETRIA (ASTM D 422)

ACCETTAZIONE nº 216

Dott. Geol. Umberto Lonardo

del 1-giu-2020

CERTIFICATI N. 412

del 24-glu-2020

		STATE OF		DATIC	ENERALI	occession		VIII.			Mod. G.T	7.5.1 <sub>1</sub> b
ımittente: Amminist	razione Provinciale	1000000			S.P. n° 1 "	Ciardelli"	Ricostruzi	one muro	di conten	imento		
iedente: Dott.ssa (	Geol. Irene Savino			Località:	Perrillo _ A	paise (BN)						
vie				4. 4. 6.4. 4.4. 4.4.	CAMPION							
tificativo campione:	81C2 Indisturbato			Prelievo de		ag-20	7) DOM: 1170200			Profondità		60-6,00
a ricevimento campior	ne: 29-mag-20				tura campio		4-giu-20			Data di pr		-giu-20
			111111	AN	alisi mec	CANICA del	TRATTEN	UTO al VA	glio astn	1 # 10 (Ø=:	2,0 mm)	
DETER	MINAZIONI DI PROVA			VAGLI A	ASTM	3"	2"	1"	3/4"	3/8"	# 4	# 10
				Apertura	in mm	75,0	50,0	25,0	19,0	9,5	4,75	2,00
	Massa Contenitore, g	105,38		Ri	tenuto, g	0,00	0,00	0,00	0,00	0,00	0,00	0,00
Massa	a Cont. + Campione secco, g	546,50			Ritenuto	0,0	0,0	0,0	0,0	0,0	0,0	0,00
	Massa Campione secco, g	$\overline{}$			Passante	100,0	100,0	100,0	100,0	100,0	100,0	100,0
									100,0	100,0	100,0	100,0
	ANALISI DEN	SITOMET	TRICA . MEC	CANICA d	el Passant	E al VAGLI	O ASTM #	10 (Ø=2,0	mm)		1.211.13	3535
			Al	ialisi den	SITOMETR	ICA		entra intelli	all the state of			
	Massa Contenitore, g	106,35		Cempi, mn		2	5	15	30	60	240	1440
Mass	a Cont. + Campione secco, g	157,09	Lettur	a Densime	tro, R	1,0210	1,0185	1,0170	1,0160	1,0150	1,0125	1,0100
	Massa Campione secco, g			rezione pe				-,	-0,0039	_,5143	-,5120	1,010
Peso Specific	del Passante al #10, kN/m			Lettura Co		1,0171	1,0146	1,0131	1,0121	1,0111	1,0086	1,0061
	Temperatura di prova T°, C°		Profon		a, L in mm	161,85	166,85	169,85	171,85	173,85	178,85	183,85
Mass	a Volumica Acqua a T°, g/ml	0,9976	Ø equi	valente dei	grani, mm	0,0301	0.0193	0,0113	0,0080	0,0057	0,0029	0,0012
Coeff. Viscosità dia	namica nel liquido a T°, Poise	0,0094			% Passante	39,9	34,8	31,7	29,7	27,6	22,5	17,4
	The same of the sa											17,4
	VACUT AGENT	1	NO LEGISLA		MECCANICA				9 HH	20000000		
	VAGLI ASTM		# 20	# 40	# 80	# 200	PAN	Fa	attore riduz	ione		
	Apertura in mm	] [	0,850	0,425	0,175	0,075		m	assa campi	ione, FR	1,000	
	Ritenuto, g	1 [	0,08	0,06	0,06	1,08	49,46					
	Passante, g	1	50,66	50,60	50,54	49,46			Riscon	itro, g	0,00	
	% Passante	1	99,8	99,7	99,6	97,5						
		]	35,0	99,1	99,0	91,5						
ESITI	GHIAIE/PIETRISCO %		0,0 SABBIA % 2,5 SILT o				SILT o LIMI % 77,8 ARGILLE E COLLOIDI %				19,7	
	Grossa Media	Fine	100500	Grossa	Fine			11,0				19,
	0,0 0,0	0,0		0,3	2,2		DEHOMINA	IONE:		LIMO ARGI	ILLOSO	
						L						
<u>Hereadadoniani</u>		E	LABORAZIO	NE GRAFIC	CA - Curva C	iranulomet	rica					17711
RGILLE e OLLOIDI 0,002	SILT o LIMI	0.28	265	SAB	BIA			GHIAIA	o PIETRISC	0		
*		0.0	06	X	×	2x	10 ×	-X-11-X	——×>	<×	60,0	.00
			7									
8			(4)								- I C	0
n peso												
nde m beso		1										10
issaute in peso,											<b>1</b> 8	
Passante m peso											<b>1</b> 8	0 0
Passante in peso											7	
Passante n peso											7	0
Possante ni peso											7	то
Possante ni peso											5	0
Possante in peso											5	0 0 0 0
Pressante in peso	XXXX										5	70 60 60
Press											5	0 0 0 0
The state of the s											5 4 4 3 3 2 2	00 00 00 00 00 00 00 00 00 00 00 00 00
The state of the s											5 4 4 3 3 2 2	70 60 60 60
The state of the s	0.010		0.100			000					5 5 4 4 3 3 2 2 1 1 C C	00 00 00 00 00 00
X	0,010		0,100			000		10,00	OO Apertu	re Vagli, mr	5 5 4 4 3 3 2 2 1 1 C C	000000000000000000000000000000000000000
X	0,010		0,100		1,	000		10,00	00 Apertu	re Vagli, mm	5 5 4 4 3 3 2 2 1 1 C C	000000000000000000000000000000000000000
0,001	0,010		0,100			000		10,00	00 Apertu	re Vagli, mr.	5 5 4 4 4 3 3 2 2 1 1 C C	00 00 00 00 00 00 00 00 00 00 00 00 00





#### PROVA di TAGLIO DIRETTO (ASTM D 3080)

ACCETTAZIONE nº 216

Il Direttor

del Laboratorio:

Dott. Geol. Umberto Lonardo

del 01-giu-20

CERTIFICATI N. 413

del 24-giu-20

Lo Sperimentatore:

Dott.ssa Geol. Michela Di Franza

ACCELLAZIONE IL 216	401	O1-giu-2				FICATI N.				24-giu-2		pag. 1,
				DATI	I GENERA	in the same		855-55155	verree	oners into	Mod. G.T-	7.5.1.2.b (
Committente: Amministrazione Pr	ovinciale	MARKET CONTRACTOR		1 + 1 1 + 1 + 1 + 1	*1913 USC 10804	1 " Ciarde	-lli" Ricos	truzione	muro d	i conteni	mento	
ichiedente: Dott.ssa Geol. Irene						Arpaise (		ti dzione	maroa	Content	incirco	
					EL CAMPI			10000000	2000000	0.0000000000000000000000000000000000000	0000000	1055056
lentificativo campione: S1C2	Indisturb	ato		Prelievo de	el:	29-mag-2	0	.,		Pro	ofondità, m:	E EO 6 C
Data ricevimento campione:	29-mag-2	20		Data apert	tura camp	ione:	04-giu-20				nizio prova:	
IPO DI PROVA: Lenta:	SI	Con	solidata: SI		ATTREZZ	ATURA	Shermatic -	Cella Dina	mometrica		pe Ts matr. N	
						TI OIGI.				ore di conve		1
DATI DEL CA	MPIONE I	N PROVA			Distriction:	ar		907	ATOLA DI	TAGLIO		
eso Specifico dei Grani (Gt*)			1 27 / 3	26,60			11					
Contenuto Naturale in Acqua (media)			kN/m³	13,78%		Lato Fust		Total # 1898	6,02	Altezza Fu		1,85
	Parallel Control		70	13,7670	didirector	Velocita	di taglio, n	ım/mn	0,007	Sezione F	ustella,cm²	36,24
DETERMINAZIONI												
PROVINO	n	1				2				3		
Fustella Portacampione	n	A				В				С		
Massa Fustella	g	94,99				95,17				93,60		
Massa Fustella + Campione	g	227,00	4			227,66				225,97		
Massa Campione	g	132,01				132,49				132,37		
Peso di Volume Naturale	kN/m°	PRIMA	DOPO	Δ		PRIMA	DOPO	Δ		PRIMA	DOPO	Δ
Peso di Volume Secco	kN/m <sup>3</sup>	19,69	19,92	0,23		19,76	20,38	0,62		19,74	20,69	0,95
Indice dei Vuoti	741.7 1.10	17,31 0,537	17,50 0,520	0,20 -0,02		17,37	17,91	0,54		17,35	18,19	0,84
Altezza Solidi	ст	1,367	0,320	-0,02		0,532 1,372	0,485	-0,05		0,533	0,463	-0,07
		1,007	Income to the second	BRUNNERRE		1,372		dealer leur				
PROVINO n. 1									SFORZ	O NORMA	LE, kN/m <sup>2</sup> :	100
Cedimenti, cm 0,021						Finale, cm	1,829			Consoli	dazione, %	1,
Tempi, mn	30	60	90	120	150	180	210	240	270	300	330	360
Spostamenti Cella, mm	0,2	0,4	0,6	0,8	1,1	1,3	1,5	1,7	1,9			
Lettura cella dinamometrica  Trasduttore Vert., mm	21	84	134	169	194	200	203	202	199			
SFORZI di TAGLIO, kN/m²	0,21 5,7	0,21	0,21	0,21	0,21	0,21	0,21	0,20	0,20			
	3,7	22,9	36,5	46,0	52,8	54,5	55,3	55,0	54,2	l		
PROVINO n. 2									SFORZ	O NORMA	LE, kN/m <sup>2</sup> :	200
Cedimenti, cm 0,056					Altezza	Finale, cm	1,794			Consolio	dazione, %	3,
Tempi, mn	30	60	90	120	150	180	210	240	270	300	330	360
Spostamenti Cella, mm	0,2	0,4	0,6	0,8	1,1	1,3	1,5	1,7	1,9	2,1		
Lettura cella dinamometrica	30	114										
Trasduttore Vert., mm			192	257	310	336	340	342	340	335		
	0,56	0,56	0,56	0,56	0,56	0,56	0,56	0,56	0,50	0,55		
SFORZI di TAGLIO, kN/m²	0,56 8,2											
		0,56	0,56	0,56	0,56	0,56	0,56	0,56	0,50 92,6	0,55 91,3	LE, kN/m²:	300
SFORZI di TAGLIO, kN/m²		0,56	0,56	0,56	0,56 84,4	0,56	0,56	0,56	0,50 92,6	0,55 91,3 O NORMA		
PROVINO n. 3  Cedimenti, cm 0,085  Tempi, mn		0,56	0,56	0,56	0,56 84,4	0,56	0,56 92,6	0,56	0,50 92,6	0,55 91,3 O NORMA	LE, kN/m <sup>2</sup> : dazione, %	4,
PROVINO n. 3  Cedimenti, cm 0,085  Tempi, mn Spostamenti Cella, mm	8,2	0,56	0,56 52,3	0,56 70,0	0,56 84,4 Altezza	0,56 91,5 Finale, cm	0,56 92,6	0,56 93,2	0,50 92,6 SFORZ	0,55 91,3 O NORMAI	dazione, %	
PROVINO n. 3  Cedimenti, cm 0,085  Tempi, mn	30	0,56 31,1 60	0,56 52,3	0,56	0,56 84,4 Altezza 150	0,56 91,5 Finale, cm	0,56 92,6 1,765 210	0,56 93,2 240	0,50 92,6 SFORZ	0,55 91,3 CO NORMAL Consolid 300	dazione, %	4,
PROVINO n. 3  Cedimenti, cm 0,085  Tempi, mn Spostamenti Cella, mm Lettura cella dinamometrica Trasduttore Vert., mm	30 0,2 36 0,85	0,56 31,1 60 0,4 156 0,85	90 0,6 275 0,85	0,56 70,0	0,56 84,4 Altezza 150 1,1	0,56 91,5 Finale, cm 180 1,3	0,56 92,6 1,765 210 1,5	0,56 93,2 240 1,7	0,50 92,6 SFOR2 270 1,9	0,55 91,3 CO NORMAL Consolid 300 2,1	330 2,3	4,
PROVINO n. 3  Cedimenti, cm 0,085  Tempi, mn Spostamenti Cella, mm Lettura cella dinamometrica	30 0,2 36	0,56 31,1 60 0,4 156	90 0,66 275	0,56 70,0 120 0,8 369	0,56 84,4 Altezza 150 1,1 418	0,56 91,5 Finale, cm 180 1,3 439	1,765 210 1,5 449	0,56 93,2 240 1,7 455	0,50 92,6 SFORZ 270 1,9 457	0,55 91,3 CO NORMAL Consolid 300 2,1 455	330 2,3 450	4,
PROVINO n. 3  Cedimenti, cm 0,085  Tempi, mn Spostamenti Cella, mm Lettura cella dinamometrica Trasduttore Vert., mm	30 0,2 36 0,85	0,56 31,1 60 0,4 156 0,85	90 0,6 275 0,85	120 0,8 369 0,85	0,56 84,4 Altezza 150 1,1 418 0,85 113,9	0,56 91,5 Finale, cm 180 1,3 439 0,85 119,6	0,56 92,6 1,765 210 1,5 449 0,85 122,3	0,56 93,2 240 1,7 455 0,85	0,50 92,6 SFORZ 270 1,9 457 0,85	0,55 91,3 CO NORMAI Consolid 300 2,1 455 0,84	330 2,3 450 0,84	4,
PROVINO n. 3  Cedimenti, cm 0,085  Tempi, mn Spostamenti Cella, mm Lettura cella dinamometrica Trasduttore Vert., mm	30 0,2 36 0,85	0,56 31,1 60 0,4 156 0,85	90 0,6 275 0,85	120 0,8 369 0,85	0,56 84,4 Altezza 150 1,1 418 0,85 113,9	0,56 91,5  Finale, cm 180 1,3 439 0,85 119,6	0,56 92,6 1,765 210 1,5 449 0,85 122,3	0,56 93,2 240 1,7 455 0,85	0,50 92,6 SFORZ 270 1,9 457 0,85	0,55 91,3 CO NORMAI Consolid 300 2,1 455 0,84	330 2,3 450 0,84	4,
PROVINO n. 3  Cedimenti, cm 0,085  Tempi, mn Spostamenti Cella, mm Lettura cella dinamometrica Trasduttore Vert., mm	30 0,2 36 0,85	0,56 31,1 60 0,4 156 0,85	90 0,56 52,3 90 0,6 275 0,85 74,9	0,56 70,0 120 0,8 369 0,85 100,5	0,56 84,4 Altezza 150 1,1 418 0,85 113,9	0,56 91,5  Finale, cm 180 1,3 439 0,85 119,6  RIEPILOGO	0,56 92,6 1,765 210 1,5 449 0,85 122,3 0	0,56 93,2 240 1,7 455 0,85 123,9	0,50 92,6 SFORZ 270 1,9 457 0,85	0,55 91,3 CO NORMAI Consolid 300 2,1 455 0,84	330 2,3 450 0,84	4,
PROVINO n. 3  Cedimenti, cm 0,085  Tempi, mn Spostamenti Cella, mm Lettura cella dinamometrica Trasduttore Vert., mm	30 0,2 36 0,85	0,56 31,1 60 0,4 156 0,85	90 0,6 275 0,85 74,9	0,56 70,0  120 0,8 369 0,85 100,5	0,56 84,4 Altezza 150 1,1 418 0,85 113,9	0,56 91,5  Finale, cm 180 1,3 439 0,85 119,6	0,56 92,6 1,765 210 1,5 449 0,85 122,3	0,56 93,2 240 1,7 455 0,85 123,9	0,50 92,6 SFORZ 270 1,9 457 0,85	0,55 91,3 CO NORMAI Consolid 300 2,1 455 0,84	330 2,3 450 0,84	4,
PROVINO n. 3  Cedimenti, cm 0,085  Tempi, mn Spostamenti Cella, mm Lettura cella dinamometrica Trasduttore Vert., mm	30 0,2 36 0,85	0,56 31,1 60 0,4 156 0,85	90 0,6 275 0,85 74,9	0,56 70,0 120 0,8 369 0,85 100,5	0,56 84,4 150 1,1 418 0,85 113,9	0,56 91,5  Finale, cm 180 1,3 439 0,85 119,6  RIEPILOGO	0,56 92,6 1,765 210 1,5 449 0,85 122,3 0	0,56 93,2 240 1,7 455 0,85 123,9	0,50 92,6 SFORZ 270 1,9 457 0,85	0,55 91,3 CO NORMAI Consolid 300 2,1 455 0,84	330 2,3 450 0,84	4,
PROVINO n. 3  Cedimenti, cm 0,085  Tempi, mn Spostamenti Cella, mm Lettura cella dinamometrica Trasduttore Vert., mm	30 0,2 36 0,85	0,56 31,1 60 0,4 156 0,85	90 0,6 275 0,85 74,9	0,56 70,0  120 0,8 369 0,85 100,5	0,56 84,4 150 1,1 418 0,85 113,9	0,56 91,5  Finale, cm 180 1,3 439 0,85 119,6  RIEPILOGO SFORZI	0,56 92,6 1,765 210 1,5 449 0,85 122,3 0, kN/m <sup>2</sup> di Ta	0,56 93,2 240 1,7 455 0,85 123,9	0,50 92,6 SFORZ 270 1,9 457 0,85	0,55 91,3 CO NORMAI Consolid 300 2,1 455 0,84	330 2,3 450 0,84	4,8
PROVINO n. 3  Cedimenti, cm 0,085  Tempi, mn Spostamenti Cella, mm Lettura cella dinamometrica Trasduttore Vert., mm	30 0,2 36 0,85	0,56 31,1 60 0,4 156 0,85	90 0,56 52,3 90 0,6 275 0,85 74,9	0,56 70,0  120 0,8 369 0,85 100,5	0,56 84,4  Altezza 150 1,1 418 0,85 113,9  Nor	0,56 91,5  Finale, cm 180 1,3 439 0,85 119,6  RIEPILOGO SFORZI mali 00,0	0,56 92,6 1,765 210 1,5 449 0,85 122,3 0 , kN/m <sup>2</sup> di Te	0,56 93,2 240 1,7 455 0,85 123,9	0,50 92,6 SFORZ 270 1,9 457 0,85	0,55 91,3 CO NORMAI Consolid 300 2,1 455 0,84	dazione, % 330 2,3 450 0,84	<b>300</b> 4,8 360
PROVINO n. 3  Cedimenti, cm 0,085  Tempi, mn Spostamenti Cella, mm Lettura cella dinamometrica Trasduttore Vert., mm	30 0,2 36 0,85	0,56 31,1 60 0,4 156 0,85	90 0,56 52,3 90 0,6 275 0,85 74,9	0,56 70,0  120 0,8 369 0,85 100,5	0,56 84,4  Altezza 150 1,1 418 0,85 113,9  Nor	0,56 91,5  Finale, cm 180 1,3 439 0,85 119,6  RIEPILOGO SFORZI	0,56 92,6 1,765 210 1,5 449 0,85 122,3 0 , kN/m <sup>2</sup> di Ta	0,56 93,2 240 1,7 455 0,85 123,9	0,50 92,6 SFORZ 270 1,9 457 0,85	0,55 91,3 CO NORMAI Consolid 300 2,1 455 0,84	dazione, % 330 2,3 450 0,84	4,8





#### PROVA di TAGLIO DIRETTO (ASTM D 3080)

ACCETTAZIONE nº 216

del 01-giu-20

CERTIFICATI N. 413

del 24-glu-20

pag. 2/2

Committente: Amministrazione Provinciale Progetto: S.P. n° 1 "Ciardelli" Ricostruzione muro di contenimento
Richiedente: Dott.ssa Geol. Irene Savino Località: Perrillo\_Arpaise (BN)

DATI DEL CAMPIONE

Identificativo campione: 81C2 Indisturbato Prelievo del: 29-mag-20 Profondità, m: 5,50-6,00

29-mag-20 Profondità, m: 5,50-6,00 Data ricevimento campione: 29-mag-20 Data apertura campione: 04-giu-20 Data inizio prova: 04-giu-20 ELABORAZIONE GRAFICA Diagramma Sforzi di Taglio - Deformazioni 160,0 140,0 Sforzi di Taglio, kN/m2 120,0 100,0 80,0 60,0 40,0 20,0 0,0 0,0 0,5 1,5 2,0 3,5 4,0 Deformazioni, mm Diagramma Sforzi Normali - Sforzi di Taglio 350,0 Sforzi di Taglio, kN/m2 300,0 250,0 200,0 150,0 100,0 50,0 0,0 0,0 50,0 100,0 150,0 200,0 250,0 300,0 350,0 Sforzi Normali, kN/m2

Lo Sperimentaforo

Dott.ssa Geol. Michela Di Franza





# PROVA di COMPRESSIONE EDOMETRICA e PROVA di PERMEABILITA'

(ASTM D 2435 - Bowles, Exp. 12-1978)

ACCETTAZIONE n° 216

Il Direttore del Laboratorio:

Dott. Geol. Umberto Lonardo

CERTIFICATI N. 414

del 24-giu-20

Dott,ssa Geol. Michela Di Franza

22022200	4600000	101500		Missis	0000000		DATI	GENERA	Y 750 000				0000000		Mod. G.T- 7	.5.1.2.
mittente:	Amminis	trazione	Provincia	le		. COMMING				lli" Ricost	ruzione n	uro di c	ontenime	ento		2533
iedente:	Dott.ssa	Geol. Ir	ene Savino		V-177775	********	Località:	Perrillo	Arpaise	(BN)						
tificativo ca	mpione:	S1C2	Inc	disturba	to		Prelievo o	L CAMP	29-mag-	20				5		900
riceviment			29-mag-2				Data ape		TOTAL STREET	04-gi	u-20			Protot Data iniz	nditá, m: io prova:	04-
	DA	I DEL C	CAMPIONE	IN PRO	VA	300000	1			215555	ATTREZZ	ATURA	Spinore.	950000		
Peso Sp	ecifico dei	Grani (	Gt*)		kN/m <sup>3</sup>	26,60	i	Marca:		TECNOTI			20			
-	ito Natura				%	13,78				ostament		CH 06	20			
		200000		illocate is a		10,70				OSIMITETO	STATE AND A STATE OF	CH 00				
21/2/2012/19/2	MANAGEN		CASCANICA				DETER	MINAZI	ONI	elygoen						
	ello Porti			D				,						CE	LLA	
-	Anello, o	m			Anello, cr		2,00	-	ello+Camp		134,20			ALLA	GATA	
Massa P	mello, g		55,02	Area Bas	se Anello		20,11	Massa C	ampione	The second second	79,18					
D W.	- Andrews	COLUMN TANK			PRIMA	DOPO	Δ		THE		ENUTO in	ACQUA		ROVA		
500 AC	lume Natu	-			19,69 17,30	23,16	3,47		Contenit				E2			
Indice d		o, KIV/II			0,537	0,302	-0,235			ontenitore ont+Terra		7	20,95	\$\$\$\$\$\$\$	% %	
Altezza :	Solidi, cm				1,301					ont+Terra			90,66		,40	
No.						12121111111111										
e do un xix k							DATI d	ella PRO	VA							
Tempi	15"	30"	1'	2'	4'	8'	15'	30'	1 h	2 h	4 h	8 h	12 h	24 h	2H^	
kPa	0,25	0,50	1,00	2,00	4,00	8,00	15,00	30,00	60,00	120,00	240,00	480,00	720,00	1440,00		
25	1	1	1	1			Compar	_						-	cm	
50	6	7	8	1 9	10	1	1	1	2	2	2	2	3	3	1,9970	
100	23	24	25	27	29	11	12	13	14	15	16	17	18	19		
200	52	53	55	58	62	33 67	35	36	37	38	39	40	41	42	1,9580	
400	92	93	95	99	105	111	71 116	73	74	75	76	78	79	80	1,9200	
800	133	134	136	140	150	165	176	119 182	121 185	122	123 192	124	125	125	1,8750	
1600	212	213	218	227	242	259	272	280	287	293		195	197	199	1,8010	
400	299	299	299	299	298	297	296	295	294	293	296 292	298 292	300 291	300 290	1,7000 1,7100	
100	278	277	276	275	274	273	271	270	268	266	265	264	262	260	1,7100	
25	221	220	219	218	217	216	215	214	213	212	211	210	210	210	1,7900	
	Pressioni	Applica	te			kPa	0	25	50	100	200	400	800	1600	,	
FASE DI CARICO	Altezza C	ampione	•		2H^	cm	2,000	1,997	1,981	1,958	1,920	1,875	1,801	1,700		
NA.	Altezza V					cm	0,699	0,696	0,680	0,657	0,619	0,574	0,500	0,399		
ğ	Indice Vu		. 11 11112		e		0,537	0,535	0,523	0,505	0,476	0,441	0,384	0,307		
SE	Indice di Modulo E				Cc				0,041	0,059	0,097	0,115	0,189	0,258		
FA	Consolida		160		Ed	kN/m²			3120	4307	5153	8533	10135	14265		
	Consonae	ZIONE				%		0,150	0,959	2,145	4,167	6,667	11,049	17,647	l	
	Γ		Pressioni					kPa			400	100	25			
	ľ	FASE DI SCARICO	Altezza Ca	ampione			2H^	cm			1,710	1,740	1,790			
		ASE	Altezza Vı					cm			0,409	0,439	0,489			
		SC	Indice Vu				e				0,314	0,337	0,376			
			Indice di I	Rigoniia	mento		Cs				0,013	0,038	0,064			
		6.000		idente.	500000	PF	ROVA di P	PERMEA	BILITA'	dollars.		50000		akkim	nana ana	2144
	Sezione B	uretta				cm²				0,4	4				0	
	Altezza Ac		zio Prova			cm				0,4	<u> </u>					
	Altezza Ac	<u> </u>				cm									ii.	
	Intervallo					s								0,000		
			meabilità			cm/s	ing mais		-							
ı	- 002201011		caomia			CIIC/S										
		A			1	Caric	hi kPa T	25	50	100	200	400	800	1600		
						The second secon	and special control of the last								E-1.	





# PROVA di COMPRESSIONE EDOMETRICA e PROVA di PERMEABILITA'

(ASTM D 2435 - Bowles, Exp.12-1978)

ACCETTAZIONE n° 216

del 1-giu-20

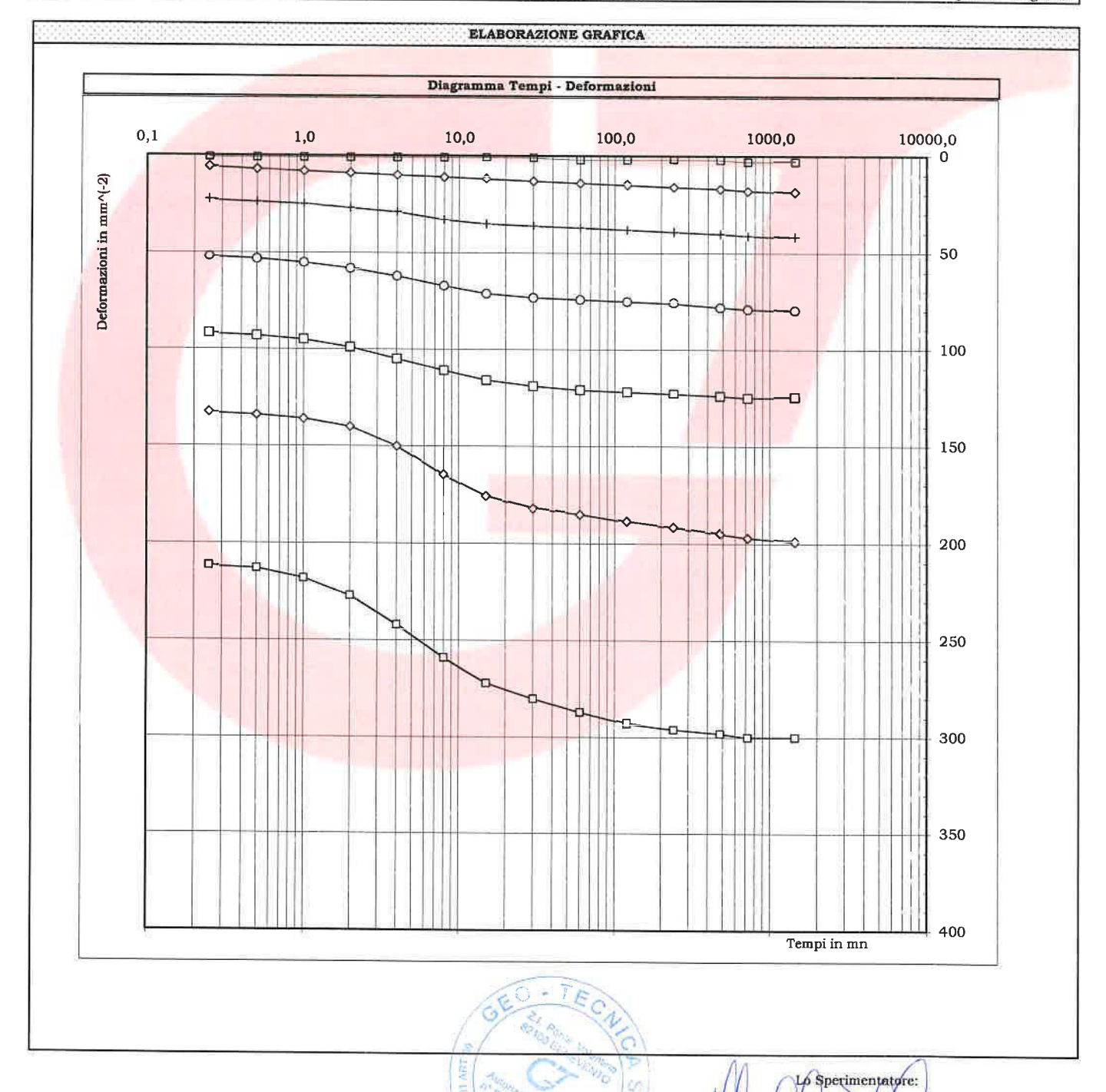
CERTIFICATI N. 414

del 24-giu-20

pag. 2/3

Mod. G.T- 7.5.1.2.a.p C

	DATI GENERALI
Committente: Amministrazione Provinciale	Progetto: S.P. n° 1 " Ciardelli" Ricostruzione muro di contenimento
Richiedente: Dott.ssa Geol. Irene Savino	Località: Perrillo _ Arpaise (BN)
	DATI DEL CAMPIONE
Identificativo campione: 81C2 Indisturbat	Prelievo del: 29-mag-20 Profondità, m: 5,50-6,00
Data ricevimento campione: 29-mag-20	Data apertura campione: 04-giu-20 Data inizio prova: 04-giu-20







# PROVA di COMPRESSIONE EDOMETRICA e PROVA di PERMEABILITA'

(ASTM D 2435 - Bowles, Exp.12-1978)

ACCETTAZIONE n° 216

del 1-glu-20

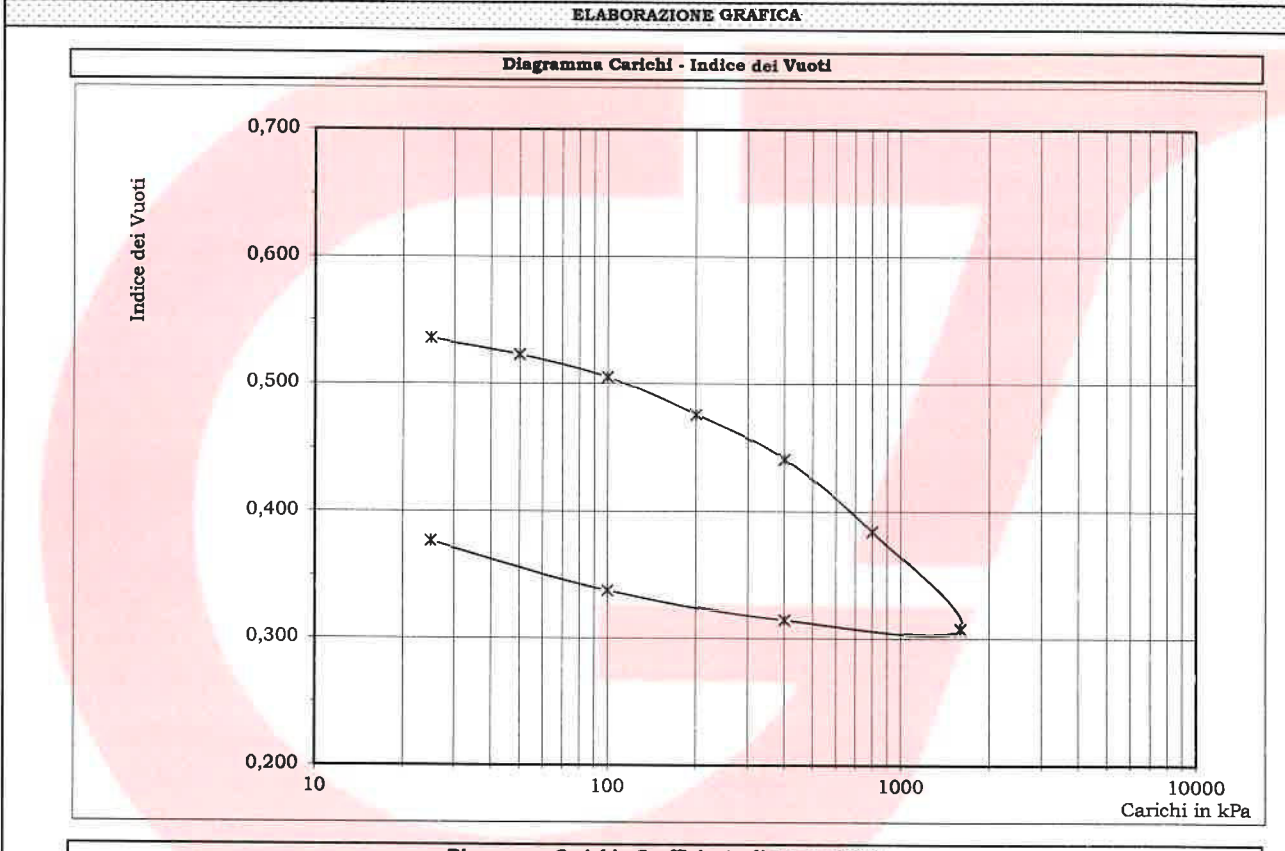
CERTIFICATI N. 414

del 24-glu-20

pag. 3/3

Mod. G.T- 7.5.1.2.a.p C

Committente: Amministrazi	one Provinciale	Progetto: S.P. nº 1 " Ciardelli" Ricostruzione mu	ro di contenimento
Richiedente: Dott.ssa Geol	. Irene Savino	Località: Perrillo _ Arpaise (BN)	
		DATI DEL CAMPIONE	
Identificativo campione: \$10	Indisturbato	Prelievo del: 29-mag-20	Profondità, m: 5,50-6,00
Data ricevimento campione:	29-mag-20	Data apertura campione: 04-giu-20	Data inizio prova: 04-giu-20





III VIII A

Dott,ssa Geol, Michela Di Franza





# APERTURA CAMPIONE - IDENTIFICAZIONE VISIVA (ASTM D 2488) E RIEPILOGO PROVE ESEGUITE

ACCETTAZIONE nº 216

del 1-giu-2020

pag. 1/1 rev. 1 del 11/01/2018

Committente: A			Progetto: S.P. nº 1 " Ciardelli" Ricostruzione muro di contenimen	to
Richiedente: D	ott.ssa Geol. I	rene Savino	Località: Perrillo _ Arpaise (BN)	
Identificativo cam	npione;	82C1 Indisturbato	DATI DEL CAMPIONE Prelievo del: 01-giu-20	D. C. Mai
Data ricevimento		1-giu-2020	Data apertura campione: 5-giu-2020	Profondità, m: 1,50-2,00
in the second second	territorio.			Prelevato da: Geo-Tecnica
		APERTURA CAN	PIONE - IDENTIFICAZIONE VISIVA (ASTM D 2488)	
		Grani:	FINI e MEDI	
		(Ø max e min - Forma - Distribuzione %)	Ø <25,00 mm	
		Umidità:		
			1,9 kg/cm <sup>2</sup> (pocket penetrometer)*	
<u></u>		Colore da tavola di Munsell:	HUE 2,5Y - 5/4 light olive brown	
			OLIVASTRO	
			LIMO SABBIOSO GHIAIOSO DEBOLMENTE ARGILLOSO	
		OSSERVAZIONI:		
			* Valore medio su 10 determinazioni	
	y y	con: 50+25 %Pass.	aso: 25+15 %Pass. debalment	teaso: 15+5 % Pass.
			RIEPILOGO PROVE ESEGUITE	
		- COSTANTI FISICHE GENERALI		CERTIFICATI N.
		3		415
		- LIMITI di ATTERBERG		
		- ANALISI GRANULOMETRICA co	n SOLI VAGLI ASTM	
	><	- ANALISI GRANULOMETRICA co	n VAGLI ASTM e DENSITOMETRIA	416
F		- TAGLIO DIRETTO, CONSOLIDA		
	=			417
		- TAGLIO DIRETTO + TAGLIO RE	SIDUO	
	><	- PROVA EDOMETRICA		418
	X-	- PROVA EDOMETRICA + PROVA	DI PERMEABILITA'	
		- PROVA ad ESPANSIONE LATER	ALE LIBERA	
F		No. of the last of		
<u>_</u>		- PROVA di PERMEABILITA' a CA		
		- PROVA di PERMEABILITA' a CA	RICO VARIABILE	
		- PROVA TRIASSIALE CONSOLID	ATA DRENATA (CD)	
		- PROVA TRIASSIALE CONSOLID	ATA NON DRENATA (CU)	
		- PROVA TRIASSIALE NON CONS	OLIDATA NON DRENATA (UU)	
		- DETERMINAZIONE della DENSI	TA' RELATIVA	
		- DETERMINAZIONE del CONTEN	UTO di SOSTANZA ORGANICA	
		- DETERMINAZIONE del CONTEN	UTO di SOLFATI	
		- DETERMINAZIONE del CONTEN	UTO di CARBONATI	
		- PROVA di COMPATTAZIONE PRO	OCTOR	
		- PROVA CBR	GEO - TEO	

Il Direttore del Laboratorio:

Dott. Geol. Umberto Lonardo





#### DETERMINAZIONE delle COSTANTI FISICHE GENERALI

(ASTM D 2216 - BS 1377 T15 - ASTM D 854)

ACCETTAZIONE n° 216

Dott. Geol. Umberto Lonardo

del 1-glu-2020

CERTIFICATI N. 415

del 24-giu-2020

	DATI GE	NERALI		
Committente: Amministrazione Provinciale	Progetto:	S.P. nº 1 " Ciarde	lli" Ricostruzione mu	ro di contenimento
Richiedente: Dott.ssa Geol. Irene Savino	Località:	Perrillo _ Arpaise	(BN)	
	DATI DEL C	CAMPIONE		
dentificativo campione: S2C1 Indisturbato	Prelievo del:	01-giu-20		Profondità, m: 1,50-2,00
Data ricevimento campione: 1-giu-2020	Data apertura	a campione:	5-giu-2020	Data di prova: 5-giu-2020
CONTENT	TO D'ACQUA NAT	IIDAI P (III ) (ACTA	E D 2016)	
	THE MODERN THE	OKALE (Wa) (ASTE	1 0 2210)	
DETERMINAZIONE, N	25001	2	3	
Contenitore, n	v	P	M	
Massa Contenitore, g	17,23	17,87	20,27	
Massa Cont + Terra Umida, g	54,90	49,38	48,05	
Massa Cont + Terra Secca, g	47,78	43,39	42,76	
CONTENUTO D'ACQUA NATURALE (W.), %	02.210/	1 00 4704		[100-20-20-00-1]
Company of the Company (Wall, 10	23,31%	23,47%	23,52%	23,43%
PESO	di volume natur	RALE (γ <sub>n</sub> ) (BS 137	7 T15)	
	ERMINAZIONE, N		2	T Y
	Volumen on other -			
Moss	Volumometro, n a Volumometro, g	I 22.06	Q	
	Volumometro, cm <sup>3</sup>	33,86	65,08	
Massa Volumometro	•	40,22	40,22	
		110,22	141,90	
PESO di VOLUME NATURA	LE (γ <sub>n</sub> ), kN/m <sup>3</sup>	18,99	19,10	19,04
	PI	30 di volume s	ECCO (γ <sub>d</sub> ), kN/m <sup>3</sup>	15,43
PES	O SPECIFICO DEI	GRANI (ASTM D 8	54)	
DET	ERMINAZIONE, N		100 2 000	
Veglio ASTA	I #10, % Passante	100	100	
Vaguo AOTIV	Picnometro, n	348	IV	
Massa (	Campione Secco, g	15,06	15,02	T
Massa Picnometro + Car	-	88,33	86,88	Temperatura, °C
	ometro + Acqua, g	78,91	77,49	
	re di Correzione, k	0,9976		
PESO SPECIFICO dei GRANI	a 20°C, kN/m"	26,64	26,61	26,63
	GRANDEZZ	E INDICI		
• INDICE dei VU	JOTI (e°)		0,726	
• POROSITA' (n)			42,06	
• GRADO di SAT			85,96%	
	ME SATURO, (γ <sub>sat</sub> )	, kN/m³	19,63	
• PESO di Volu	, // muc)		Lance Colores	
• PESO di VOLU	10-15			
• PESO di VOLU	650-18	CA		44





# ANALISI GRANULOMETRICA con VAGLI ASTM e DENSITOMETRIA (ASTM D 422)

ACCETTAZIONE nº 216

Dott. Geol. Umberto Lonardo

del 1-giu-2020

CERTIFICATI N. 416

del 24-giu-2020

ARALISI DENSITOMETRICA & MECCANICA del PASSANTE NI VACIDI ASTR # 10 (9-20 mm)  Massa Cont. + Campione secto, 8 (9-10 mm)  ARALISI DENSITOMETRICA & MECCANICA del PASSANTE NI VACIDI ASTR # 10 (9-20 mm)  Massa Cont. + Campione secto, 8 (9-10 mm)  ARALISI DENSITOMETRICA & MECCANICA del PASSANTE NI VACIDI ASTR # 10 (9-20 mm)  Massa Cont. + Campione secto, 8 (9-10 mm)  ARALISI DENSITOMETRICA & MECCANICA del PASSANTE NI VACIDI ASTR # 10 (9-20 mm)  Massa Cont. + Campione secto, 8 (9-10 mm)  ARALISI DENSITOMETRICA & MECCANICA del PASSANTE NI VACIDI ASTR # 10 (9-20 mm)  Massa Cont. + Campione secto, 8 (9-10 mm)  Massa Cont. + Cam					DATI	GENERALI	80018-504-57	POTENTIAL V	CT30035V	25/45/25/55		Mod. G.T-	7.5.1.1.b
Contract C	nmittente: Amminist	razione Provinciale			ARTER STREET	The second second	Ciardelli"	Ricostruzi	one muro	di conten	imento		et et et et et e
	niedente: Dott.ssa (	Geol. Irene Savino											
Detail apperture compliance   Ol-giu-20	28 0				11.1.2.2.2.2.2.2.2.2.	The Part of the State of the	B					MERKIER	144
Massa Controllore, g   104-56   Massa Controllore, g   105-76   Massa Voluntica Acqua a T', g/ad   105-76   Mass	-												0-2,00
VAGIJ AFTN   3   2   1   3/6"   3/6"   3/6"   4.4   17.7	a ricevimento campior	ie: 01-giu-20											giu-20
Aperture in miss   75,0   50,0   25,0   15,0   9,5   4,75   2,00				100000	AN	ALISI MECO	CANICA del	TRATTEN	UTO al VA	GLIO ASTI	# 10 (Ø=:	2,0 mm)	50000
Apertura is aman   75,0   50,0   25,0   19,0   9,5   4,75   2,00	DETER	minazioni di prova		9   -	VAGLI	ASTM	3"	2*	1"	3/4"	3/8"	#4	# 10
Massa Cont Campione seco., g   497,10   % Risenuto   100,0   100,0   100,0   100,0   39,6   84,4   80,1   77,1					Apertura	in mm	75,0	50,0	25,0	19,0	9,5	4,75	2,00
Massa Cont Campione seco., g   497,10   % Risenuto   100,0   100,0   100,0   100,0   39,6   84,4   80,1   77,1		Massa Contenitore, g	104.96		Ri	tenuto.	0.00	0.00	0.00	46.00	22.01	10.10	
Massa Contentiore, g   105,75   Temperature of grove T; c   23   15   30   60   240   1444   140   140   140   140   140   140   140   140   140   140   140   140   140   140   140   140   140   140   140   140   140   140   140   140   140   140   140   140   140   140   140   140   140   140   140   140   140   140   140   140   140   140   140   140   140   140   140   140   140   140   140   140   140   140   140   140   140   140   140   140   140   140   140   140   140   140   140   140   140   140   140   140   140   140   140   140   140   140   140   140   140   140   140   140   140   140   140   140   140   140   140   140   140   140   140   140   140   140   140   140   140   140   140   140   140   140   140   140   140   140   140   140   140   140   140   140   140   140   140   140   140   140   140   140   140   140   140   140   140   140   140   140   140   140   140   140   140   140   140   140   140   140   140   140   140   140   140   140   140   140   140   140   140   140   140   140   140   140   140   140   140   140   140   140   140   140   140   140   140   140   140   140   140   140   140   140   140   140   140   140   140   140   140   140   140   140   140   140   140   140   140   140   140   140   140   140   140   140   140   140   140   140   140   140   140   140   140   140   140   140   140   140   140   140   140   140   140   140   140   140   140   140   140   140   140   140   140   140   140   140   140   140   140   140   140   140   140   140   140   140   140   140   140   140   140   140   140   140   140   140   140   140   140   140   140   140   140   140   140   140   140   140   140   140   140   140   140   140   140   140   140   140   140   140   140   140   140   140   140   140   140   140   140   140   140   140   140   140   140   140   140   140   140   140   140   140   140   140   140   140   140   140   140   140   140   140   140   140   140   140   140   140   140   140   140   140   140   140   140   140   140   140   140   140   140   140	Massa												_
ANALISI DENSITOMETRICA & RECCANICA del PASSANTE si VAGLIO ASTM # 10 (6-2,0 mm)  ANALISI DENSITOMETRICA  Massa Contentiors, g   105,75   7empl, mn   2   5   13   30   60   240   1444    Massa Cont. + Campione secco, g   156,44   156,44   166,45   166,45   166,45   166,45   166,45   166,45   166,45   166,45   166,45   166,45   166,45   166,45   166,45   166,45   166,45   166,45   166,45   166,45   166,45   166,45   166,45   166,45   166,45   166,45   166,45   166,45   166,45   166,45   166,45   166,45   166,45   166,45   166,45   166,45   166,45   166,45   166,45   166,45   166,45   166,45   166,45   166,45   166,45   166,45   166,45   166,45   166,45   166,45   166,45   166,45   166,45   166,45   166,45   166,45   166,45   166,45   166,45   166,45   166,45   166,45   166,45   166,45   166,45   166,45   166,45   166,45   166,45   166,45   166,45   166,45   166,45   166,45   166,45   166,45   166,45   166,45   166,45   166,45   166,45   166,45   166,45   166,45   166,45   166,45   166,45   166,45   166,45   166,45   166,45   166,45   166,45   166,45   166,45   166,45   166,45   166,45   166,45   166,45   166,45   166,45   166,45   166,45   166,45   166,45   166,45   166,45   166,45   166,45   166,45   166,45   166,45   166,45   166,45   166,45   166,45   166,45   166,45   166,45   166,45   166,45   166,45   166,45   166,45   166,45   166,45   166,45   166,45   166,45   166,45   166,45   166,45   166,45   166,45   166,45   166,45   166,45   166,45   166,45   166,45   166,45   166,45   166,45   166,45   166,45   166,45   166,45   166,45   166,45   166,45   166,45   166,45   166,45   166,45   166,45   166,45   166,45   166,45   166,45   166,45   166,45   166,45   166,45   166,45   166,45   166,45   166,45   166,45   166,45   166,45   166,45   166,45   166,45   166,45   166,45   166,45   166,45   166,45   166,45   166,45   166,45   166,45   166,45   166,45   166,45   166,45   166,45   166,45   166,45   166,45   166,45   166,45   166,45   166,45   166,45   166,45   166,45   166,45   166,45   166,45   166,45   166,45			_										3
Massa Contentiore, g   105.75   Templ, man   1,040   1,0130   1,0120   1,0110   1,0105   1,0085   1,0085   1,0085   1,0085   1,0085   1,0085   1,0085   1,0085   1,0085   1,0085   1,0085   1,0085   1,0085   1,0085   1,0085   1,0085   1,0085   1,0085   1,0085   1,0085   1,0085   1,0085   1,0085   1,0085   1,0085   1,0085   1,0085   1,0085   1,0085   1,0085   1,0085   1,0085   1,0085   1,0085   1,0085   1,0085   1,0085   1,0085   1,0085   1,0085   1,0085   1,0085   1,0085   1,0085   1,0085   1,0085   1,0085   1,0085   1,0085   1,0085   1,0085   1,0085   1,0085   1,0085   1,0085   1,0085   1,0085   1,0085   1,0085   1,0085   1,0085   1,0085   1,0085   1,0085   1,0085   1,0085   1,0085   1,0085   1,0085   1,0085   1,0085   1,0085   1,0085   1,0085   1,0085   1,0085   1,0085   1,0085   1,0085   1,0085   1,0085   1,0085   1,0085   1,0085   1,0085   1,0085   1,0085   1,0085   1,0085   1,0085   1,0085   1,0085   1,0085   1,0085   1,0085   1,0085   1,0085   1,0085   1,0085   1,0085   1,0085   1,0085   1,0085   1,0085   1,0085   1,0085   1,0085   1,0085   1,0085   1,0085   1,0085   1,0085   1,0085   1,0085   1,0085   1,0085   1,0085   1,0085   1,0085   1,0085   1,0085   1,0085   1,0085   1,0085   1,0085   1,0085   1,0085   1,0085   1,0085   1,0085   1,0085   1,0085   1,0085   1,0085   1,0085   1,0085   1,0085   1,0085   1,0085   1,0085   1,0085   1,0085   1,0085   1,0085   1,0085   1,0085   1,0085   1,0085   1,0085   1,0085   1,0085   1,0085   1,0085   1,0085   1,0085   1,0085   1,0085   1,0085   1,0085   1,0085   1,0085   1,0085   1,0085   1,0085   1,0085   1,0085   1,0085   1,0085   1,0085   1,0085   1,0085   1,0085   1,0085   1,0085   1,0085   1,0085   1,0085   1,0085   1,0085   1,0085   1,0085   1,0085   1,0085   1,0085   1,0085   1,0085   1,0085   1,0085   1,0085   1,0085   1,0085   1,0085   1,0085   1,0085   1,0085   1,0085   1,0085   1,0085   1,0085   1,0085   1,0085   1,0085   1,0085   1,0085   1,0085   1,0085   1,0085   1,0085   1,0085   1,0085   1,0085   1,0085   1,0085   1,0085   1,0085   1,0085   1,0085   1,		The state of the s	772,17		76	Lansette	100,0	100,0	100,0	89,6	84,4	80,1	77,1
Massa Contentiore, g   105.75   Templ, man   1,040   1,0130   1,0120   1,0110   1,0105   1,0085   1,0085   1,0085   1,0085   1,0085   1,0085   1,0085   1,0085   1,0085   1,0085   1,0085   1,0085   1,0085   1,0085   1,0085   1,0085   1,0085   1,0085   1,0085   1,0085   1,0085   1,0085   1,0085   1,0085   1,0085   1,0085   1,0085   1,0085   1,0085   1,0085   1,0085   1,0085   1,0085   1,0085   1,0085   1,0085   1,0085   1,0085   1,0085   1,0085   1,0085   1,0085   1,0085   1,0085   1,0085   1,0085   1,0085   1,0085   1,0085   1,0085   1,0085   1,0085   1,0085   1,0085   1,0085   1,0085   1,0085   1,0085   1,0085   1,0085   1,0085   1,0085   1,0085   1,0085   1,0085   1,0085   1,0085   1,0085   1,0085   1,0085   1,0085   1,0085   1,0085   1,0085   1,0085   1,0085   1,0085   1,0085   1,0085   1,0085   1,0085   1,0085   1,0085   1,0085   1,0085   1,0085   1,0085   1,0085   1,0085   1,0085   1,0085   1,0085   1,0085   1,0085   1,0085   1,0085   1,0085   1,0085   1,0085   1,0085   1,0085   1,0085   1,0085   1,0085   1,0085   1,0085   1,0085   1,0085   1,0085   1,0085   1,0085   1,0085   1,0085   1,0085   1,0085   1,0085   1,0085   1,0085   1,0085   1,0085   1,0085   1,0085   1,0085   1,0085   1,0085   1,0085   1,0085   1,0085   1,0085   1,0085   1,0085   1,0085   1,0085   1,0085   1,0085   1,0085   1,0085   1,0085   1,0085   1,0085   1,0085   1,0085   1,0085   1,0085   1,0085   1,0085   1,0085   1,0085   1,0085   1,0085   1,0085   1,0085   1,0085   1,0085   1,0085   1,0085   1,0085   1,0085   1,0085   1,0085   1,0085   1,0085   1,0085   1,0085   1,0085   1,0085   1,0085   1,0085   1,0085   1,0085   1,0085   1,0085   1,0085   1,0085   1,0085   1,0085   1,0085   1,0085   1,0085   1,0085   1,0085   1,0085   1,0085   1,0085   1,0085   1,0085   1,0085   1,0085   1,0085   1,0085   1,0085   1,0085   1,0085   1,0085   1,0085   1,0085   1,0085   1,0085   1,0085   1,0085   1,0085   1,0085   1,0085   1,0085   1,0085   1,0085   1,0085   1,0085   1,0085   1,0085   1,0085   1,0085   1,0085   1,0085   1,0085   1,0085   1,0085   1,		ANALISI DEN	SITOMET	FRICA - MEC	CANICA d	el PASSANT	E al VAGLI	O ASTM #	10 (Ø=2,0	mm)	Maria in a	in commen	itaide.
Messa Cont. + Campione secco, \$   156,44   Lettura Danaimetro, R   1,0140   1,0130   1,0120   1,0120   1,0120   1,0120   1,0120   1,0120   1,0120   1,0120   1,0120   1,0120   1,0120   1,0120   1,0120   1,0120   1,0120   1,0120   1,0120   1,0120   1,0120   1,0120   1,0120   1,0120   1,0120   1,0120   1,0120   1,0120   1,0120   1,0120   1,0120   1,0120   1,0120   1,0120   1,0120   1,0120   1,0120   1,0120   1,0120   1,0120   1,0120   1,0120   1,0120   1,0120   1,0120   1,0120   1,0120   1,0120   1,0120   1,0120   1,0120   1,0120   1,0120   1,0120   1,0120   1,0120   1,0120   1,0120   1,0120   1,0120   1,0120   1,0120   1,0120   1,0120   1,0120   1,0120   1,0120   1,0120   1,0120   1,0120   1,0120   1,0120   1,0120   1,0120   1,0120   1,0120   1,0120   1,0120   1,0120   1,0120   1,0120   1,0120   1,0120   1,0120   1,0120   1,0120   1,0120   1,0120   1,0120   1,0120   1,0120   1,0120   1,0120   1,0120   1,0120   1,0120   1,0120   1,0120   1,0120   1,0120   1,0120   1,0120   1,0120   1,0120   1,0120   1,0120   1,0120   1,0120   1,0120   1,0120   1,0120   1,0120   1,0120   1,0120   1,0120   1,0120   1,0120   1,0120   1,0120   1,0120   1,0120   1,0120   1,0120   1,0120   1,0120   1,0120   1,0120   1,0120   1,0120   1,0120   1,0120   1,0120   1,0120   1,0120   1,0120   1,0120   1,0120   1,0120   1,0120   1,0120   1,0120   1,0120   1,0120   1,0120   1,0120   1,0120   1,0120   1,0120   1,0120   1,0120   1,0120   1,0120   1,0120   1,0120   1,0120   1,0120   1,0120   1,0120   1,0120   1,0120   1,0120   1,0120   1,0120   1,0120   1,0120   1,0120   1,0120   1,0120   1,0120   1,0120   1,0120   1,0120   1,0120   1,0120   1,0120   1,0120   1,0120   1,0120   1,0120   1,0120   1,0120   1,0120   1,0120   1,0120   1,0120   1,0120   1,0120   1,0120   1,0120   1,0120   1,0120   1,0120   1,0120   1,0120   1,0120   1,0120   1,0120   1,0120   1,0120   1,0120   1,0120   1,0120   1,0120   1,0120   1,0120   1,0120   1,0120   1,0120   1,0120   1,0120   1,0120   1,0120   1,0120   1,0120   1,0120   1,0120   1,0120   1,0120   1,0120   1,0120			THE STATE					808885555	odkados	i de la dela dela dela dela dela dela del	salanai i		11101
Massa Cont. + Campione secco. §   156.44   Massa Campione secco. §   50.69   Corresione per T. AR		Massa Contenitore, g	105,75	1	fempi, mr	1	2	5	15	30	60	240	1440
Peso Specifico del Passante al #10, kt/lm   26,63   Cerrezione per T", AR   1,0101   1,0091   1,0091   1,0091   1,0091   1,0091   1,0091   1,0091   1,0091   1,0091   1,0091   1,0091   1,0091   1,0091   1,0091   1,0091   1,0091   1,0091   1,0091   1,0091   1,0091   1,0091   1,0091   1,0091   1,0091   1,0091   1,0091   1,0091   1,0091   1,0091   1,0091   1,0091   1,0091   1,0091   1,0091   1,0091   1,0091   1,0091   1,0091   1,0091   1,0091   1,0091   1,0091   1,0091   1,0091   1,0091   1,0091   1,0091   1,0091   1,0091   1,0091   1,0091   1,0091   1,0091   1,0091   1,0091   1,0091   1,0091   1,0091   1,0091   1,0091   1,0091   1,0091   1,0091   1,0091   1,0091   1,0091   1,0091   1,0091   1,0091   1,0091   1,0091   1,0091   1,0091   1,0091   1,0091   1,0091   1,0091   1,0091   1,0091   1,0091   1,0091   1,0091   1,0091   1,0091   1,0091   1,0091   1,0091   1,0091   1,0091   1,0091   1,0091   1,0091   1,0091   1,0091   1,0091   1,0091   1,0091   1,0091   1,0091   1,0091   1,0091   1,0091   1,0091   1,0091   1,0091   1,0091   1,0091   1,0091   1,0091   1,0091   1,0091   1,0092   1,0092   1,0092   1,0092   1,0092   1,0092   1,0092   1,0092   1,0092   1,0092   1,0092   1,0092   1,0092   1,0092   1,0092   1,0092   1,0092   1,0092   1,0092   1,0092   1,0092   1,0092   1,0092   1,0092   1,0092   1,0092   1,0092   1,0092   1,0092   1,0092   1,0092   1,0092   1,0092   1,0092   1,0092   1,0092   1,0092   1,0092   1,0092   1,0092   1,0092   1,0092   1,0092   1,0092   1,0092   1,0092   1,0092   1,0092   1,0092   1,0092   1,0092   1,0092   1,0092   1,0092   1,0092   1,0092   1,0092   1,0092   1,0092   1,0092   1,0092   1,0092   1,0092   1,0092   1,0092   1,0092   1,0092   1,0092   1,0092   1,0092   1,0092   1,0092   1,0092   1,0092   1,0092   1,0092   1,0092   1,0092   1,0092   1,0092   1,0092   1,0092   1,0092   1,0092   1,0092   1,0092   1,0092   1,0092   1,0092   1,0092   1,0092   1,0092   1,0092   1,0092   1,0092   1,0092   1,0092   1,0092   1,0092   1,0092   1,0092   1,0092   1,0092   1,0092   1,0092   1,0092   1,0092	Mass	a Cont. + Campione secco, g	156,44	Lettur	a Densime	etro, R	1.0140	1.0130	1 0120		1 0105		
Peso Specifico del Passante al #10, kn/m² remperatura di prova "r." C' 23 Massa Voltumica Acqua a "r." g/m² (0.997 c) (0.997 c								,,,,,	2,0120	200	2,5100	1,0000	1,000
Profondità Lettura, L. in mm   178,85   177,85   179,85   181,85   182,85   182,85   193,8   193,8   193,8   193,8   193,8   193,8   193,8   193,8   193,8   193,8   193,8   193,8   193,8   193,8   193,8   193,8   193,8   193,8   193,8   193,8   193,8   193,8   193,8   193,8   193,8   193,8   193,8   193,8   193,8   193,8   193,8   193,8   193,8   193,8   193,8   193,8   193,8   193,8   193,8   193,8   193,8   193,8   193,8   193,8   193,8   193,8   193,8   193,8   193,8   193,8   193,8   193,8   193,8   193,8   193,8   193,8   193,8   193,8   193,8   193,8   193,8   193,8   193,8   193,8   193,8   193,8   193,8   193,8   193,8   193,8   193,8   193,8   193,8   193,8   193,8   193,8   193,8   193,8   193,8   193,8   193,8   193,8   193,8   193,8   193,8   193,8   193,8   193,8   193,8   193,8   193,8   193,8   193,8   193,8   193,8   193,8   193,8   193,8   193,8   193,8   193,8   193,8   193,8   193,8   193,8   193,8   193,8   193,8   193,8   193,8   193,8   193,8   193,8   193,8   193,8   193,8   193,8   193,8   193,8   193,8   193,8   193,8   193,8   193,8   193,8   193,8   193,8   193,8   193,8   193,8   193,8   193,8   193,8   193,8   193,8   193,8   193,8   193,8   193,8   193,8   193,8   193,8   193,8   193,8   193,8   193,8   193,8   193,8   193,8   193,8   193,8   193,8   193,8   193,8   193,8   193,8   193,8   193,8   193,8   193,8   193,8   193,8   193,8   193,8   193,8   193,8   193,8   193,8   193,8   193,8   193,8   193,8   193,8   193,8   193,8   193,8   193,8   193,8   193,8   193,8   193,8   193,8   193,8   193,8   193,8   193,8   193,8   193,8   193,8   193,8   193,8   193,8   193,8   193,8   193,8   193,8   193,8   193,8   193,8   193,8   193,8   193,8   193,8   193,8   193,8   193,8   193,8   193,8   193,8   193,8   193,8   193,8   193,8   193,8   193,8   193,8   193,8   193,8   193,8   193,8   193,8   193,8   193,8   193,8   193,8   193,8   193,8   193,8   193,8   193,8   193,8   193,8   193,8   193,8   193,8   193,8   193,8   193,8   193,8   193,8   193,8   193,8   193,8   193,8   193,8	Peso Specific						1,0101	1,0091	1.0081		1 0066	1.0046	1.001
Massa Volumica Acqua a T*, g/ml   0,9976   0 equivalente dei grani, mm   0,0313   0,0199   0,0116   0,0082   0,0029   0,001   0,0029   0,001   0,0015   0,0029   0,001   0,0015   0,0029   0,001   0,0015   0,0029   0,001   0,0015   0,0029   0,001   0,0015   0,0029   0,001   0,0015   0,0029   0,001   0,0015   0,0029   0,001   0,0015   0,0029   0,001   0,0015   0,0029   0,001   0,0029   0,0015   0,0029   0,001   0,0029   0,0015   0,0029   0,001   0,0015   0,0029   0,0015   0,0029   0,0015   0,0029   0,0015   0,0029   0,0015   0,0029   0,0015   0,0029   0,0015   0,0029   0,0015   0,0029   0,0015   0,0029   0,0015   0,0029   0,0015   0,0029   0,0015   0,0029   0,0015   0,0029   0,0015   0,0029   0,0015   0,0029   0,0015   0,0029   0,0015   0,0029   0,0015   0,0029   0,0015   0,0029   0,0015   0,0029   0,0015   0,0029   0,0015   0,0029   0,0015   0,0029   0,0015   0,0029   0,0015   0,0029   0,0015   0,0029   0,0015   0,0029   0,0015   0,0029   0,0015   0,0029   0,0015   0,0029   0,0015   0,0029   0,0015   0,0029   0,0015   0,0029   0,0015   0,0029   0,0015   0,0029   0,0015   0,0029   0,0015   0,0029   0,0015   0,0029   0,0015   0,0029   0,0015   0,0029   0,0015   0,0029   0,0015   0,0029   0,0015   0,0029   0,0015   0,0029   0,0015   0,0029   0,0015   0,0029   0,0015   0,0029   0,0015   0,0029   0,0015   0,0029   0,0015   0,0029   0,0015   0,0029   0,0015   0,0029   0,0015   0,0029   0,0015   0,0029   0,0015   0,0029   0,0015   0,0029   0,0015   0,0029   0,0015   0,0029   0,0015   0,0029   0,0015   0,0029   0,0029   0,0015   0,0029   0,0015   0,0029   0,0029   0,0029   0,0029   0,0029   0,0029   0,0029   0,0029   0,0029   0,0029   0,0029   0,0029   0,0029   0,0029   0,0029   0,0029   0,0029   0,0029   0,0029   0,0029   0,0029   0,0029   0,0029   0,0029   0,0029   0,0029   0,0029   0,0029   0,0029   0,0029   0,0029   0,0029   0,0029   0,0029   0,0029   0,0029   0,0029   0,0029   0,0029   0,0029   0,0029   0,0029   0,0029   0,0029   0,0029   0,0029   0,0029   0,0029   0,0029   0,0029   0,0029   0,0029   0,0029   0,00			-	{ I									_
NALISI MECCANICA   Samuel				ŧ1									
ANALISI MECCANICA				Coqui			-						
VAGLI ASTM   Aperture in mm   0,850   0,425   0,175   0,075   -			, 0,0091	<b></b>				30,5	27,9	25,2	23,9	18,6	9,3
Aperturs in mm  O,850 O,425 O,175 O,075  Ritenuto, g Passante, g 46,80 43,67 38,99 3,13 4,68 4,68 34,31 Riscontro, g 0,00   BESTTI  GHIALE/PIETRIBCO % 22,9 SABBIA % 24,9 SILT o LIMI % 39,5 ARGILLE E COLLOIDI % 12  OCOUNTY CHOOSE Media Fine 0,0 15,6 7,3 10,7 14,2 DEROMINAZIONE  ELABORAZIONE GRAFICA - Carva Granulometrics  GHIALE o  SILT o LIMI SABBIA GHIALA o PIETRISCO  60,3 100 90 90 90 90 90 90 90 90 90 90 90 90 9								Sedeleti	2009000	E DANS			1000
Ritenuto, g Passante, g 46,80 43,67 38,99 34,31 - 71,2 66,4 59,3 52,2 =    Crossa Media Fine			1 1				# 200	PAN	F	attore riduz	done		
Passante		Apertura in mm	] ]	0,850	0,425	0,175	0,075	=	m	assa camp	ione, FR	0,771	
## Passante   T1,2   66,4   59,3   52,2   =		Ritenuto, g	1 I	3,89 3,13 4,68			4,68	34,31			18		
## Passante		Passante, g	1 1	46.80	43.67	38.99	34.31	20		Riscor	tro a I	0.00	
ESITI GHIAIE/PIETRISCO % 22,9 SABBIA % 24,9 SILT o LIMI % 39,5 ARGILLE E COLLOIDI % 12  Grossa Media Fine O,0 15,6 7,3 10,7 14,2 DENOMINAZIONE: LIMO SABBIOSO GHIAIOSO DEBOLMENTI ARGILLOSO  ELABORAZIONE GRAFICA - Curva Granulometrica  GILLE c. SILT o LIMI SABBIA GHIAIA o PIETRISCO  60,0 100  90  40  40  40  40  40  40  40  40		9/ Passanta	1 1							145001	luo, E	0,00	
Crossa   Media   Fine   Crossa   Fine   Denominazione:   Limo sabeioso ghialoso debolmenti   Archidos   Denominazione:   Limo sabeioso ghialoso debolmenti   Denominazione:   Denom		70 FREMILE	] [	71,2	66,4	59,3	52,2	5					
O,0	ESITI	GHIAIE/PIETRISCO %		22,9 84	BBIA %	24,9	SILT o LI	MI %	39,5	ARGILLE	E COLLOI	DI %	12,
ELABORAZIONE GRAFICA - Curva Granulometrica  SILT o LIM  SABBIA  GHIAIA o PIETRISCO  60.0  70  70  60  40  40  40  40  40  40  40  40  4		Grossa Media	Fine		Grossa	Fine							
GILLE e OLIDIDI 0,002 SILT o LIMI SABBIA GHIAIA o PIETRISCO 100 90 90 80 80 70 70 70 70 60 90 90 90 90 90 90 90 90 90 90 90 90 90		0,0 15,6	7,3		10,7	14,2		DENOMINA2	ZIONE:	LIMO SABBI	ioso ghiai Argill	OSO DEBOI	MENTE
OLIOIDI 0,002  OLIOIDI 0,003  OLIOID			- 17 T T T T T T	TAROPATIO	NE GRAFI			elen VIII				Correr	GOGGE
0,002 0,006 2,00 90 80 80 70 70 60 80 80 70 70 60 80 80 80 80 80 80 80 80 80 80 80 80 80	RGILLE e		E	LABURALIU		CA - Curva C	manuome	LIUM					
90 80 70 60 60 50 40 40 40 40 10 10 10 10 10 10 10 10 10 10 10 10 10	OT LOUB .	SILT o LIMI	В	LABORAZIO	SAB	Lake Calle	ranuomei	a ica	GHIAIA	a PIETRISC	0	eecceage.	
80 70 60 50 40 40 30 20 10 0,001 0,100 0,100 1,000 Aperture Vagli, mm 100,000	OLLOIDI 0,002	SILT o LIMI			SAB	Lake Calle			GHIAIA	o PIETRISC	0	60,0	00
80 70 60 50 40 40 30 20 10 0,001 0,100 0,100 1,000 Aperture Vagli, mm 100,000	OLLOIDI 0,002	SILT o LIMI			SAB	Lake Calle			GHIAIA	o PIETRISC	o <	60.0 1	00
70 60 50 40 40 40 10 0,001 0,000 0,000 0,000 10,000 Aperture Vagli, mm 100,000	OLLOIDI 0,002	SILT o LIMI			SAB	Lake Calle			GHIAIA	o PIETRISC	o <		
0,001 0,010 0,100 10,000 Aperture Vagii, mm 100,000	OLLOIDI 0,002	SILT o LIMI			SAB	Lake Calle			GHIAIA	o PIETRISC	0	9	0
0,001 0,010 0,100 10,000 Aperture Vagii, mm 100,000	OLLOIDI 0,002	SILT o LIMI			SAB	Lake Calle			GHIAIA	o PIETRISC	0	9	0
50 40 40 30 20 10 0,001 0,000 0,000 10,000 Aperture Vagli, mm 100,000	OLLOIDI 0,002	SILT o LIMI			SAE	Lake Calle			GHIAIA	o PIETRISC	0 <	9	o o
0,001 0,010 0,100 10,000 Aperture Vagii, mm 100,000	OLLOIDI 0,002	SILT o LIMI			SAE	Lake Calle			GHIAIA	o PIETRISC	0	9 8 7	o o o
0,001 0,010 0,100 10,000 Aperture Vagli, mm 100,000	OLLOIDI 0,002	SILT o LIMI			SAF	Lake Calle			GHIAIA	o PIETRISC	0 ***	9 8 7	o o o
0,001 0,010 0,100 10,000 Aperture Vagli, mm 100,000	OLLOIDI 0,002	SILT o LIMI			SAF	Lake Calle			GHIAIA	o PIETRISC	0 ×	9 8 7 6	o o o
0,001 0,010 0,100 10,000 Aperture Vagli, mm 100,000	OLLOIDI 0,002	SILT o LIMI			SAF	Lake Calle			GHIAIA	o PIETRISC	0 ×	9 8 7 6 5	0 0 0 0
0,001 0,010 0,100 10,000 Aperture Vagii, mm 100,000	% osed Li	SILT o LIMI			SAF	Lake Calle			GHIAIA	o PIETRISC	o × × -	9 8 7 6 5	0 0 0 0
0,001 0,010 0,100 10,000 Aperture Vagii, mm 100,000	OT LOUD.	SILT o LIMI			SAF	Lake Calle			GHIAIA	o PIETRISC	0 × ×	9 8 7 6 5 4	0 0 0 0 0
0,001 0,010 0,100 10,000 Aperture Vagii, mm 100,000	% osed Li	SILT o LIMI			SAE	Lake Calle			GHIAIA	o PIETRISC	0	9 8 7 6 5 5 4 4 3	0 0 0 0 0 0
0,011 0,000 10,000 10,000 Aperture Vagit, mm 100,000	% osed Li	SILT o LIMI			SAF	Lake Calle			GHIAIA	o PIETRISC	0	9 8 7 6 5 5 4 4 3	0 0 0 0 0 0
0,011 0,000 10,000 10,000 Aperture Vagit, mm 100,000	% osed Li	SILT o LIMI			SAF	Lake Calle			GHIAIA	o PIETRISC	o × - ×-	9 8 7 6 5 4 3 3 2	0 0 0 0 0 0 0 0 0 0 0 0 0 0 0 0 0 0 0 0
	% osed Li	SILT o LIMI			SAF	Lake Calle			GHIAIA	o PIETRISC	0 × ×	9 8 7 6 5 4 3 2	0 0 0 0 0 0 0 0 0 0 0 0 0 0 0 0 0 0 0 0
Il Direttore del Laboratorio:	% osed Li			06	×	BBIA	2.0		**************************************		X	9 8 7 6 5 4 3 2	0 0 0 0 0 0 0
Il Direttore del Laboratorio:	OLLOIDI 0,002			06	×	BBIA	2.0		**************************************		X	9 8 7 6 5 4 3 2	0 0 0 0 0 0 0 0 0 0 0 0 0 0 0 0 0 0 0 0
	DLIOIDI 0,002			0,100	×	BBIA	2.0		**************************************		X	9 8 7 6 5 4 3 2	0 0 0 0 0 0 0 0 0 0 0 0 0 0 0 0 0 0 0 0





#### PROVA di TAGLIO DIRETTO (ASTM D 3080)

ACCETTAZIONE nº 216

del 01-glu-20

CERTIFICATI N. 417

del 24-giu-20

pag. 1/2

									Mod. G.T-	7.5.1.2.b C
				DAT	I GENERAI	1	7			
Committente: Amministrazio	ne Pr	ovinciale		Progetto:	S.P. n° 1	" Ciaro	lelli" Ricostruzione	muro d	i contenimento	
Richiedente: Dott.ssa Geol.	Irene	Savino		Località:						
				DATI D	EL CAMPI	ONE				
	2C1	Indisturbato		Prelievo d	el:	01-giu-2	20		Profondità, m:	1,50-2,00
Data ricevimento campione:		01-giu-20		Data aper	tura campi	one:	05-giu-20		Data inizio prova:	09-giu-20
TIPO DI PROVA:	ænta:	SI	Consolidata: SI		ATTREZZA	TURA:	Controls - Cella Din	amometri	ca REP TCE 350 Matr.	N° 1223
								Fatte	ore di conversione:	1
DATI DI	EL CA	MPIONE IN PR	OVA		le se se se		SC	ATOLA DI	TAGLIO	
Peso Specifico dei Grani (Gt*)			kN/m³	26,63	1000	Lato Fus	stella, cm	6,02	Altezza Fustella,cm	3,05
Contenuto Naturale in Acqua (n	nedia)		96	23,43%		Velociti	di taglio, mm/mn	0,007	Sezione Fustella cm²	36.24

DETERMINAZIONI							bijestiji in i	Kritise.			10000000
PROVINO	n	1		NAME OF TAXABLE PARTY.	2		2000000000000	Alabara de la constitución de la	3	1	1.111.4.2.2.2
Fustella Portacampione	п	G			н				1		
Massa Fustella	g	165,92			101,35				102,78		
Massa Fustella + Campione	g	376,60			312,55				314,55		
Massa Campione	g	210,68			211,20				211,77		
		PRIMA	DOPO	Δ	PRIMA	DOPO	Δ		PRIMA	DOPO	Δ
Peso di Volume Naturale	kN/m³	19,06	19,44	0,38	19,11	19,62	0,51		19,16	19,82	0,66
Peso di Volume Secco	kN/m³	15,44	15,75	0,31	15,48	15,90	0,42		15,52	16,06	0,54
Indice dei Vuoti		0,724	0,690	-0,03	0,720	0,675	-0,05		0,715	0,658	-0,06
Altezza Solidi	cm	2,178			2,184				2,190		

PROVINO n. 1									SFORZ	O NORMA	LE, kN/m <sup>2</sup> :	50,0
Cedimenti, cm 0,060					Altezza	Finale, cm	2,990			Consolie	dazione, %	2,01
Tempi, mn	30	60	90	120	150	180	210	240	270	300	330	360
Spostamenti Cella, mm	0,2	0,4	0,6	0,8	1,1	1.3	1.5		11			
Lettura cella dinamometrica	12	55	78	95	98	96	92					
Trasduttore Vert., mm	0,60	0,60	0,60	0,60	0,60	0,59	0,59					
SFORZI di TAGLIO, kN/m²	3,3	15,0	21,2	25,9	26,7	26,2	25,1				- t	

PROVINO n. 2							GUESTICE !		SFORZ	O NORMA	LE, kN/m <sup>2</sup> :	100,0
Cedimenti, cm 0,080					Altezza	Finale, cm	2,970			Consoli	dazione, %	2,69
Tempi, mn	30	60	90	120	150	180	210	240	270	300	330	360
Spostamenti Cella, mm	0,2	0,4	0,6	0,8	1,1	1,3	1,5	1,7	1,9			
Lettura cella dinamometrica	21	78	122	149	158	164	165	163	159			
Trasduttore Vert., mm	0,80	0,80	0,80	0,80	0,80	0,80	0.80	0.79	0.79			
SFORZI di TAGLIO, kN/m²	5,7	21,2	33,2	40,6	43,0	44,7	44,9	44,4	43,3			

PROVINO n. 3			er e						SFORZ	O NORMAI	LE, kN/m <sup>2</sup> :	200,0
Cedimenti, cm 0,102					Altezza	Finale, cm	2,948			Consolio	lazione, %	3,46
Tempi, mn	30	60	90	120	150	180	210	240	270	300	330	360
Spostamenti Cella, mm	0,2	0,4	0,6	0,8	1,1	1,3	1,5	1,7	1,9	2,1		
Lettura cella dinamometrica	30	108	168	218	258	285	296	299	297	295		
Trasduttore Vert., mm	1,02	1,02	1,02	1,02	1,02	1,02	1,02	1,02	1,01	1,01		
SFORZI di TAGLIO, kN/m²	8,2	29,4	45,8	59,4	70,3	77,6	80,6	81,4	80,9	80,4		

#### RIEPILOGO

	SFORZI	l, kN/m²
Provini	Normali	di Taglio
3	200,0	81,4
2	100,0	44,9
1	50,0	26,7

OSSERVAZIONI: Le prove sono state effettuate sulla parte fine ricostruita

Il Direttore del Laboratorio:

Dott. Geol. Umberto Lonardo

Lo Sperimentatore:

Dott.ssa Geol. Michela Di Franza





#### PROVA di TAGLIO DIRETTO (ASTM D 3080)

ACCETTAZIONE nº 216

del 01-giu-20

**CERTIFICATI N. 417** 

del 24-giu-20

pag. 2/2

Mod. G.T- 7.5, 1.2.b C DATI GENERALI Committente: Amministrazione Provinciale Progetto: S.P. nº 1 " Ciardelli" Ricostruzione muro di contenimento Richiedente: Dott.ssa Geol. Irene Savino Località: Perrillo \_ Arpaise (BN) DATI DEL CAMPIONE Identificativo campione: 82C1 Indisturbato 01-giu-20 Profondità, m: 1,50-2,00 Data ricevimento campione 01-giu-20 Data apertura campione: 05-giu-20 Data inizio prova: 09-giu-20 ELABORAZIONE GRAFICA Diagramma Sforzi di Taglio - Deformazioni 120,0 Sforzi di Taglio, kN/m2 100,0 80,0 60,0 40,0 20,0 0,0 0,5 1,0 2,5 3,0 3.5 4.0 Deformazioni, mm Diagramma Sforzi Normali - Sforzi di Taglio 250,0 Sforzi di Taglio, kN/m2 200,0 150,0 100,0 50,0 0,0 50,0 100,0 200,0 250.0

Sforzi Normali, kN/m2





# PROVA di COMPRESSIONE EDOMETRICA e PROVA di PERMEABILITA'

(ASTM D 2435 - Bowles, Exp.12-1978)

ACCETTAZIONE n° 216

del 1-giu-20

CERTIFICATI N. 418

del 24-giu-20

1-1-1-1-1-1	-121-121-121-1	2000000000	******	909000	HOROTOR INTO	07070134,6104		<b></b>		ee oo oo					1	lod. G.T- 7	.5.1.2.a.p C
Commi	ttente:	Amminis	trazione	Provincia	ale		-010		GENERA		lli" Ricost						
Richiec				ene Savin					Perrillo			ruzione i	nuro di c	ontenime	nto		
									EL CAMP								Esteration
		impione:			disturba	ato		Prelievo		01-giu-2						ndità, m:	1,50-2,00
Data II	Cevimen	to campion		01-giu-2	and the second			Data apo	rtura car	npione:	05-gi				Data iniz	io prova:	05-giu-20
			elebeled date	CAMPION	E IN PRO			Į				ATTREZ	ZATURA				
	_	ecifico dei				kN/m³	26,63		Marca:		RMU						
	Content	uto Natura	ale in Ac	qua		%	23,43		Trasdut	tore di sp	ostament	0	CH 07				
									RMINAZIO	INC	lapta in		920000	EE 100	THE DESIGNATION OF THE PERSON	Maria Base	8440000000
	Anello Portaprovino n. I														CE	LLA	
	Øintern	o Anello, o	m	5,06	Altezza	Anello, cr	n	2,00	Massa Ar	ello+Cam	pione, a	110,22				GATA	
	Massa A	Anello, g		33,86	Area Ba	se Anello	, cm²	20,11	-	ampione		76,36					
						PRIMA	DOPO	Δ	1		CONT	ENUTO i	ACQUA	DOPO P	ROVA		
	Peso Vo	lume Nati	ırale, kA	$I/m^3$		18,99	25,05	6,06		Contenit				p	XXXXXX	******	
		lume Seco	o, kN/n	13		15,38	20,34	4,95		Massa C	ontenitor	e, <i>g</i>		17,87		******	
	Salar	lei Vuoti				0,731	0,309	-0,422	1		ont+Terra			94,15		%	
	Altezza	Solidi, cm				1,155				Massa C	ont+Terra	Secca,	7	79,80	23	,17	
Merce	HOLEN	nining in		0100000	-151-0-076	50000000	eleteration (	DATI	iella PRO	VA	00000000	E30001111	0000000	2000000	A PER PER	*****	
	Tempi	15"	30"	1'	2'	41	OI.	1.000000.00			12221205555	22/0/0/2/11/1	miccorn.		10,600,000,000	1533.555	
11	тешрі	0,25	0,50	1,00	2,00	4,00	8,00	15' 15,00	30,00	1 h 60,00	2 h	4 h	8 h 480.00	12 h 720,00	24 h	2H^	
- 21	kPa			3	_,			1 Compar				240,00	400.00	720,00	1440,00	cm	
	25	10	11	12	13		16	18	_	23	24	25	26	28	30	1,9700	
	50	38	39	41	43	45	49	53	_	61	63	65	66	67	68	1,9320	
	100	83	84	86	89	93	99	105	_	118	122	125	127	128	130	1,8700	
	200	150	152	156	162	169	181	195	212	223	229	234	236	238	240	1,7600	
	400	248	250	254	260	272	286	299	312	324	327	329	330	331	332	1,6680	
	800	336	338	342	352	364	376	382	389	392	394	396	399	402	405	1,5952	
	1600	421	422	426	433	447	459	464	470	474	479	481	482	483	484	1,5161	
	400	482	481	480	479	478	477	476	475	474	473	472	471	470	469	1,5310	
	100	462	460	458	456	454	453	451	450	448	446	444	443	442	440	1,5600	
	25	428	427	426	425	423	422	421	420	419	417	416	415	413	410	1,5900	
	0	Pressioni					kPa	0	25	50	100	200	400	800	1600		
	CARICO	Altezza C		•		2H^	cm	2,000	1,970	1,932	1,870	1,760	1,668	1,595	1,516		
	₹ C	Altezza V Indice Vu					cm	0,845		0,777	0,715	0,605	0,513	0,440	0,361		
	Ĭ	Indice vi		poihilità		e Cc		0,731	0,705	0,672	0,618	0,523	0,444	0,381	0,312		
	FASE DI	Modulo I				Ed	1 200 2			0,109	0,178	0,316	0,265	0,209	0,228		
	4	Consolida		100		- Eu	kN/m²		1.500	1296	1558	1700	3825	9171	16121		
- '		Consonat	ZZIOTIC				70		1,523	3,520	6,952	13,636	19,906	25,375	31,921		
				Pressioni	Applica	te			kPa			400	100	25			
			ICO ICO	Altezza C	ampione			2H^	cm			1,531	1,560	1,590			
			FASE	Altezza V					cm			0,376	0,405	0,435			
			SS	Indice Vu				e				0,325	0,350	0,376			
		l		Indice di	кідоппа	mento		Cs				0,021	0,042	0,043			
			Marie M.	J. J	1,1,1,1,1,1,1	*********	PI	ROVA di I	PERMEA	BILITA'		erenn	13780.00			F. F. F. F. F. C.	
		Sezione E	luretta				cm <sup>2</sup>	-			0,4	4	11111111				
		Altezza A		zio Provo				Service and appropri	l' 1		0,4	4					
		Altezza Ac					cm.							2-2-2			
							cm										
		Intervallo Coefficien	-	Control of Control of Control			s										
	9	Cocincien	ite di Fe	meabing	_		cm/s										
							Caric	hi kPa	25	50	100	200	400	800	1600		
W. 4							10	0 - 1	RN						1000		
Note:			-				19	31	A	\							
	]	I Direttore	del Lat	oratorio.			18/	90 97	150	3/		1/1	0.00	0			
			1				ARRE	5	Jan 2 .	P			Jo Sp	erimenta	(le:	-	
		1000	7			24	5 21 30	in his	0	0.	(	XVI	ndo	(N)-)	7011	6	
	Dott. Geol. Umberto Lonardo							OF THE PARTY	/-	3/	3	Dott	ssa Geo	l. Michel	a Di Fra	nza	





# PROVA di COMPRESSIONE EDOMETRICA e PROVA di PERMEABILITA'

(ASTM D 2435 - Bowles, Exp. 12-1978)

ACCETTAZIONE n° 216

del 1-giu-20

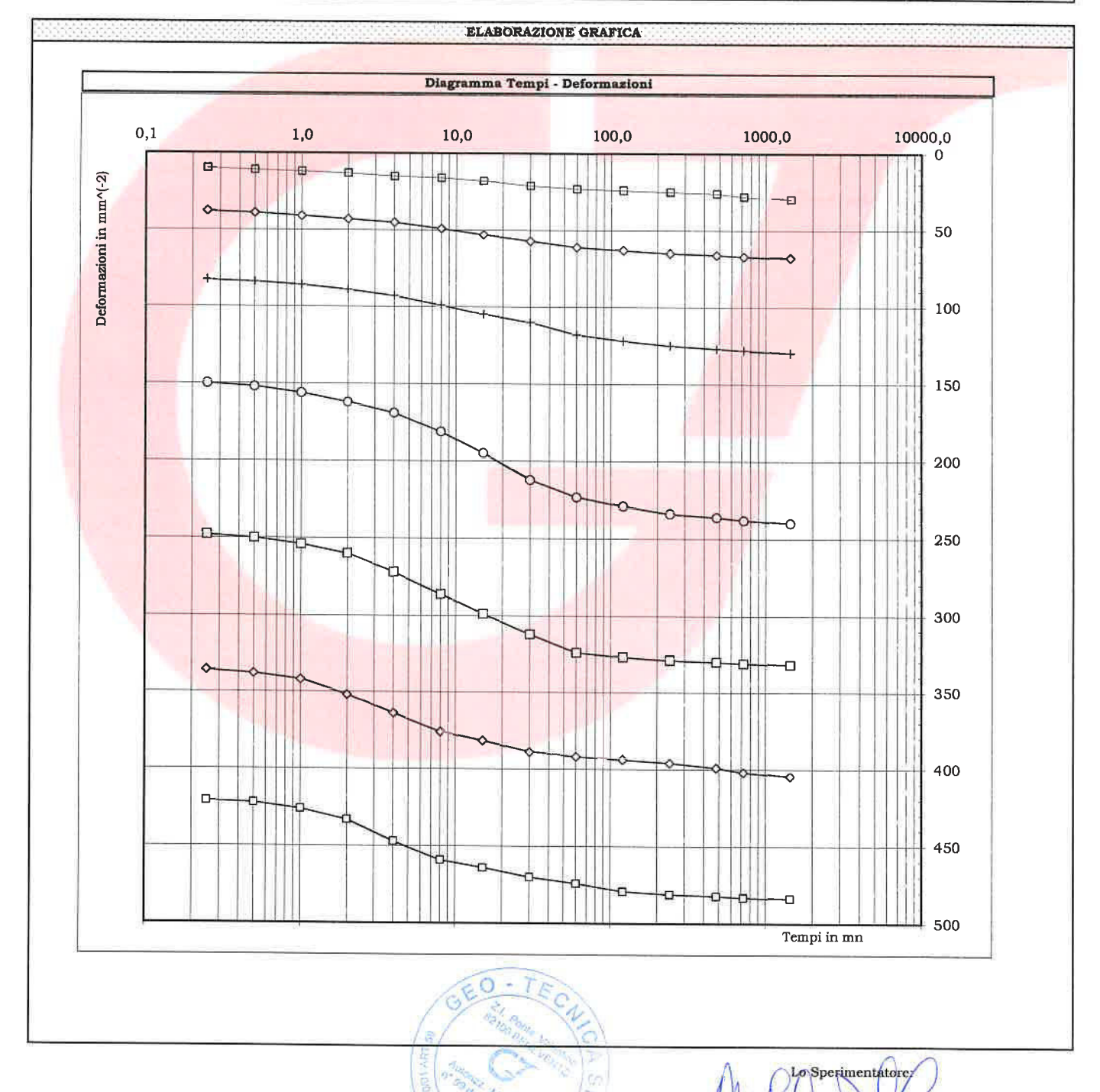
CERTIFICATI N. 418

del 24-giu-20

pag. 2/3

Mod. G.T- 7.5.1.2.a.p C

	DATI GENERALI	olean S
Committente: Amministrazione Provinciale	Progetto: S.P. n° 1 " Ciardelli" Ricostruzione muro di contenimento	
Richiedente: Dott.ssa Geol. Irene Savino	Località: Perrillo _ Arpaise (BN)	
	DATI DEL CAMPIONE	
Identificativo campione: 82C1 Indisturbato	Prelievo del: 01-giu-20 Profondità, m; 1,50-	-2,00
Data ricevimento campione: 01-giu-20	Data apertura campione: 05-giu-20 Data inizio prova: 05-gi	iu-20







# PROVA di COMPRESSIONE EDOMETRICA e PROVA di PERMEABILITA'

(ASTM D 2435 - Bowles, Exp.12-1978)

ACCETTAZIONE nº 216

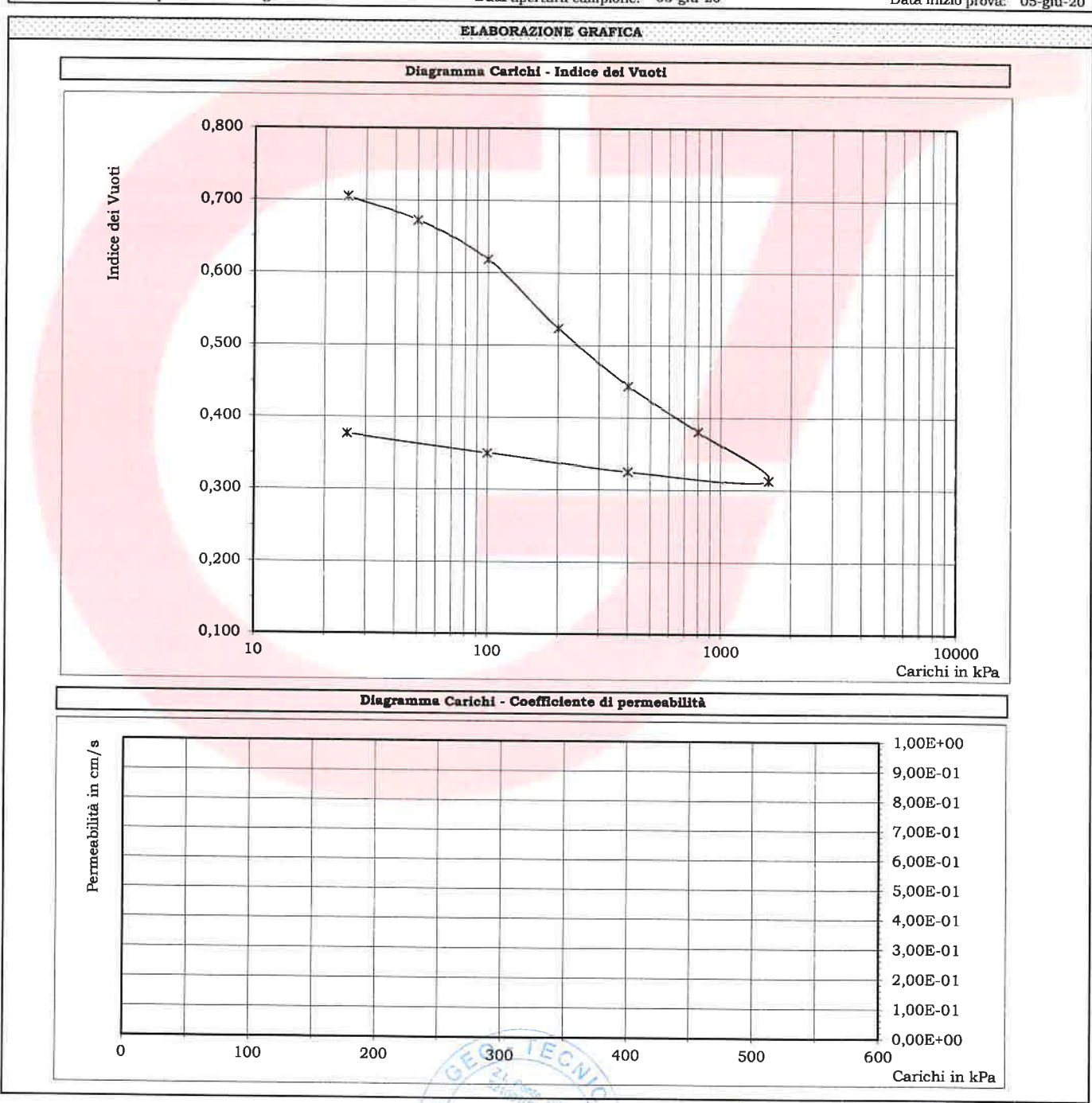
del 1-giu-20

CERTIFICATI N. 418

del 24-giu-20

pag. 3/3

	Mod. G.T- 7.5.1.2.a.  DATI GENERALI
Committente: Amministrazione Provinciale	Progetto: S.P. n° 1 " Ciardelli" Ricostruzione muro di contenimento
Richiedente: Dott.ssa Geol. Irene Savino	Località: Perrillo _ Arpaise (BN)
	DATI DEL CAMPIONE
Identificativo campione: 82C1 Indistu	Prelievo del: 01-giu-20 Profondità. m: 1.50-2
Data ricevimento campione: 01-giu-20	Data apertura campione: 05-giu-20 Data inizio prova: 05-giu



Lo Sperimentatore:

Dott.ssa Geol. Michela Di Franza

#### PROVA PENETROMETRICA DINAMICA

Committente: Provincia di Benevento

Cantiere: S.P. N. 1 "CIARDELLI" RICOSTRUZIONE MURO DI CONTENIMENTO.

Località: Perillo - Comune di Arpaise

#### Caratteristiche Tecniche-Strumentali Sonda: PROVE SPT IN FORO

Rif. Norme	DIN 4094
Peso Massa battente	63.5 Kg
Altezza di caduta libera	0.76 m
Peso sistema di battuta	4.2 Kg
Diametro punta conica	50.46 mm
Area di base punta	20 cm <sup>2</sup>
Lunghezza delle aste	1 m
Peso aste a metro	7 Kg/m
Profondità giunzione prima asta	0.80 m
Avanzamento punta	0.30 m
Numero colpi per punta	N(30)
Coeff. Correlazione	1
Rivestimento/fanghi	No

OPERATORE RESPONSABILE GEO-TECNICA Geol. Irene Savino

#### PROVA ...S1

Strumento utilizzato...
Prova eseguita in data

PROVE SPT IN FORO 30/07/2020

Falda rilevata

Tipo elaborazione Nr. Colpi: Medio

Profondità (m)	Nr. Colpi
2.65	7
2.80	10
2.95	14
5.65	15
5.80	
5.95	28

#### STIMA PARAMETRI GEOTECNICI PROVA S1

# TERRENI COESIVI

#### Coesione non drenata

Descrizione	Nspt	Prof. Strato	Correlazione	Cu	
		(m)		(Kg/cm <sup>2</sup> )	
[1] - Strato	24	2.95	Shioi - Fukui (1982)	0.60	
[2] - Strato	51	5.95	Shioi - Fukui (1982)	1.28	

Qc ( Resistenza punta Penetrometro Statico)

Descrizione	Nspt	Prof. Strato	Correlazione	Qc
		(m)		(Kg/cm <sup>2</sup> )
[1] - Strato	24	2.95	Robertson (1983)	48.00
[2] - Strato	51	5.95	Robertson (1983)	102.00

#### **Modulo Edometrico**

Descrizione	Nspt	Prof. Strato	Correlazione	Eed
		(m)		(Kg/cm <sup>2</sup> )
[1] - Strato	24	2.95	Stroud e Butler (1975)	110.11
[2] - Strato	51	5.95	Stroud e Butler (1975)	233.99

Modulo di Young

Descrizione	Nspt	Prof. Strato	Correlazione	Ey
		(m)		(Kg/cm <sup>2</sup> )
[1] - Strato	24	2.95	Apollonia	240.00
[2] - Strato	51	5.95	Apollonia	510.00

#### Classificazione AGI

Classificazione AGI					
Descrizione	Nspt	Prof. Strato	Correlazione	Classificazione	
		(m)			
[1] - Strato	24	2.95	Classificaz. A.G.I. (1977)	MOLTO	
				CONSISTENTE	
[2] - Strato	51	5.95	Classificaz. A.G.I. (1977)	ESTREM.	
				CONSISTENTE	

#### Peso unità di volume

too annea an continue				
Descrizione	Nspt	Prof. Strato	Correlazione	Peso unità di volume
		(m)		$(t/m^3)$
[1] - Strato	24	2.95	Meyerhof ed altri	2.11
[2] - Strato	51	5.95	Meyerhof ed altri	2.50

#### Peso unità di volume saturo

Descrizione	Nspt	Prof. Strato	Correlazione	Peso unità di volume
	_	(m)		saturo

				$(t/m^3)$
[1] - Strato	24	2.95	Meyerhof ed altri	2.20
[2] - Strato	51	5.95	Meyerhof ed altri	2.50

# STIMA PARAMETRI GEOTECNICI PROVA S2

# TERRENI COESIVI

#### Coesione non drenata

Descrizione	Nspt	Prof. Strato	Correlazione	Cu
	_	(m)		(Kg/cm <sup>2</sup> )
[1] - Strato	11	2.45	Shioi - Fukui 1982	0.55
[2] - Strato	79	4.45	Shioi - Fukui 1982	3.95
[3] - Strato	72	17.95	Shioi - Fukui 1982	3.60

Qc ( Resistenza punta Penetrometro Statico)

Descrizione	Nspt	Prof. Strato	Correlazione	Qc
		(m)		(Kg/cm <sup>2</sup> )
[1] - Strato	11	2.45	Robertson (1983)	22.00
[2] - Strato	79	4.45	Robertson (1983)	158.00
[3] - Strato	72	17.95	Robertson (1983)	144.00

#### **Modulo Edometrico**

Descrizione	Nspt	Prof. Strato	Correlazione	Eed
		(m)		(Kg/cm <sup>2</sup> )
[1] - Strato	11	2.45	Stroud e Butler (1975)	50.47
[2] - Strato	79	4.45	Stroud e Butler (1975)	362.45
[3] - Strato	72	17.95	Stroud e Butler (1975)	330.34

Modulo di Young

Descrizione	Nspt	Prof. Strato	Correlazione	Ey
		(m)		(Kg/cm <sup>2</sup> )
[1] - Strato	11	2.45	Apollonia	110.00
[2] - Strato	79	4.45	Apollonia	790.00
[3] - Strato	72	17.95	Apollonia	720.00

#### Classificazione AGI

CIMBBILITE TELEVISION CONTROL				
Descrizione	Nspt	Prof. Strato	Correlazione	Classificazione
		(m)		
[1] - Strato	11	2.45	Classificaz. A.G.I. (1977)	CONSISTENTE
[2] - Strato	79	4.45	Classificaz. A.G.I. (1977)	ESTREM.
				CONSISTENTE
[3] - Strato	72	17.95	Classificaz. A.G.I. (1977)	ESTREM.
				CONSISTENTE

#### Peso unità di volume

Descrizione	Nspt	Prof. Strato	Correlazione	Peso unità di volume
		(m)		$(t/m^3)$
[1] - Strato	11	2.45	Meyerhof ed altri	1.99
[2] - Strato	79	4.45	Meyerhof ed altri	2.50
[3] - Strato	72	17.95	Meyerhof ed altri	2.50

#### Peso unità di volume saturo

1 cso unita di volune saturo						
Descrizione	Nspt	Prof. Strato	Correlazione	Peso unità di volume		
		(m)		saturo		
				$(t/m^3)$		
[1] - Strato	11	2.45	Meyerhof ed altri			
[2] - Strato	79	4.45	Meyerhof ed altri	2.50		
[3] - Strato	72	17.95	Meyerhof ed altri	2.50		